



การศึกษาการถ่ายเทความร้อนผ่านกระเบื้องหลังคาตอนรีต
ผสมถุงขยะพลาสติกเคลือบօคลูมิเนียม
Study Heat Transfer through Concrete Roof
Tile to mixed Rubbish Plastic Bag glaze with Aluminium

นายชิงชัย	มารักษा	รหัสนิสิต	51363944
นายพิทักษ์	ชากองมา	รหัสนิสิต	51364057
นายอภิวัฒน์	เดชทิศ	รหัสนิสิต	51364170

ห้องสมุดคณะวิศวกรรมฯ ชั้น	๑๐๗
วันที่รับ.....	๑๐.๗.๕๕๕๕
เลขทะเบียน.....	๖๙๙๗๗๐๗
เลขเรียกหนังสือ.....	๘๖๔๑๙
ผู้	๒๕๖๔

ปริญญาอิพนธน์เป็นส่วนหนึ่งของการศึกษาตามหลักสูตรปริญญาวิศวกรรมศาสตรบัณฑิต
สาขาวิศวกรรมเครื่องกล ภาควิชาวิศวกรรมเครื่องกล
คณะวิศวกรรมศาสตร์ มหาวิทยาลัยแม่ฟ้า
ปีการศึกษา 2554



ใบรับรองโครงการวิชากรรม

หัวข้อโครงการ	: การศึกษาการถ่ายเทความร้อนผ่านกระเบื้องหลังคาอนกรีต ผสมถุงขยายพลาสติกเคลือบอุ่นภูมิเนียม		
ผู้ดำเนินโครงการ	: นายชิงชัย มารักษ์	รหัสนิสิต 51363944	
	นายพิทักษ์ ชาอกองมา	รหัสนิสิต 51364057	
	นายอภิวัฒน์ เดษทิศ	รหัสนิสิต 51364170	
อาจารย์ที่ปรึกษา	: ดร.ศลิษา วีรพันธุ์		
อาจารย์ที่ปรึกษาร่วม	: อาจารย์ศิษย์กันธุ์ แคนลา		
ภาควิชา	: วิชากรรมเครื่องกล		
ปีการศึกษา	: 2554		

คณะกรรมการสาขาวิชานักกฎหมาย อนุมัติให้โครงการฉบับนี้เป็นส่วนหนึ่ง
ของการศึกษาตามหลักสูตรวิชากรรมศาสตรบัณฑิต สาขาวิชากรรมเครื่องกล

คณะกรรมการสอบโครงการวิชากรรม

ประธานกรรมการ
(ดร.ศลิษา วีรพันธุ์)

กรรมการ
(ดร.ภาณุ พุทธวงศ์)

กรรมการ
(ดร.อนันต์ชัย ออย่างแก้ว)

หัวข้อโครงการ	การศึกษาการถ่ายเทความร้อนผ่านกระเบื้องหลังคา		
คุณกรีฑาสมถุงขยะพลาสติกเคลือบอลูมิเนียม			
ผู้ดำเนินโครงการ	นายชิงชัย นารักษ์	รหัสนิสิต 51363944	
	นายพิทักษ์ ชา กองมา	รหัสนิสิต 51364057	
	นายอวิวัฒน์ เดชทิศ	รหัสนิสิต 51364170	
อาจารย์ที่ปรึกษาโครงการ	ดร.ศลิษา วีระพันธุ์		
อาจารย์ที่ปรึกษาโครงการร่วม	อาจารย์ศิษฐ์ภัณฑ์ แคนลา		
ภาควิชา	วิศวกรรมเครื่องกล		
ปีการศึกษา	2554		

บทคัดย่อ

งานวิจัยนี้มีจุดประสงค์ในการศึกษาการถ่ายเทความร้อนผ่านกระเบื้องหลังคาคุณกรีฑาสมถุงขยะพลาสติกเคลือบอลูมิเนียม เพื่อนำมาวิเคราะห์การประยัดพลังงานไฟฟ้าในระบบปรับอากาศ

ผลจากการทดลองพบว่า บ้านจำลองซึ่งมุงด้วยกระเบื้องหลังคาซีเมนต์ไนท์ลอนคุณมีอุณหภูมิอากาศในบ้านเฉลี่ยต่ำที่สุด รองลงมาคือบ้านจำลองที่มุงด้วยกระเบื้องหลังคาคุณกรีฑาสมถุงขยะพลาสติกเคลือบอลูมิเนียม 0.3, 0.5, 0 และ 0.7 โดยปริมาตรตามลำดับ สำหรับบ้านจำลองที่มุงด้วยกระเบื้องหลังคาคุณกรีฑาแผ่นลอนถือว่ามีอุณหภูมิสูงแต่น้อยกว่ากระเบื้องหลังคาคุณกรีฑาแผ่นเรียบ ส่วนบ้านจำลองที่มุงด้วยกระเบื้องหลังคาคุณกรีฑาแผ่นเรียบมีอุณหภูมิอากาศภายในบ้านสูงที่สุด

จากการศึกษาการคำนวณพลังงานไฟฟ้าในการปรับอากาศของอาคารสำนักงานสมมติให้มีการมุงหลังคากระเบื้อง โดยการเทียบกับหลังคาที่มุงด้วยหลังคาคุณกรีฑาแผ่นเรียบเป็นเกณฑ์พบว่า หลังคาซีเมนต์ไนท์ลอนคุณมีการประยัดมากที่สุดที่ 3.43% รองลงมาเป็นหลังคาคุณกรีฑาสมถุงขยะเคลือบอลูมิเนียม 0.3, 0.5, 0 และ 0.7 โดยปริมาตรตามลำดับซึ่งสามารถประยัดได้ 1.75%, 1.54%, 1.47% และ 1.12% ตามลำดับและหลังคาคุณกรีฑาแผ่นลอนมีเบอร์เซ็นต์ประยัดต่ำสุดที่ 0.77% นอกจากนี้การมุงหลังคาด้วยกระเบื้องหลังคาเมื่อนำมาคิดต้นทุนของแผ่นกระเบื้องหลังคาพบว่าหากมุงด้วยกระเบื้องหลังคาคุณกรีฑาสมถุงขยะพลาสติกเคลือบอลูมิเนียมในอัตราส่วนสมอลูมิเนียม 0, 0.3, 0.5, 0.7 โดยปริมาตร มีต้นทุนของกระเบื้องหลังคา 40,000 บาท กระเบื้องหลังคาคุณกรีฑาแผ่นลอนและแผ่นเรียบมีต้นทุนกระเบื้องหลังคา 154,000 บาท และกระเบื้องหลังคาซีเมนต์ไนท์ลอนคุณมีต้นทุนกระเบื้องหลังคาเท่ากับ 105,600 บาท

Project Title	: Study Heat Transfer through Cement Roof Tile to mixed Rubbish Plastic Bag glaze with Aluminium.		
Name	Mr.Chingchai Maraksa	Code 51363944	
	Mr.Phitak Chakongma	Code 51364057	
	Mr.Apiwat Dattit	Code 51364172	
Project Advisor	Dr.Salisa Veerapun		
Project Advisor together Mr.Sitphan	Kanla		
Department	Mechanical Engineering		
Academic Year	2011		

Abstract

This paper aims to study about heat transferring through concrete and roof tiles to mixed rubbish plastic bag glaze with aluminum, moreover, we determined to analysis saving about the electric energy and the budget in this air condition process.

The result of this experiment which covered with the asbestos double craved cement roof tiles have the lowest average temperature. Next is the house that made from concrete and roof tiles to mixed rubbish plastic bag glaze with aluminum 0.3, 0.5, 0 and 0.7 respectively. For the concrete craved tile house, it is defined as a high temperature house but less than a flat concrete roof tile house that contained the highest temperature inside.

From study calculation electric of energy consumption of air conditioning in office buildings by comparing to flat concrete roof tile found that the cement double craved roof tiles have the most saving energy which is 3.43%. Secondary, it is the concrete and to mixed rubbish plastic bag glaze with aluminum roof tiles 0.3, 0.5, 0 and 0.7 by capacity. The chronological capacity can save 1.75%, 1.54%, 1.47%, and 1.12% and for the cement double craved roof tiles contained the most sufficient saving energy as 0.77%. The rest to tile with roof tiles about first cost the result shown that if using the concrete and roof tiles in the rate of using rubbish plastic bag glaze with aluminum 0, 0.3, 0.5, 0.7 by capacity, it will be first cost 40,000 Baht. The cement double craved and flat roof tiles first cost 154,000 Baht and the asbestos double craved cement roof tiles first cost 105,600 Baht.

กิตติกรรมประกาศ

ปริญญา尼พนธ์ฉบับนี้สำเร็จล่วงด้วยดี เพราะได้รับความอนุเคราะห์จากดร.ศลิษา วีรพันธุ์ อาจารย์ที่ปรึกษาโครงงานที่กรุณาให้คำปรึกษา และอาจารย์ศิษฐ์ภัณฑ์ แคนลาที่ให้คำปรึกษาซึ่งแนะนำแก้ไขรายงานผู้เขียนรู้สึกในความกรุณาและขอขอบพระคุณอาจารย์เป็นอย่างสูง ณ ที่นี่ด้วย

ขอขอบพระคุณครุช่างภาควิชาวิศวกรรมเครื่องกลทุกท่าน ที่กรุณาอำนวยความสะดวก เอื้อเพื่อในการใช้สถานที่และอุปกรณ์ในการทดลอง ตลอดจนช่วยแนะนำการใช้เครื่องมือทดสอบต่างๆ ในการปฏิบัติโครงงาน

ขอขอบพระคุณบิดา มารดา ที่เคยสนับสนุน ส่งเสริมในเรื่องการศึกษาและเคยเป็นกำลังใจแก่ผู้ดำเนินโครงการอย่างสม่ำเสมอตลอดมา

สุดท้ายขอขอบคุณนายกิตติศักดิ์ วงศ์โก นายธราດล อ่อนนิม และนายพรเม เย็นนที เจ้าของปริญญา尼พนธ์เรื่องศึกษาความเป็นไปได้ในการสร้างกระเบื้องหลังคาคอนกรีตผสมอุบมิเนียมฟอยล์ จากถุงขยายพลาสติก

นายชิงชัย	มารักษा
นายพิทักษ์	ชากองมา
นายอภิวัฒน์	เดชทิศ



สารบัญ

เรื่อง	หน้า
ใบรับรองโครงการ	ก
บทคัดย่อ (ภาษาไทย)	ข
บทคัดย่อ (ภาษาอังกฤษ)	ค
กิตติกรรมประกาศ	ง
สารบัญ	จ
สารบัญตาราง	ซ
สารบัญรูปภาพ	ญ
สารบัญกราฟ	ม
ลำดับสัญลักษณ์	ธ
บทที่ 1 บทนำ	
1.1 ที่มาและความสำคัญ	1
1.2 วัตถุประสงค์	1
1.3 ประโยชน์ที่คาดว่าจะได้รับ	2
1.4 ขอบเขตของโครงการ	2
1.5 ขั้นตอนการดำเนินงาน	2
1.6 ระยะเวลาแผนการปฏิบัติงาน	3
1.7 งบประมาณ	4
บทที่ 2 หลักการ และทฤษฎี	
2.1 วัสดุก่อสร้างและฉนวนกันการประยัดพลังงาน	5
2.2 การถ่ายเทความร้อนเข้าสู่ตัวอาคาร	5
2.2.1 ความร้อนที่เกิดจากภายในอาคาร	6
2.2.2 ความร้อนที่เกิดจากภายนอกอาคาร	6
2.2.3 Conduction Heat Gain	6
2.2.4 Solar Radiation	6
2.2.5 Ventilation Heat Gain	6
2.3 การถ่ายเทความร้อนที่หลังคา	6
2.3.1 รังสีคลื่นสั้น	6
2.3.2 รังสีคลื่นยาว	6
2.4 อิทธิพลของรังสีดวงอาทิตย์	8
2.5 คุณสมบัติความเป็นฉนวน	10
2.6 การเลือกใช้วัสดุเพื่อการประยัดพลังงาน	10
2.7 การถ่ายเทความร้อนโดยการนำความร้อน	11
2.8 อิทธิพลของวัสดุหลังคาที่มีผลต่อการถ่ายเทความร้อน	12

สารบัญ(ต่อ)

เรื่อง	หน้า
บทที่ 3 การดำเนินการและการทดลอง	
3.1 วางแผนการดำเนินการทดลอง	14
3.2 อุปกรณ์และวัสดุที่ใช้ในการทดลอง	15
3.2.1 อุปกรณ์	15
3.2.2 วัสดุที่ใช้ในการทดลอง	15
3.3 ขั้นตอนการสร้างบ้านจำลองและวิธีการทดลอง	16
3.4 กระเบื้องที่ใช้ในการทดลอง	19
3.5 วิธีการทำก้อนคอนกรีตทดสอบค่าการนำความร้อน	20
3.6 วิธีการทดสอบค่าการนำความร้อน	22
3.7 ทิศทางของแสงอาทิตย์	28
บทที่ 4 ผลการทดลองและวิเคราะห์	
4.1 ผลการทดลองการวัดอุณหภูมิภายในบ้านจำลอง	29
4.1.1 ผลการวัดอุณหภูมิของอากาศภายในบ้านจำลองในสภาวะแวดล้อมจริง เดือนกันยายน 2554	29
4.1.2 ผลการวัดอุณหภูมิของอากาศภายในบ้านจำลองในสภาวะแวดล้อมจริง เดือนตุลาคม 2554	30
4.1.3 ผลการวัดอุณหภูมิของอากาศภายในบ้านจำลองในสภาวะแวดล้อมจริง เดือนพฤษจิกายน 2554	31
4.1.4 ผลการวัดอุณหภูมิของอากาศภายในบ้านจำลองในสภาวะแวดล้อมจริง เดือนธันวาคม 2554	32
4.1.5 ผลการวัดอุณหภูมิของอากาศภายในบ้านจำลองในสภาวะแวดล้อมจริง เดือนมกราคม 2555	33
4.1.6 ผลการวัดอุณหภูมิของอากาศภายในบ้านจำลองในสภาวะแวดล้อมจริง เดือนกุมภาพันธ์ 2555	34
4.1.7 ผลการวัดอุณหภูมิภายในบ้านจำลองในสภาวะแวดล้อมจริง (กันยายน 2554 - กุมภาพันธ์ 2555)	35
4.1.8 ผลการเปรียบเทียบอุณหภูมิเฉลี่ยของอากาศภายในบ้านจำลอง ตลอด 6 เดือน (กันยายน 2554 – กุมภาพันธ์ 2555)	36
4.2 ผลการทดลองการหาค่าการนำความร้อนของกระเบื้องหลังคาคอนกรีตผสม ถุงขยายพลาสติกเคลือบօลูมิเนียม	36
4.3 ผลการวิเคราะห์ค่าไฟฟ้าในการปรับอากาศ	37
4.4 ผลการวิเคราะห์การประหยัดพลังงาน	38
4.5 ผลการวิเคราะห์ราคาต้นทุนของกระเบื้องหลังคา	39

สารบัญ(ต่อ)

เรื่อง	หน้า
บทที่ 5 สรุปและวิจารณ์ผลการทดลอง	
5.1 การวัดอุณหภูมิของอากาศภายในบ้านจำลอง	40
5.2 ค่าการนำความร้อน	41
5.3 การใช้พลังงานในการปรับอากาศ	41
5.4 ราคากล่องเบื้อง	41
5.5 วิจารณ์การวัดค่าการนำความร้อน	42
5.6 วิจารณ์และข้อเสนอแนะ	42
บรรณานุกรม	43
ภาคผนวก ก	45
ภาคผนวก ข	54
ภาคผนวก ค	63
ภาคผนวก ง	66
ประวัติผู้จัดทำโครงงาน	70



สารบัญตาราง

สารบัญตาราง(ต่อ)

ตารางที่	หน้า
1ค. ตารางคุณสมบัติ	63
2ค. ค่าความด้านท่านความร้อนของพื้นที่อากาศ	64
3ค. ค่าความแตกต่างอุณหภูมิภายนอกและภายในอาคาร	65
4ค. ค่าการนำความร้อนที่ได้จากการทดลอง	65
5ค. แสดงคุณสมบัติการป้องกันความร้อนของฉนวน	65
1ง. แสดงค่าไฟฟ้าของเครื่องปรับอากาศ	67
2ง. การประมาณราคากำรเบื้องในงานหลังคา	68



สารบัญรูปภาพ

	หน้า
รูปที่ 2.1 การป้องกันความร้อนเข้าสู่ตัวบ้าน	5
รูปที่ 2.2 ความร้อนที่เกิดขึ้นจากภายนอกของบ้านจำลองที่มุ่งด้วยหลังคาชนิดต่างๆ	7
รูปที่ 2.3 พลังความร้อนในแต่ละเดือนของประเทศไทย	9
รูปที่ 2.4 การนำความร้อนตามแนวแกนของวัตถุรูปทรงกระบอกที่หุ้มฉนวน	12
รูปที่ 3.1 แผนผังขั้นตอนการปฏิบัติงานและการดำเนินการทดลอง	14
รูปที่ 3.2 ขนาดบ้านจำลอง	16
รูปที่ 3.3 การติดตั้งหัววัดอุณหภูมิและอุดรอยร้าบริเวณรอยต่อหลังคา	16
รูปที่ 3.4 การอุดรอยร้าวบ้านจำลอง	17
รูปที่ 3.5 การติดตั้งบ้านจำลอง	17
รูปที่ 3.6 การต่อสายวัดอุณหภูมิเข้ากับเครื่อง AP-1701-2	18
รูปที่ 3.7 การเก็บข้อมูล	18
รูปที่ 3.8 กระเบื้องที่ใช้ทดลอง	19
รูปที่ 3.9 ตัวอย่างถุงขยายพลาสติกเคลือบอลูมิเนียม	20
รูปที่ 3.10 ขั้นตอนการเตรียมส่วนผสมของอิฐซีเมนต์ผสมถุงขยายพลาสติกเคลือบอลูมิเนียม	20
รูปที่ 3.11 การหล่อ ก้อนทดสอบ	21
รูปที่ 3.12 ก้อนคอนกรีตทดสอบที่นำออกจากการแบบหล่อ	21
รูปที่ 3.13 การติดตั้งชุดทดสอบการนำความร้อนตามแนวแกน	22
รูปที่ 3.14 ทิศทางแสงแดด เวลา 6.00 น.	24
รูปที่ 3.15 ทิศทางแสงแดด เวลา 6.30 น.	24
รูปที่ 3.16 ทิศทางแสงแดด เวลา 7.00 น.	24
รูปที่ 3.17 ทิศทางแสงแดด เวลา 7.30 น.	24
รูปที่ 3.18 ทิศทางแสงแดด เวลา 8.00 น.	24
รูปที่ 3.19 ทิศทางแสงแดด เวลา 8.30 น.	24
รูปที่ 3.20 ทิศทางแสงแดด เวลา 9.00 น.	25
รูปที่ 3.21 ทิศทางแสงแดด เวลา 9.30 น.	25
รูปที่ 3.22 ทิศทางแสงแดด เวลา 10.00 น.	25
รูปที่ 3.23 ทิศทางแสงแดด เวลา 10.30 น.	25
รูปที่ 3.24 ทิศทางแสงแดด เวลา 11.00 น.	25
รูปที่ 3.25 ทิศทางแสงแดด เวลา 11.30 น.	25
รูปที่ 3.26 ทิศทางแสงแดด(1) เวลา 12.00 น.	26

สารบัญรูปภาพ(ต่อ)

หน้า

รูปที่ 3.27 ทิศทางแสงแดด(2) เวลา 12.00 น.	26
รูปที่ 3.28 ทิศทางแสงแดด เวลา 12.30 น.	26
รูปที่ 3.29 ทิศทางแสงแดด เวลา 13.00 น.	26
รูปที่ 3.30 ทิศทางแสงแดด เวลา 13.30 น.	26
รูปที่ 3.31 ทิศทางแสงแดด เวลา 14.00 น.	26
รูปที่ 3.32 ทิศทางแสงแดด เวลา 14.30 น.	27
รูปที่ 3.33 ทิศทางแสงแดด เวลา 15.00 น.	27
รูปที่ 3.34 ทิศทางแสงแดด เวลา 15.30 น.	27
รูปที่ 3.35 ทิศทางแสงแดด เวลา 16.00 น.	27
รูปที่ 3.36 ทิศทางแสงแดด เวลา 16.30 น.	27
รูปที่ 3.37 ทิศทางแสงแดด เวลา 17.00 น.	27
รูปที่ 3.38 ทิศทางแสงแดด เวลา 17.30 น.	28
รูปที่ 3.39 ทิศทางแสงแดด เวลา 18.00 น.	28



สารบัญกราฟ

หน้า

กราฟที่ 4.1 อุณหภูมิเฉลี่ยของอากาศภายในบ้านจำลองในสภาวะแวดล้อมจริงเดือนกันยายน	29
กราฟที่ 4.2 อุณหภูมิเฉลี่ยของอากาศภายในบ้านจำลองในสภาวะแวดล้อมจริงเดือนตุลาคม	30
กราฟที่ 4.3 อุณหภูมิเฉลี่ยของอากาศภายในบ้านจำลองในสภาวะแวดล้อมจริงเดือนพฤษจิกายน	31
กราฟที่ 4.4 อุณหภูมิเฉลี่ยของอากาศภายในบ้านจำลองในสภาวะแวดล้อมจริงเดือนธันวาคม	32
กราฟที่ 4.5 อุณหภูมิเฉลี่ยของอากาศภายในบ้านจำลองในสภาวะแวดล้อมจริงมกราคม 2555	33
กราฟที่ 4.6 อุณหภูมิเฉลี่ยของอากาศภายในบ้านจำลองในสภาวะแวดล้อมจริงกุมภาพันธ์ 2555	34
กราฟที่ 4.7 อุณหภูมิเฉลี่ยของอากาศภายในบ้านจำลองในสภาวะแวดล้อมจริงกันยายน 2554 ถึงกุมภาพันธ์ 2555	35
กราฟที่ 4.8 ผลการเปรียบเทียบอุณหภูมิเฉลี่ยของอากาศภายในบ้านจำลองในสภาวะแวดล้อมจริงเดือนกันยายน 2554- เดือนกุมภาพันธ์ 2555	36
กราฟที่ 4.9 ค่าใช้จ่ายในการใช้พลังงานไฟฟ้าการปรับอากาศต่อ 1 ปี	37
กราฟที่ 4.10 การประหยัดพลังงานไฟฟ้าในการปรับอากาศ	38
กราฟที่ 4.11 ราคากำรเบื้องต้นและประเภทต่อพื้นที่การบุ่งหลังคา 1000 ตารางเมตร	39
กราฟที่ 1x. อุณหภูมิเฉลี่ยของอากาศภายในบ้านจำลองในสภาวะแวดล้อมจริงเดือนกันยายน	54
กราฟที่ 2x. อุณหภูมิเฉลี่ยของอากาศภายในบ้านจำลองในสภาวะแวดล้อมจริงเดือนตุลาคม	55
กราฟที่ 3x. อุณหภูมิเฉลี่ยของอากาศภายในบ้านจำลองในสภาวะแวดล้อมจริงเดือนพฤษจิกายน	56
กราฟที่ 4x. อุณหภูมิเฉลี่ยของอากาศภายในบ้านจำลองในสภาวะแวดล้อมจริงเดือนธันวาคม	57
กราฟที่ 5x. อุณหภูมิเฉลี่ยของอากาศภายในบ้านจำลองในสภาวะแวดล้อมจริงมกราคม 2555	58
กราฟที่ 6x. อุณหภูมิเฉลี่ยของอากาศภายในบ้านจำลองในสภาวะแวดล้อมจริงกุมภาพันธ์ 2555	59
กราฟที่ 7x. อุณหภูมิเฉลี่ยของอากาศภายในบ้านจำลองในสภาวะแวดล้อมจริงกันยายน 2554 ถึงกุมภาพันธ์ 2555	60

ลำดับสัญลักษณ์

สัญลักษณ์	ปริมาณ(ไทย)	หน่วย(Unit)
Q	ค่าการถ่ายเทความร้อน	W
K	ค่าการนำความร้อน	W/(m. ⁰ C)
A	พื้นที่การถ่ายเทความร้อน	m ²
T	ลำดับสัญลักษณ์	°C
L,x	ความหนาของวัสดุ	m
R	ค่าความต้านทานความร้อน	(m ² .°C)/W
U	ค่าสัมประสิทธิ์การถ่ายเทความร้อนรวม	W/(m ² . °C)
R _t	ค่าการต้านทานความร้อนรวม	(m ² .°C)/w
dT	ผลต่างของอุณหภูมิ	°C
dx	ผลต่างของความหนา	m
Al	ถุงขยะพลาสติกเคลือบอลูมิเนียม	-



บทที่ 1

บทนำ

1.1 ที่มาและความสำคัญของโครงงาน

ในปัจจุบันสภาวะโลกร้อนเป็นปัญหาอย่างมากที่ส่งผลทำให้อุณหภูมิของโลกนั้นเพิ่มขึ้น เป็นปัญหาหนึ่งที่ส่งผลกระทบโดยตรงต่อที่อาคารพักอาศัย ซึ่งความร้อนภายในบ้านและอาคารส่วนหนึ่งนั้นมาจากการหลังคาทำให้อุณหภูมิของอากาศภายในเพิ่มมากขึ้นทุกวัน ซึ่งเป็นปัจจัยที่สำคัญอย่างมากในการใช้พลังงานไฟฟ้าอย่างสิ้นเปลืองที่ส่วนใหญ่มาจากการปรับอากาศโดยใช้เหตุจึงต้องการศึกษาว่าจะทำอย่างไรที่จะช่วยลดปริมาณค่าไฟฟ้าที่ใช้กับระบบปรับอากาศลงได้

จากปัญหานี้จึงได้มีแนวคิดที่จะนำเอากระเบื้องหลังคาดอนกรีตผสมถุงขยะพลาสติกเคลือบอลูมิเนียมมาทดสอบวัดอุณหภูมิของอากาศภายในบ้านจำลองหลังที่มีการมุงด้วยกระเบื้องหลังคาดอนกรีตผสมถุงขยะพลาสติกเคลือบอลูมิเนียมเพื่อว่าในอุณหภูมิเดียวกันนี้คุณสมบัติที่ช่วยในการป้องกันรังสีความร้อนจากดวงอาทิตย์ และยังสามารถป้องกันการร้าวซึมของน้ำได้ดีอีกด้วยซึ่งอุปสรรคที่มีผลต่อหลังคาดีคือความร้อนและน้ำหนักจากน้ำความร้อนส่วนใหญ่ที่เข้ามายังภายในอาคาร เป็นการต่อการทำความเย็นให้กับเครื่องปรับอากาศทำให้เสื่อมเปลืองการใช้พลังงานไฟฟ้า เพราะว่าความร้อนที่ผ่านเข้าสู่อาคารส่วนหนึ่งมาจากหลังคาดีซึ่งเป็นพื้นที่หลักของอาคารจะมีการรับแสงอาทิตย์มากที่สุดจึงเป็นผลให้หลังคาดีมีอุณหภูมิสูงที่สุด ดังนั้นการออกแบบและการเลือกใช้วัสดุมุงหลังคาดีที่เหมาะสมจะช่วยลดภาระการใช้พลังงานของเครื่องปรับอากาศและยังช่วยลดน้ำหนักของโครงสร้างของหลังคาดีอีกด้วย

ด้วยความนิยมในการใช้วัสดุหลังคาที่มีความหลากหลายทั้งในอาคารสำนักงาน โรงพยาบาล โรงแรมห้างสรรพสินค้า สถานศึกษา ประเด็นของการเลือกใช้วัสดุหลังคาจึงเป็นอีกปัจจัยหนึ่งที่มีความสำคัญในการนำมาใช้พิจารณาวัสดุหลังคาเพื่อวัตถุประสงค์ในการประยัดพลังงานของอาคาร และความสำคัญในเชิงเศรษฐศาสตร์อีกด้วย

1.2 วัตถุประสงค์ของโครงการ

1.2.1 วัดและเปรียบเทียบอุณหภูมิภายในบ้านจำลองที่มุงหลังคาด้วยกระเบื้องมีส่วนผสมคือปูน ทราย น้ำ ในอัตราส่วน 1:1:0.5 โดยปริมาตร และอัตราผสมถุงของพลาสติกเคลือบอยู่ในอัตราส่วนเท่ากับ 0, 0.3, 0.5, 0.7 โดยปริมาตร กระเบื้องคอนกรีตแผ่นล่อนกระเบื้องคอนกรีตแผ่นเรียบ กระเบื้องคอนกรีตไวนิลล่อนคุ้มและสีเงินแวดล้อม ตลอดทั้งวัน

1.2.2 วิเคราะห์การประยัดพลังงานของอาคารที่มีการนำหลังคาด้วยกระเบื้องคอนกรีตผสมดุงขยะพลาสติกเคลือบอลูมิเนียมในอัตราส่วนอลูมิเนียมเท่ากับ 0, 0.3, 0.5, 0.7 โดยปริมาตรกระเบื้องหลังคาคอนกรีตแผ่นลอนกระเบื้องหลังคาคอนกรีตแผ่นเรียบ และกระเบื้องหลังคาคอนกรีตัยทินลอนคู่เมื่อมีการใช้ระบบปรับอากาศอยู่ภายใน

1.2.3 นำขยะพลาสติกเคลือบอลูมิเนียมมาใช้ประโยชน์

1.2.4 ศึกษาและวิเคราะห์การหาค่าการนำความร้อนของกระเบื้องหลังคาผสนถุงยะ พลาสติกเคลือบอลูมิเนียมในแต่ละอัตราส่วนของพลาสติกเคลือบอลูมิเนียม

1.3 ประโยชน์ที่คาดว่าจะได้รับ

- 1.3.1 ได้ทราบว่ากระเบื้องหลังคาประเภทใดเมื่อนำมามุงหลังคาแล้ว ทำให้อุณหภูมิเฉลี่ยของอากาศภายในบ้านต่ำที่สุด
- 1.3.2 ได้ทราบผลของการประยัดพลังงานเมื่อมุงด้วยวัสดุมุงหลังคาแต่ละประเภท
- 1.3.3 ช่วยรักษาสิ่งแวดล้อม
- 1.3.4 ได้ทราบค่าการนำความร้อนของกระเบื้องหลังคาค่าคงกรีดผสมถุงขยะพลาสติกเคลือบอลูมิเนียม
- 1.3.5 สามารถนำไปช่วยพิจารณาในการเลือกใช้กระเบื้องมุงหลังคาได้

1.4 ขอบเขตของโครงการ

1.4.1 ศึกษาและสร้างบ้านจำลองตามแบบบ้านจำลองจากโครงการ “ศึกษาความเป็นไปได้ในการสร้างกระเบื้องหลังคาค่าคงกรีดผสมถุงขยะพลาสติกเคลือบอลูมิเนียม”

1.4.2 มุงหลังคาบ้านแต่ละหลังด้วยกระเบื้องที่มีส่วนผสมคือ ปูน ทราย น้ำ ในอัตราส่วน 1:1:0.5 โดยปริมาตร และผสมถุงขยะพลาสติกเคลือบอลูมิเนียมในอัตราส่วนอลูมิเนียมเท่ากับ 0, 0.3, 0.5, 0.7 โดยปริมาตร กระเบื้องหลังคาค่าคงกรีดแผ่นล่อนกระเบื้องหลังคาค่าคงกรีดแผ่นเรียบ และกระเบื้องหลังคาค่าคงกรีดไทยหินลอนคู่

1.4.2 ติดตั้งบ้านจำลองบริเวณที่โล่ง แสงแดดสามารถส่องถึงได้ตลอดทั้งวัน บ้านทุกหลังอยู่ในสภาพแวดล้อมเดียวกันทั้งหมด

1.4.3 วัดอุณหภูมิภายในบ้านจำลองและเก็บค่าทุกๆ 30 นาที ตลอด 24 ชั่วโมง ตั้งแต่วันที่ 14 กันยายน พ.ศ.2554 ถึง 31 มกราคม พ.ศ.2555

1.4.4 เปรียบเทียบอุณหภูมิภายในบ้านจำลองและวิเคราะห์สมรรถนะของกระเบื้องมุงหลังคา ถึงความเป็นไปได้ในการนำกระเบื้องหลังคาค่าคงกรีดผสมถุงขยะพลาสติกมาใช้งานจริง

1.5 ขั้นตอนการดำเนินงาน

1.5.1 ศึกษาการสร้างแบบบ้านจำลองจากโครงการศึกษาความเป็นไปได้ในการสร้างกระเบื้องหลังคาค่าคงกรีดผสมถุงขยะพลาสติกเคลือบอลูมิเนียม

1.5.2 สร้างบ้านตามแบบที่ได้ศึกษาข้างต้น

1.5.3 ทดสอบค่าการนำความร้อนของกระเบื้องหลังคาค่าคงกรีดผสมถุงขยะพลาสติกเคลือบอลูมิเนียม

1.5.3.1 หาค่าการนำความร้อนของกระเบื้องหลังคาค่าคงกรีดผสมถุงขยะพลาสติกเคลือบอลูมิเนียมโดยมีอัตราส่วน ปูน ทราย น้ำ ในอัตรา 1:1:0.5 โดยปริมาตร และผสมอลูมิเนียมจากถุงขยะพลาสติกเคลือบอลูมิเนียมในอัตราส่วนอลูมิเนียมเท่ากับ 0, 0.3, 0.5, 0.7 ตามลำดับ

1.5.4 วิเคราะห์และเปรียบเทียบการใช้พลังงานในการปรับอากาศภายในบ้านแต่ละหลังที่มีการมุงหลังคาด้วยกระเบื้องหลังคาค่าคงกรีดผสมถุงขยะพลาสติกเคลือบอลูมิเนียม กับกระเบื้องหลังคาค่าคงกรีดทั่วไปที่มีขายในห้องตลาด

1.5.5 สรุปผลและวิจารณ์

1.6 ระยะเวลาและแผนปฏิบัติงาน (Gantt Chart)

ระยะเวลา

ดำเนินการ 8.....เดือนตั้งแต่ กรกฎาคม 2554 ถึงกุมภาพันธ์ 2555

การปฏิบัติงาน	พ.ศ. 2554						พ.ศ. 2555	
	ก.ค.	ส.ค.	ก.ย.	ต.ค.	พ.ย.	ธ.ค.	ม.ค.	ก.พ.
1. ศึกษาทฤษฎีและงานวิจัยที่เกี่ยวข้องกับการพัฒนาระเบื่องหลังคาดอนกรีต			↔					
2. สร้างบ้านจำลองเพื่อนำกระเบื้องติดตั้งทดสอบ		↔		↔				
3. ทดสอบวัดค่าอุณหภูมิของอากาศภายในบ้านจำลอง			↔					↔
4. เปรียบเทียบอุณหภูมิของอากาศภายในบ้านจำลองที่มุงด้วยกระเบื้องคอนกรีตผสมถุงขยายพลาสติกเคลือบอุณหภูมนียมแต่ละอัตราส่วนกับกระเบื้องทั่วไป					↔		↔	↔
5. สรุปและวิเคราะห์ผล						↔		↔

แผนที่วางไว้ ↔ ปฏิบัติได้จริง ↔

1.7 งบประมาณ

ค่าวัสดุ

ปูนซีเมนต์	60	บาท
กระเบื้อง	108	บาท
โฟมแผ่น	369	บาท
การชิลิโคนข้าว Wurth	950	บาท
ไม้โครงยางพารา	280	บาท
พลาสติกลูกพุก	285	บาท
กล่องพลาสติกใส่อุปกรณ์วัดอุณหภูมิ	150	บาท
ท่อ PVC สีดำและข้องอ	488	บาท
ท่อ PVC ¼ นิ้ว	80	บาท
อีดูแดง	44	บาท
แลกเกอร์เคลือบเงา	45	บาท
แปรงขันข้าว	38	บาท
แผ่นอลูมิเนียม	170	บาท
สายสัญญาณอินเตอร์เน็ต	235	บาท
วัสดุสำนักงาน	300	บาท
รวมทั้งหมดทุกรายการ	3,602	บาท



บทที่ 2

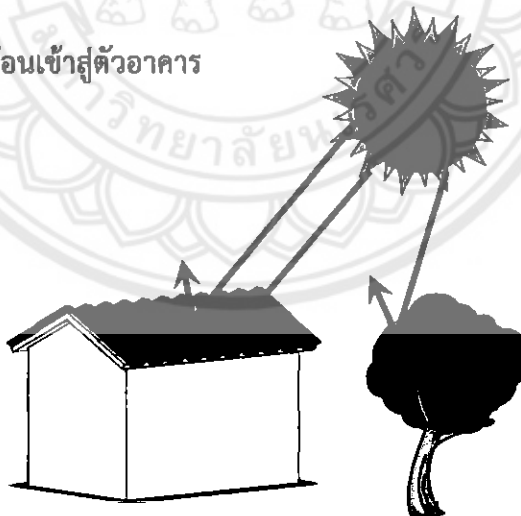
หลักการและทฤษฎี

2.1 วัสดุก่อสร้างและดูนวนกับการประทัยดพลังงาน

เมื่อกล่าวถึงเรื่องของการใช้พลังงานภายในอาคารซึ่งในที่นี้หมายถึงพลังงานไฟฟ้าคนทัวไปส่วนมากจะมีความเข้าใจเฉพาะการประทัยดพลังงานไฟฟ้าจากอุปกรณ์เครื่องใช้ไฟฟ้าเพียงอย่างเดียวเนื่องจากสามารถทำความเข้าใจได้ง่ายและเห็นเป็นรูปธรรมอย่างชัดเจน แต่แท้ที่จริงแล้วยังมีอีกหลายวิธีที่สามารถช่วยลดปริมาณการใช้พลังงานลงได้ ซึ่งหนึ่งในวิธีนั้นก็คือการเลือกใช้วัสดุมุงหลังคาหรือวัสดุเบื้องมุงหลังคาให้มีความเหมาะสมสมต่อการใช้งาน

สาเหตุเนื่องจากกระแสเบื้องเป็นวัสดุที่อยู่ภายนอกอาคารมีการรับแสงแดดตลอดทั้งวัน ซึ่งเป็นปัจจัยที่สำคัญที่ถ่ายเทความร้อนเข้ามายังอาคาร ถ้าเลือกใช้วัสดุเบื้องที่สามารถป้องกันความร้อนได้ดีผู้อยู่อาศัยภายในก็จะไม่รู้สึกร้อน และภายในอาคารก็จะอยู่ในสภาพว่างน่าสบายตลอด และจากการได้รวบรวมข้อมูลต่างๆ มหาวิเคราะห์พบว่าพลังงานไฟฟ้าที่ถูกใช้ภายในอาคารที่พักอาศัยถูกใช้ไปกับการลดความร้อนภายในอาคารมากที่สุด คือ การใช้ระบบปรับอากาศเข้ามาเสริมเมื่อต้องการให้อยู่ในภาวะน่าสบาย ที่ผ่านมาในขั้นตอนการออกแบบการก่อสร้างจะมีผู้ที่คำนึงถึงการเลือกใช้หลังคาที่มีคุณสมบัติในการป้องกันความร้อนไม่มากนัก หากมีการป้องกันในขั้นต้นแล้ว ก็จะไม่ทำให้ภาระในการลดความร้อนตกไปอยู่กับระบบทำความเย็นของเครื่องปรับอากาศมากนัก ซึ่งเป็นอุปกรณ์ไฟฟ้าที่ใช้พลังงานมากชนิดหนึ่งในการทำงานของระบบ

2.2 การถ่ายเทความร้อนเข้าสู่ตัวอาคาร



รูปที่ 2.1 การป้องกันความร้อนเข้าสู่ตัวบ้าน

ที่มา : กิตติศักดิ์(2553). สิกษาความเป็นไปได้ในการสร้างกระแสเบื้องหลังคาดอนกรีฑาสมอสูมิเนียมฟอยส์จากถุงขยะพลาสติก

ความร้อนที่อยู่ภายในอาคารมาจากแหล่งกำเนิดความร้อน 2 ส่วนหลักๆคือความร้อนจากภายในออกและความร้อนที่เกิดขึ้นภายในอาคารเอง โดยทั่วไปแล้วความร้อนในอาคารจะมาจากการอุ่นมากกว่าซึ่งเป็นความร้อนที่ได้รับอิทธิพลจากดวงอาทิตย์โดยการส่งผ่านความร้อนจะมาจากการ

ตัวกลางหล่ายนิดมาน้ำสู่อาคารและความร้อนนั้นจะถ่ายเททางตัวกลางสู่อาคารที่หนึ่ง

2.2.1 ความร้อนที่เกิดจากภายในอาคาร (Internal Heat Gain) เป็นความร้อนที่อาจเกิดได้ทั้งคนหรือว่ามาจากการอุปกรณ์ไฟฟ้าที่อยู่ภายในอาคาร เช่น ความร้อนจากหลอดไฟ ตู้เย็น เป็นต้น

2.2.2 ความร้อนที่เกิดจากภายนอกอาคาร (External Heat Gain) เป็นความร้อนที่เกิดจากอิทธิพลของดวงอาทิตย์

2.2.3 Conduction Heat Gain เป็นการนำความร้อนที่อาจเกิดได้ทั้งการนำความร้อนเข้ามาภายในอาคารหรือการสูญเสียความร้อนสู่ภายนอกโดยตัวนำความร้อน ทั้งนี้ขึ้นอยู่กับระดับอุณหภูมิระหว่างภายนอกและภายในอาคาร โดยความร้อนจะถ่ายเทจากที่ที่มีอุณหภูมิสูงกว่าเสมอ

2.2.4 Solar Radiation เป็นการแพร่รังสีดวงอาทิตย์ ในกรณีของประเทศไทยที่ตั้งอยู่ใกล้เส้นศูนย์สูตรจะได้รับผลกระทบจากการส่องสว่างอาทิตย์เป็นอย่างมาก

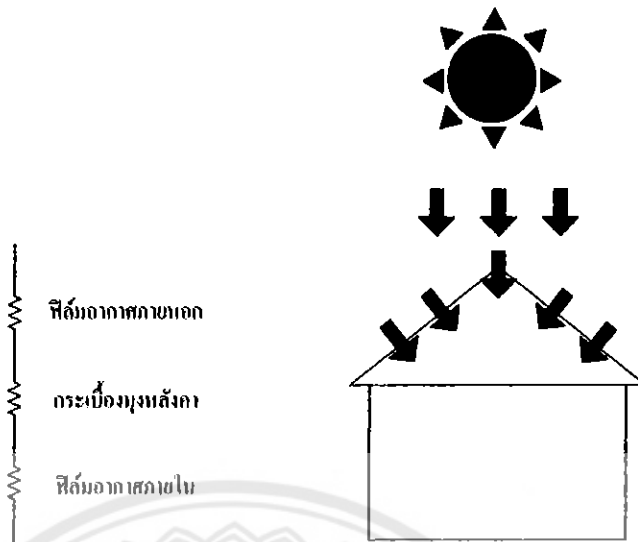
2.2.5 Ventilation Heat Gain คือความร้อนที่มาจากการระบายอากาศ จะมีลักษณะคล้ายกับการนำความร้อนแต่จะมีตัวกลางในการพาความร้อนโดยอากาศซึ่งจะมีความเกี่ยวข้องกับพื้นที่ทางและความเร็วของกระแสลมด้วย

2.3 การถ่ายเทความร้อนที่หลังคา

การถ่ายเทความร้อนเข้าหรือออกจากอาคารผ่านหลังคาสามารถทำได้ใน 3 รูปแบบ คือการนำความร้อน (Conduction), การพาความร้อน (Convection), และการแผ่ความร้อน (Radiation) ตามลักษณะทางกายภาพของอาคารทั่วไปที่มีความสูงไม่มาก พบว่าหลังคาเป็นส่วนที่ได้รับอิทธิพลจากการแพร่รังสีความร้อนตรงดวงอาทิตย์มากที่สุด การแพร่รังสีความร้อนจากดวงอาทิตย์เมื่อเข้าสู่ชั้นบรรยากาศของโลกจะมีบางส่วนที่แพร่กระจายเหลือเพียงบางส่วนที่ผ่านตรงมายังพื้นโลก รังสีที่เกิดการสะท้อนกับเมฆฝุ่นละอองหรือไอน้ำในอากาศเรียกว่ารังสีกระจาย (Diffuse Radiation) ซึ่งมีการกระจายที่ไม่สม่ำเสมอ มีความเข้มสูงในบริเวณรอบดวงอาทิตย์และปริมาณของรังสีจะมีค่า 10-90% ของปริมาณรังสีจากดวงอาทิตย์ที่ผ่านเข้าสู่ตัวอาคาร อีกส่วนหนึ่งของรังสีเกิดการสะท้อนจากพื้นดินหรืออาคารซึ่งเรียกว่ารังสีสะท้อน (Reflected Radiation) จะมีค่ามากหรือน้อยขึ้นอยู่กับค่า Reflectivity ของพื้นผิวสีของวัสดุที่อยู่รอบๆอาคารนั้น รังสีความร้อนจากดวงอาทิตย์ที่ผ่านเข้ามายังพื้นโลกจะประกอบด้วยรังสี 2 ประเภทคือ

2.3.1 รังสีคลื่นสั้น (Short Wave Radiation) เป็นรังสีที่มาจากการส่องสว่างอาทิตย์โดยตรงสามารถหล่อผ่านกระจกใสได้

2.3.2 รังสีคลื่นยาว (Long Wave Radiation) เกิดจากการส่องสว่างที่ต่อกันระหว่างวัตถุและจะเปลี่ยนเป็นรังสีคลื่นยาวในรูปของพลังงานความร้อน ซึ่งจะไม่สามารถหล่อผ่านกระจกใสให้ไปได้จะสะท้อนได้ต่อกับวัสดุผิวเรียบมันและเงา เมื่อวัสดุมุ่งหน้าให้รับรังสีความร้อนจากดวงอาทิตย์จะร้อนขึ้นเนื่องจากการแพร่รังสีคลื่นสั้นกลایเป็นรังสีคลื่นยาวทำให้เกิดพลังงานความร้อนขึ้นที่ผิววัสดุพร้อมกับการคัดซับรังสีความร้อนของวัสดุทำให้ผิวหลังคาร้อนขึ้นนำไปสู่การถ่ายเทความร้อนเข้าสู่อาคาร ส่งผลต่ออุณหภูมิของอากาศภายในอาคาร ทั้งนี้ขึ้นอยู่กับองค์ประกอบ 3 ประการ (ASHRAE, 2001) คือ อุณหภูมิอากาศภายนอก รังสีดวงอาทิตย์ที่ต่อกันระหว่างวัสดุที่ถูกคัดซับไว้ และการแลกเปลี่ยนรังสีความร้อนกับสภาพแวดล้อม



รูปที่ 2.2 ความร้อนที่เกิดขึ้นจากภายนอกของบ้านจำลองที่มุ่งด้วยหลังคาชนิดต่างๆ

มวลสารสะสมความร้อน (Thermal Mass) เป็นตัวแปรสำคัญที่มีอิทธิพลต่อการถ่ายเทความร้อนเข้าสู่อาคาร กล่าวคือมวลสารสะสมความร้อนมีความสามารถในการกักเก็บความร้อนและการหน่วงเหนี่ยของการถ่ายเทความร้อนของวัสดุได้มากหรือน้อยต่างกัน วัสดุที่มีน้ำหนักเบาและมีมวลสารน้อยจะมีความสามารถในการกักเก็บปริมาณความร้อนได้น้อยแต่ความสามารถในการกีดกันการถ่ายความร้อนเป็นไปในอัตราที่ช้าในทางกลับกันวัสดุที่มวลสารสะสมความร้อนมากจะมีความสามารถในการกักเก็บปริมาณความร้อนได้มากเมื่อปริมาณความกักเก็บมีมากขึ้นจะเกิดการส่งผ่านความร้อนอย่างต่อเนื่อง ความร้อนที่สะสมในมวลสารสะสมความร้อนจะค่อยๆ เคลื่อนตัวผ่านเข้าสู่อาคารในเวลาถัดมาอิทธิพลนี้เรียกว่าการหน่วงเหนี่ยวเวลาหรือ Time Lag Effect ถ้าหากในช่วงเวลาที่หลังคานั้นกักเก็บความร้อนขึ้นอยู่กับอุณหภูมิอากาศภายนอกเย็นลงกว่าอุณหภูมิของหลังคากลัวในช่วงเวลานั้นจะเกิดการถ่ายเทความร้อนจากหลังคากลับสู่อากาศภายนอกด้วย จะเห็นว่าความร้อนที่สะสมอยู่ในหลังคากลับนี้จะเคลื่อนตัวเข้าสู่อาคารและอีกส่วนหนึ่งเคลื่อนตัวจากหลังคากลับสู่ภายนอกหากหลังคามีมวลสารมากและมี Time Lag มากโอกาสที่ความร้อนที่สะสมอยู่ในหลังคากลับจะถ่ายให้กับอาคารและภายนอกก็มีมาก

การหน่วงเวลาหรือการหน่วงเหนี่ยความร้อน (Time Lag) โดยปกติแล้ววัสดุที่มีมวลสารมากจะมีค่าการหน่วงเหนี่ยความร้อนไว้ได้นานกว่าวัสดุที่มีมวลสารน้อยกว่า แต่ในสภาพการใช้งานจริงการหน่วงเหนี่ยความร้อนของวัสดุขึ้นอยู่กับองค์ประกอบหลายประการที่สำคัญคือ ปริมาณความร้อนที่มากพอที่จะทำให้วัสดุในแต่ละชั้นร้อนขึ้นจนถึงจุดอิ่มตัวก่อนที่จะถ่ายเทเข้าไปในอาคารต่อไป

ค่าการถ่ายเทความร้อนให้กับอากาศโดยตรงโดยการพากความร้อน (Surface Air-Conductance) การถ่ายเทความร้อนโดยวิธีนี้จะขึ้นอยู่กับความเร็วลมที่พัดผ่านและลักษณะของพื้นผิวอิทธิพลของส่วนนี้จะมีค่าน้อยมากในกรณีที่วัสดุนั้นมีค่าสัมประสิทธิ์การถ่ายเทความร้อนต่ำ อิทธิพลนี้จะมีมากขึ้นในกรณีที่วัสดุนั้นมีค่าสัมประสิทธิ์การถ่ายเทความร้อนสูงขึ้นค่าการถ่ายเท

และการกระจายพลังงานความร้อนของวัสดุ (Surface Absorption and Surface Emission) โดยปกติแล้วหากวัสดุมีสีธรรมชาติหรือสีของวัสดุตามธรรมชาติค่า Surface Emission จะค่อนข้างสูงประมาณ 0.8-0.9 นอกจากวัสดุนั้นจะมีสีชนิดพิเศษ (Selective Coating) อาจมีค่าการดูดกลืนความร้อนต่ำแต่ก็มีค่าสัมประสิทธิ์การกระจายความร้อนสูงจะทำให้ผิววัสดุเย็นกว่าปกติสำหรับการดูดกลืนความร้อนส่วนใหญ่ก็จะแปรผันตามความเข้มของสีผิวคือถ้าสีผิวเข้มมากก็จะดูดกลืนความร้อนสูง

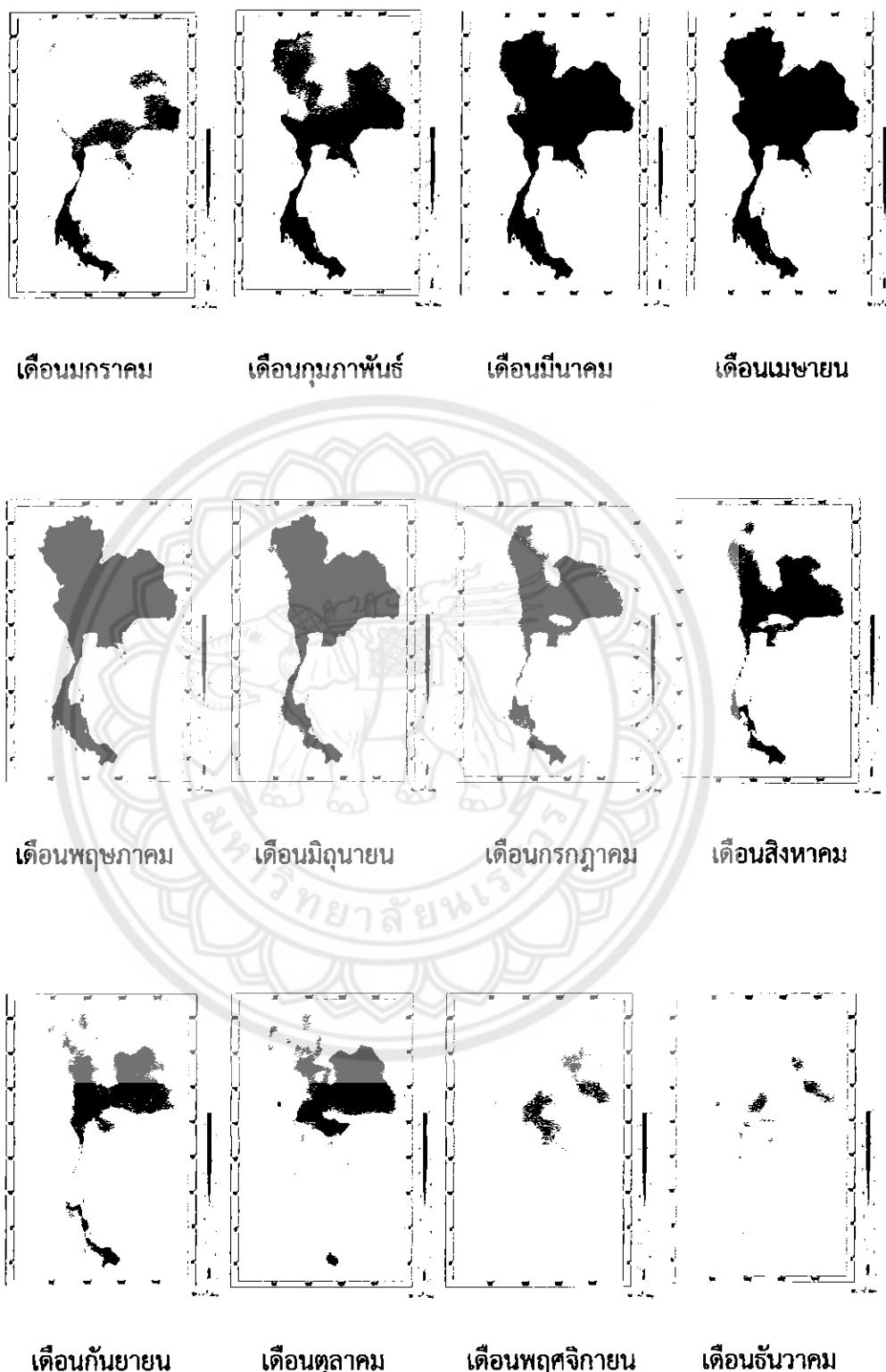
2.4 อิทธิพลของรังสีดวงอาทิตย์

ปัจจัยในอากาศเป็นส่วนร่วมของข้อมูลที่มีความแตกต่างกันทางอุตุนิยมวิทยา ซึ่งเป็นการยกมากที่จะแสดงถึงความสัมพันธ์ที่เกี่ยวเนื่องกันเพียงแค่อุณหภูมิของอากาศได้ การออกแบบให้สภาวะในอาคารมีความสมดุลทางบรรยายกาศจึงต้องวิเคราะห์ถึงปัจจัยที่อยู่ในอากาศคือความร้อนและการแผ่รังสี

อุณหภูมิของอากาศเป็นความเปลี่ยนแปลงอุณหภูมิของอากาศรายวัน ขึ้นอยู่กับสภาพห้องฟ้าในวันที่ห้องฟ้าแจ่มใสรังสีความร้อนสามารถผ่านชั้นบรรยากาศได้สะดวกกว่าวันที่ฟ้าครึ่ม ทำให้วันที่ฟ้าใสจะร้อนกว่าโดยเด่นชัดในช่วงฤดูร้อนจะทำให้อุณหภูมิสูงกว่าปกติ แต่วันที่ฟ้าโปร่งในฤดูหนาวจะหนาวไม่นักนักเนื่องจากดวงอาทิตย์โคจรห่างออกไป

การถ่ายเทรังสีรวมคือการถ่ายเทรังสีรวมจะมีคลื่นรังสีโดยตรงจากดวงอาทิตย์กับคลื่นรังสีแผ่กระจาย รวมกันเรียกว่าคลื่นรังสีรวมหรือการแผ่รังสีรวม (Total Radiation) ซึ่งมีความสำคัญในการพิจารณาเรื่องการได้รับความร้อนของหลังคาและด้านต่างๆของอาคาร วิเคราะห์ในเรื่องทิศทางการวางอาคาร รูปร่างสัดส่วนของอาคาร การควบคุมอุณหภูมิของอาคาร และเทคนิคในการก่อสร้างอาคารในเขตต้อน

แผนที่พลังงานแสงอาทิตย์ของไทย



รูปที่ 2.3 พลังงานความร้อนในแต่ละเดือนของประเทศไทย

ที่มา : กรมพัฒนาและส่งเสริมพลังงานและคณวิทยาศาสตร์ มหาวิทยาลัยศิลปากร

2.5 คุณสมบัติความเป็นอนวาน

เมื่อกล่าวถึงคุณสมบัติความเป็นอนวาน หรือวัสดุที่ถือว่ามีความเป็นอนวานที่ดีขึ้นนั้นระดับของความเป็นอนวานจะต้องพิจารณาปัจจัยหลักๆ คือ ความสามารถในการด้านทนความร้อน (Resistivity) ความสามารถในการนำความร้อน (Conductivity) และความจุความร้อน (Thermal Capacity) ซึ่งความสามารถในการด้านทนความร้อนหรือค่า “R-value” จะเป็นค่าที่บ่งบอกถึงอัตราส่วนระหว่างความหนาของวัสดุตามแนวที่ความร้อนได้มีการไหลผ่านกับความสามารถในการนำความร้อนของวัสดุ และค่าการด้านทนความร้อนจะมีความสัมพันธ์กับค่าการนำความร้อนแบบเป็นส่วนกลับ กล่าวคือ ถ้าค่าการด้านทนความร้อนสูง วัสดุนั้นก็จะมีความร้อนต่ำ สามารถคำนวณได้จาก

$$R = \frac{1}{C} = \frac{\Delta X}{K}$$

โดยที่

R =ค่าการด้านทนความร้อน($m^2 \cdot ^\circ C/W$)

C =ค่าความจุความร้อน ($J/kg \cdot ^\circ C$)

ΔX =ความหนาของวัสดุที่นำมาพิจารณา

K = ค่าการนำความร้อน ($W/m \cdot ^\circ C$)

สมการที่ 2.1

2.6 การเลือกใช้วัสดุเพื่อการประยุคพลังงาน

การเลือกใช้วัสดุเพื่อการประยุคพลังงานจำเป็นต้องมีความเข้าใจดีในพฤติกรรมที่เกิดขึ้นกับกับอาคารในช่วงเวลาต่างๆ เมื่อเลือกใช้วัสดุต่างชนิดกัน เพราะวัสดุผังที่มีมวลสารแตกต่างกันจะมีอิทธิพลต่อการเปลี่ยนแปลงอุณหภูมิภายในอาคารในแต่ละช่วงเวลา ถ้าเป็นวัสดุที่มีมวลสารมากจะทำให้อุณหภูมิภายในไม่เปลี่ยนแปลงมากนักเมื่อเปรียบเทียบกับผังที่มีมวลสารน้อย เพราะมวลสารของผังจะทำหน้าที่เก็บสะสมความร้อนไว้ในช่วงเวลานึง ก่อนจะกระจายเข้ามายังภายในอาคารเกิดการหน่วงเหนียความร้อน (Time Lag) ทำให้ช่วงเวลากลางวันที่ภายในออกมีอากาศร้อนจัด แต่อุณหภูมิภายในจะไม่สูงมากนักแต่เมื่อถึงเวลากลางคืนผังที่มีความหนาอุณหภูมิจะสูงกว่าอาคารที่มีผังบาง เพราะมีการขยายความร้อนที่ช้าอันเนื่องมาจากการผังที่หนามาก และเนื่องจากอากาศของกรุงเทพมหานครมีอุณหภูมิสูงเกือบทตลอดทั้งปี ทำให้เกิดปัญหาสำคัญอย่างหนึ่งในการออกแบบคือมีความร้อนปริมาณมากเข้ามายังภายในอาคาร และการที่จะนำเอาความเย็นในช่วงเวลากลางคืนมาใช้ในช่วงเวลากลางวันโดยอาศัยการหน่วงเวลาของวัสดุนั้นทำได้ยากมาก เพราะความแตกต่างระหว่างอุณหภูมิกลางวันและกลางคืนมีไม่มากพอ ดังนั้นการลดปริมาณความร้อนให้เข้ามายังภายในอาคารให้น้อยที่สุดจะเป็นการช่วยในการปรับสภาพภาวะภายในอาคารได้ดีที่สุด

2.7 การถ่ายเทความร้อนโดยการนำความร้อน

การศึกษาการถ่ายเทความร้อนที่ศึกษาในการทดลองนี้เป็นการศึกษาการถ่ายเทความร้อนโดยการนำความร้อน การถ่ายเทความร้อนโดยการนำความร้อนนี้ เกิดจากการแลกเปลี่ยนพลังงานจนร率ห่วงอนุภาคเล็กๆของวัสดุ เช่น อัตโนมัติอิเลคตรอน และโมเลกุล โดยอนุภาคที่มีพลังงานน้อยจะรับพลังงานจากอนุภาคที่มีพลังงานสูงกว่าจากการระทบกันหรือชนกันระหว่างอนุภาคทั้งสองนี้ เช่น ถ้าหากสอดแท่งโลหะเข้าไปในเบลาไฟแล้วใช้มือจับไว้ที่ปลายอีกด้านของแท่งโลหะนั้นแล้ว อัตโนมของแท่งโลหะทางปลายข้างที่อยู่ในเบลาไฟก็จะเกิดการเคลื่อนไหว หรือสั่นสะเทือนขึ้น การเคลื่อนไหว หรือการสั่นสะเทือนนี้จะทำให้อัตโนมที่อยู่ใกล้เคียงกันนั้นเกิดการกระแทกกันหรือเกิดการชนกันขึ้นดังนี้ก็จะมีพลังงานจนร率ห่ายจากอัตโนมที่มีพลังงานสูงไปให้แก่อัตโนมที่มีพลังงานจนรต่ำกว่าส่งผลให้อัตโนมของโลหะที่อยู่ห่างออกจากการเบลาไฟมีการสั่นสะเทือนเพิ่มขึ้น และการสั่นสะเทือนนี้จะทำให้อุณหภูมิของโลหะเพิ่มขึ้นถึงแม้จะสามารถอธิบายการถ่ายเทของความร้อนผ่านแท่งโลหะโดยการสั่นสะเทือนของอัตโนมและการเคลื่อนไหวของอัตโนมกีตามอัตราการถ่ายเทความร้อนโดยการนำก็ยังคงขึ้นอยู่กับคุณสมบัติเฉพาะของวัสดุ ปกติแล้วโลหะจะเป็นตัวนำความร้อนที่ดีที่สุด เพราะว่าโลหะประกอบด้วยอิเลคตรอนจำนวนมากที่พร้อมจะเคลื่อนที่และเคลื่อนย้ายพลังงานจากจุดหนึ่งไปยังอีกจุดหนึ่ง วัสดุจำพวกไนทิน ไมโครก กระดาษและไฟเบอร์กลาสเป็นตัวนำความร้อนที่ไม่ดี ก้าวที่เป็นตัวนำความร้อนที่ไม่ดีเช่นเดียวกับทั้งนี้ เพราะว่ามีมวลน้อยมากการนำความร้อนจะเกิดขึ้นได้ก็ต่อเมื่อจุดสองจุดในวัตถุที่เป็นตัวกลางมีอุณหภูมิที่แตกต่างกันในการศึกษาถึงการนำความร้อนนั้นจะต้องศึกษาจากแท่งวัตถุที่มีความยาวเป็น ΔX มีพื้นที่หน้าตัดเป็น A และมีอุณหภูมิที่ผิวทั้งสองเป็น T_1 และ T_2 ตามลำดับ โดยที่ $T_2 > T_1$ ดังในรูปที่..... วัตถุรูปทรงกระบอกนี้จะบุคลวนไม่ให้ความร้อนรั่วไหลออกจากผิวด้านข้าง ดังนั้นความร้อนจึงไหลได้เฉพาะในแนวแขวงแท่งวัตถุนี้เท่านั้น ความร้อนนี้จะไหลจากปลายที่มีอุณหภูมิสูงไปยังปลายที่มีอุณหภูมิต่ำกว่า อัตราการถ่ายเทความร้อนโดยการนำ Q นี้จะแปรผันตรงกับพื้นที่หน้าตัด A ของแท่งวัตถุ แปรผันตรงกับความแตกต่างของอุณหภูมิ ΔT ระหว่างผิวทั้งสองของแท่งวัตถุ และแปรผกผันกับความยาว ΔX ของแท่งวัตถุ นั่นคือ

$$Q = UA(T_1 - T_2) \quad \text{สมการที่ 2.2}$$

$$U = \frac{k}{x} \quad \text{สมการที่ 2.3}$$

$$Q = kA \frac{\Delta T}{\Delta X} \quad \text{สมการที่ 2.4}$$

$$R = \frac{x}{k} = \frac{1}{U} \quad \text{สมการที่ 2.5}$$

โดยที่

$$Q = \text{อัตราการไ출ของความร้อน, W}$$

$$k = \text{ความสามารถในการนำความร้อน, W/m.}^{\circ}\text{C}$$

$$A = \text{พื้นที่ของผนัง หรือชิ้นทดสอบ, m}^2$$

$$T_1 = \text{อุณหภูมิชิ้นทดสอบด้านที่ติดกับแหล่งกำเนิดความร้อน, } ^\circ\text{C}$$

$$T_2 = \text{อุณหภูมิชิ้นทดสอบด้านตรงกันข้ามกับแหล่งกำเนิดความร้อน, } ^\circ\text{C}$$

$$X = \text{ความหนาของผนัง หรือชิ้นทดสอบ, m}$$

$$U = \text{สัมประสิทธิ์การถ่ายเทความร้อนรวม, W/(m}^2{^\circ}\text{C)}$$

$$R = \text{ความต้านทานการนำความร้อน, (m}^2{^\circ}\text{C) /W$$



รูปที่ 2.4 การนำความร้อนตามแนวแกนของวัสดุปูรงกระบอกที่ห้องโถง

2.8 อิทธิพลของวัสดุหลังคาต่อการถ่ายเทความร้อน

วัสดุมุงหลังคา (Roofing Materials) หมายถึงวัสดุที่ใช้วางมุงบนโครงหลังคาเพื่อป้องกันไม่ให้น้ำไหลทะลุโครงสร้างหลังคาลงไปสู่พื้นที่ภายในได้หลังจากและยังทำหน้าที่ป้องกันแสงแดดและความร้อนเข้าสู่ภายในอาคาร

วัสดุแต่ละชนิดมีคุณสมบัติที่มีผลต่อการรับความร้อนความร้อนหรือสะสมความร้อนแตกต่างกันไปอันจะส่งผลกระทบอย่างต่อการอนุรักษ์พลังงานของอาคารทั้งหลังในเขตอุณหภูมิโดยรอบสูงขึ้นทำให้อาคารภายในอาคารมีเสื่อมจะดูดซับความร้อนไว้มากกว่า และจะทำให้อุณหภูมิโดยรอบสูงขึ้นทำให้อากาศภายในอาคารมีแนวโน้มสูงขึ้นการเพิ่มคุณสมบัติการสะสมความร้อนบนหลังคาจะช่วยลดการรับความร้อนจากดวงอาทิตย์นำไปสู่การประหยัดการใช้พลังงานในการทำความเย็นได้

การถ่ายเทความร้อนเข้าสู่อาคารโดยผ่านหลังคาอาคารจะมีการนำความร้อนผ่านวัสดุมุงหลังคาและการพาความร้อนเข้าสู่ภายในอาคารในกรณีที่อุณหภูมิภายในอาคารต่ำกว่าปริมาณความร้อนที่เข้าสู่อาคารนั้นขึ้นอยู่กับคุณสมบัติของวัสดุมุงหลังคาไม่ว่าจะเป็นความสามารถในการหน่วงเหนี่ยวความร้อนความสามารถในการดูดซึมน้ำและความสามารถในการสะสมความร้อนที่ตั้งตัวบนวัสดุที่มีน้ำหนักเบาและมวลสารสะสมความร้อน (Thermal Mass) น้อยจะมีความสามารถในการกักเก็บปริมาณความร้อนได้น้อยเมื่อคุณสมบัติในการกักกันการถ่ายเทความร้อนให้เป็นไปอย่างช้าในทางตรง

ข้ามวัสดุที่มีมวลสารสะสมความร้อน (Thermal Mass) มากจะมีความสามารถในการกักเก็บปริมาณความร้อนได้มากเมื่อปริมาณความร้อนที่กักเก็บมีมากขึ้น จะเกิดการส่งผ่านความร้อนไปเรื่อยๆ ทำให้ความร้อนที่สะสมไว้ค่อยๆ ส่งผ่านเข้าสู่อาคารในเวลาต่อมา

ปริมาณของการแผ่รังสีความร้อนจากดวงอาทิตย์ขึ้นอยู่กับสภาพของห้องพื้นที่และของดวงอาทิตย์ระดับความสูงของสถานที่ที่ตั้งอาคารจากระดับน้ำทะเลและการแผ่รังสีจากวัสดุหรืออาคาร ข้างเคียงความร้อนที่กระทำกับอาคารจะกระทบกับผิวของวัสดุก่อนการออกแบบใช้วัสดุที่มีค่าการสะท้อนรังสีความร้อนสูงจึงเป็นสิ่งที่คำนึงถึงเป็นอันดับแรกต่อจากนั้นความร้อนจะหล่อผ่านในลักษณะที่วัสดุเกิดความอิ่มตัวและถ่ายความร้อนออกมานะ

ค่าที่เกี่ยวข้องกับการกระทำของความร้อนกับวัสดุคือ

1. การสะท้อนรังสีความร้อน (Reflectivity) เกิดจากคุณสมบัติที่พื้นที่ผิววัสดุสามารถสะท้อนความร้อนออกไปได้เมื่อรังสีกระทบ

2. การดูดความร้อน (Ebsorptivity) เป็นคุณสมบัติที่พื้นผิวของวัสดุที่ดูดความร้อน (ตรงข้ามกับการสะท้อน)

3. การถ่ายความร้อน (Emissivity) เกิดจากคุณสมบัติในเนื้อของวัสดุที่จะแผ่รังสีความร้อนออกจากเนื้อวัสดุหรือ Re-Radiation นั่นเอง

4. การถ่ายเทความร้อน (Transmisivity) คือค่าการผ่านเข้ามายังพื้นผิวที่อ่อนนุ่มมากใน

หากนำมาพิจารณา กับการออกแบบวัสดุมุงหลังคาจะพบว่าลักษณะพื้นผิวที่ส่วนอย่างมากในการช่วยลดปริมาณการหลุดเหลวของความร้อนเนื่องจากว่าพื้นผิวที่กระแทกและมีอุณหภูมิสูงกว่า อุณหภูมิอากาศกระแสนที่พัดผ่านพื้นผิวจะช่วยลดอุณหภูมิลงจากนั้นการออกแบบให้พื้นที่ผิวเพิ่มขึ้นโดยการพับจีบหรือการทำลอนจะช่วยให้อุณหภูมิลดลงได้อีกมากการป้องกันที่พื้นผิวของวัสดุอีกประการหนึ่งกระทำได้โดยการใช้วัสดุที่มีค่าสะท้อนการแผ่รังสีความร้อนได้ดีในขณะเดียวกันต้องมีอัตราการดูดความร้อนได้ดีสม่ำเสมอเนื่องจากว่าการถ่ายเทความร้อนของสิ่งที่อยู่ข้างเคียงประกอบด้วยคลื่นรังสีอินฟราเรดยาว 5-20 μ คุณสมบัติในการสะท้อนของวัตถุจึงขึ้นอยู่กับ “ความแน่นมวล” ของพื้นผิววัสดุและลักษณะการประกอบไม่เลกุลของวัสดุมากกว่าสี (สมสิทธิ์, 2541) สำหรับการคำนวณหาค่า U ของหลังคาใช้กระบวนการการเดียวกับส่วนผนังและพื้น (Stein, Benjamin, Reynolds, John S., 2000)

Givoni (1969) แบ่งวัสดุมุงหลังคาออกเป็น 2 ประเภทหลักคือหลังคาประเภท Heavyweight solid และหลังคาประเภท Lightweight

1. หลังคาประเภท Heavyweight solid ที่ว่าไปเป็นหลังคาแบบเข็นหลังคากอนกรีตเสริมเหล็ก (Flat Slab) มีความสามารถในการสะสมความร้อนสูงการส่งผ่านความร้อนที่ดูดซึมไว้จากพื้นผิวภายในอกหังคานมีผลจากการนำความร้อนผ่านมวลของหลังคากันด้วยปัจจัยหลักของการถ่ายเทความร้อนของหลังคาก็คือสีภายนอกความด้านทานความร้อนและความสามารถในการถ่ายเทความร้อนและการการเพิ่มนวนกันความร้อนแก่หลังคานะ

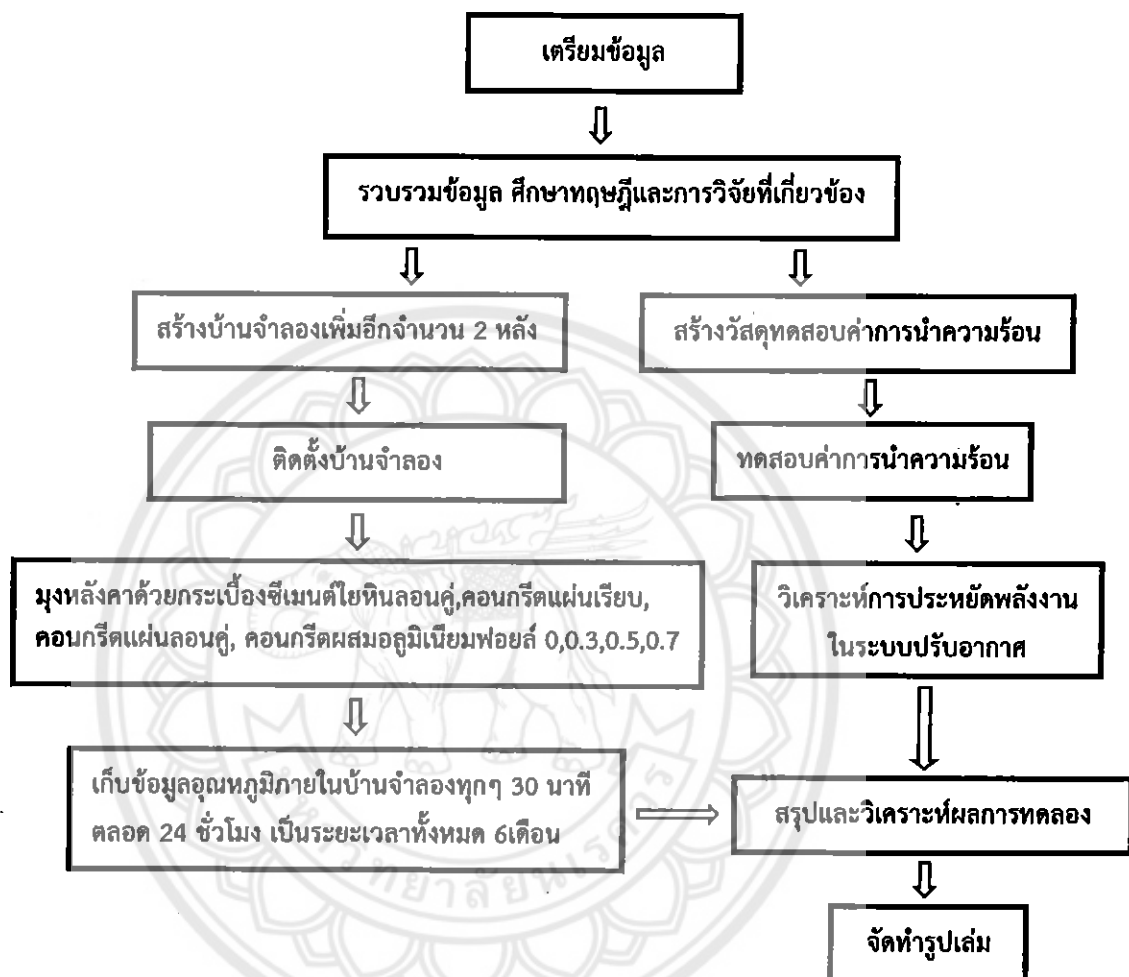
2. หลังคาประเภท Lightweight โดยที่ว่าไปเป็นแผ่นหลังคาภายนอกบนโครงหลังคาวัสดุที่ใช้เป็นแผ่นมุงหลังคาก็แตกต่างกันออกไป เช่น แผ่นกระเบื้องซีเมนต์ แผ่นแอลสเปสทอส แผ่นโลหะ

ที่มา : คู่มือการอนุรักษ์พลังงานในอาคารกรมพัฒนาและส่งเสริมพลังงาน กระทรวงวิทยาศาสตร์เทคโนโลยีและสิ่งแวดล้อม ได้มีการสร้างข้อมูลพื้นฐานสำหรับการออกแบบหลังคาวัสดุหลายประการโดยแบ่งแยกระหว่างอาคารที่มีการปรับอากาศกับไม่มีการปรับอากาศเชิงกล

บทที่ 3

การทดลอง

3.1 วางแผนการดำเนินการทดลอง



รูปที่ 3.1 แผนผังขั้นตอนการปฏิบัติงานและการดำเนินการทดลอง

จากรูปที่ 3.1 แสดงให้เห็นขั้นตอนการปฏิบัติงานและการดำเนินการทดลองเก็บข้อมูล อุณหภูมิกายในบ้านจำลองเพื่อมาวิเคราะห์การประยัดพลังงานในระบบปรับอากาศ และจากการเก็บ รวบรวมข้อมูลมาสรุปและวิเคราะห์ผลการทดลอง

ทำการสร้างบ้านจำลองเพิ่มขึ้นมาอีก 2 หลังจากนั้นนำบ้านจำลองไปติดตั้งบริเวณตลาดฟ้าทึກ วิศวกรรมอุตสาหการทำการทดลองก่อนคอนกรีตทดสอบในแต่ละอัตราส่วนแล้วนำไปหาค่าการนำความร้อนเพื่อนำมาวิเคราะห์การใช้พลังงานในระบบปรับอากาศ และทำการสรุปผลวิเคราะห์ผลจากการทดลอง และจัดทำรูปเล่ม

3.2 อุปกรณ์และวัสดุที่ใช้ในการทดลอง

3.2.1 อุปกรณ์

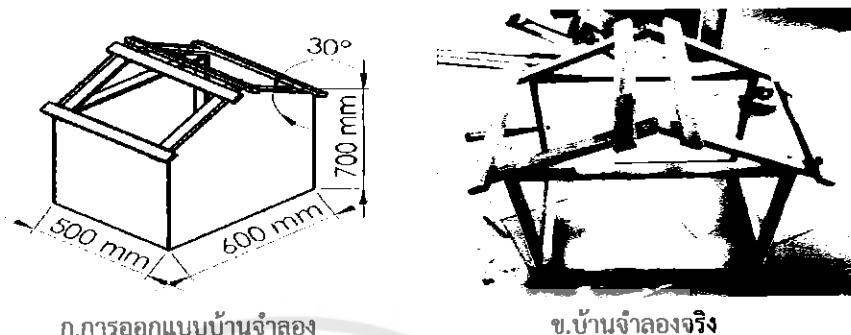
- 3.2.1.1 เครื่องวัดอุณหภูมิรุ่น AP-1701-2
- 3.2.1.2 บอร์ดวัดอุณหภูมิ
- 3.2.1.3 หัววัดอุณหภูมิจำนวน 8 หัว
- 3.2.1.4 คอมพิวเตอร์ประมวลผล
- 3.2.1.5 กล้องถ่ายรูป

3.2.2 วัสดุ

- 3.2.2.1 ปูนซีเมนต์
- 3.2.2.2 กระเบื้อง
- 3.2.2.3 ไฟฟ้าแผ่น
- 3.2.2.4 ภาชนะลิ้นชัก Wurth
- 3.2.2.5 ไม้โครงยางพารา
- 3.2.2.6 พลาสติกลูกฟูก
- 3.2.2.7 กล่องพลาสติกใส่อุปกรณ์วัดอุณหภูมิ
- 3.2.2.8 ห่อ PVC สีดำและข้องอ
- 3.2.2.9 ห่อ PVC $\frac{1}{4}$ นิ้ว
- 3.2.2.10 อิฐแดง
- 3.2.2.11 แลกเกอร์เคลือบเงา
- 3.2.2.12 แปรงขนขาว
- 3.2.2.13 แผ่นอลูมิเนียม
- 3.2.2.14 สายสัญญาณอินเทอร์เน็ต
- 3.2.2.15 วัสดุสำนักงาน

3.3 ขั้นตอนการสร้างบ้านจำลองและวิธีการติดตั้ง

- สร้างบ้านจำลองขนาด $60 \times 50 \times 70$ cm โดยโครงสร้างทำจากไม้และทำการบุผนังด้วยโฟม 1 นิ้วและปิดทับด้วยฟิวเจอร์บอร์ดอีกชั้นจำนวน 2 หลัง จากเดิมที่มีอยู่แล้ว 5 หลัง



ก.การออกแบบบ้านจำลอง

ข.บ้านจำลองจริง



ค.บุผนังด้วยโฟมและปิดทับด้วยฟิวเจอร์บอร์ด

รูปที่ 3.2 ขนาดบ้านจำลอง

- นำสายวัดค่าอุณหภูมิติดบริเวณกลางบ้านจำลองท่าลังไปจากสันหลังคา 40 cm จากนั้นมุงหลังคาบ้านจำลองและใช้การขีลิโคนอุดรอยร้าวบริเวณรอยต่อของหลังคา



ก.การติดตั้งหัววัดอุณหภูมิ

ข.มุงหลังคาและอุดรอยร้าวบริเวณรอยต่อหลังคา

รูปที่ 3.3 การติดตั้งหัววัดอุณหภูมิและอุดรอยร้าวบริเวณรอยต่อหลังคา

3. นำโฟมและฟิวเจอร์บอร์ดอุดบริเวณสันหลังคาและอุดบริเวณรอยต่อระหว่างแผ่นกระเบื้อง กับตัวบ้านด้วยการใช้ลิโคนเพื่อป้องกันอากาศถ่ายเทเข้าสู่ภายในตัวบ้าน



ก.การอุดรอยรั่วกระเบื้องคอนกรีต



ข.การอุดสันกระเบื้องคอนกรีต

รูปที่ 3.4 การอุดรอยรั่วบ้านจำลอง

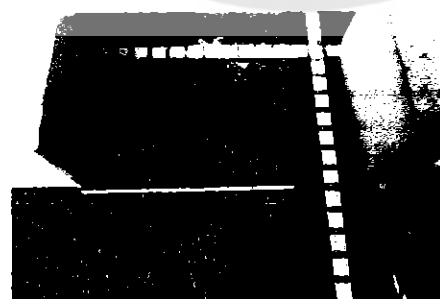
4. นำบ้านจำลองไปติดตั้งและทดสอบบริเวณคาดฟ้า ตึก IE คณะวิศวกรรมศาสตร์ มหาวิทยาลัยนเรศวร ระยะห่างระหว่างบ้านจำลองแต่ละหลัง 80 m และหลังคาบ้านจำลองหันไปทางทิศใต้



ก.ลักษณะการตั้งบ้านจำลอง



ข.การติดตั้งหัวตัดอุณหภูมิสิ่งแวดล้อม



ข.ระยะห่างระหว่างบ้านจำลอง



ก.ทิศทางการหันของหลังคาไปทางทิศใต้

รูปที่ 3.5 การติดตั้งบ้านจำลอง

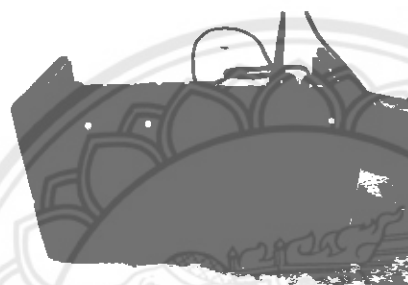
5. ต่อสายวัดอุณหภูมิกับเครื่องวัดอุณหภูมิ AP-1701-2 และเชื่อมต่อเครื่องวัดอุณหภูมิ AP-1701-2 เข้ากับเครื่องคอมพิวเตอร์



ก.ลักษณะการเดินสายวัดอุณหภูมิ



ข.การต่อสายวัดอุณหภูมิ



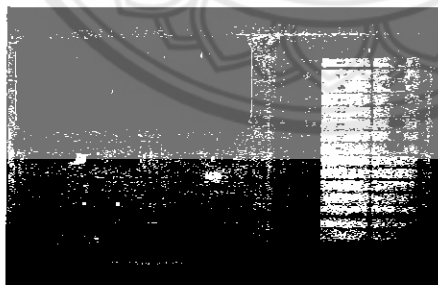
ค. เครื่องวัดอุณหภูมิ AP-1701-2



ง.ต่อเครื่อง AP-1701-2 เข้ากับเครื่องคอมพิวเตอร์

รูปที่ 3.6 การต่อสายวัดอุณหภูมิเข้ากับเครื่อง AP-1701-2

6. ทำการวัดค่าอุณหภูมิภายในบ้านทุกๆ 30 นาที ตลอด 24 ชั่วโมง เป็นเวลา 5 เดือน ตั้งแต่เดือน กันยายน 2554 ถึงมกราคม 2555



ก.ค่าอุณหภูมิภายในบ้านจำลองที่วัดได้



ข.ข้อมูลที่บันทึกทุกๆ 30 นาที

รูปที่ 3.7 การเก็บข้อมูล

7. นำค่าที่ได้มามาวิเคราะห์ผล

3.4 กระเบื้องที่ใช้ทำการทดลอง



ก.กระเบื้องคอนกรีตแผ่นเรียบ



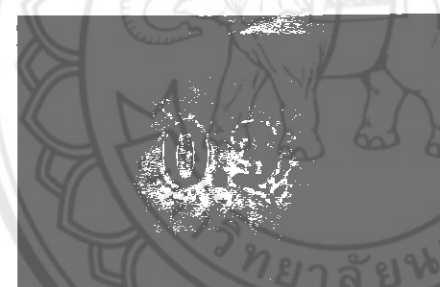
ข.กระเบื้องคอนกรีตแผ่นลอน



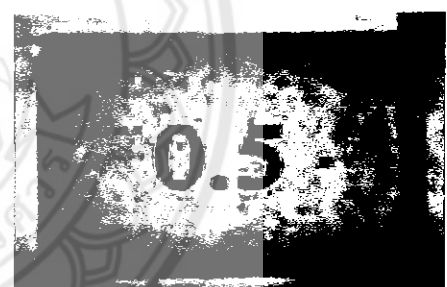
ค.กระเบื้องคอนกรีตไนท์ลอนครุ



ง.กระเบื้องคอนกรีตผสมอลูมิเนียมฟอยล์ 0%



จ.กระเบื้องคอนกรีตผสมอลูมิเนียมฟอยล์ 0.3%



ฉ.กระเบื้องคอนกรีตผสมอลูมิเนียมฟอยล์ 0.5%



ช.กระเบื้องคอนกรีตผสมอลูมิเนียมฟอยล์ 0.7%



ช.วัดอุณหภูมิสิ่งแวดล้อม

รูปที่ 3.8 กระเบื้องที่ใช้ทดลอง

3.5 วิธีการทำก้อนคอนกรีตทดสอบค่าการนำความร้อน

สร้างก้อนทดสอบค่าการนำความร้อนตามอัตราส่วนผสมที่กำหนด

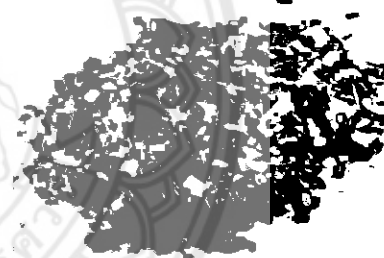
ตารางที่ 3.1 อัตราส่วนผสมที่กำหนด

อัตราส่วนที่	ปูนซีเมนต์	ทราย	น้ำ	อลูมิเนียมฟอยล์
1	1	1	0.5	0
2	1	1	0.5	0.3
3	1	1	0.5	0.5
4	1	1	0.5	0.7

- นำถุงขยะพลาสติกภายในเคลือบด้วยอลูมิเนียมล้างให้สะอาด แล้วตัดให้ละเอียด



ก.ถุงขยะพลาสติก



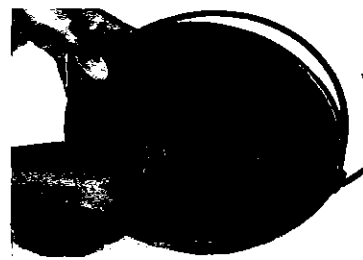
ข.ถุงขยะพลาสติกตัดละเอียด

รูปที่ 3.9 พลาสติกเคลือบอลูมิเนียม

- นำถุงขยะพลาสติกเคลือบอลูมิเนียมที่ตัดละเอียดนำมาผสานเข้ากับปูนซีเมนต์ ทราย น้ำในอัตราส่วนที่กำหนด



ก.ส่วนผสม



ข.ผสานอลูมิเนียมฟอยล์



ค.ส่วนผสมที่ผสานเสร็จ

รูปที่ 3.10 ขั้นตอนการเตรียมส่วนผสมของอิฐซีเมนต์ผสานอลูมิเนียมฟอยล์

3. เตรียมแบบหล่อก้อนทดสอบ และหาผิวด้านในด้วยน้ำมันเครื่องเพื่อกันการติดของปูนซีเมนต์กับแบบหล่อหลังจากนั้นเทปูนที่ผสมดุงขยายพลาสติกเคลือบอยู่ในเนยымแต่ละอัตราส่วนลงในแบบหล่อ



รูปที่ 3.11 การหล่อ ก้อนทดสอบ

4. หลังจากที่หล่อเสร็จเรียบร้อยแล้ว ให้เก็บแบบหล่อไว้ในอุณหภูมิห้อง ทิ้งแบบหล่อไว้ 24 ชั่วโมง จึงถอดแบบออก



รูปที่ 3.12 ก้อนทดสอบที่ถอดออกจากแบบหล่อ

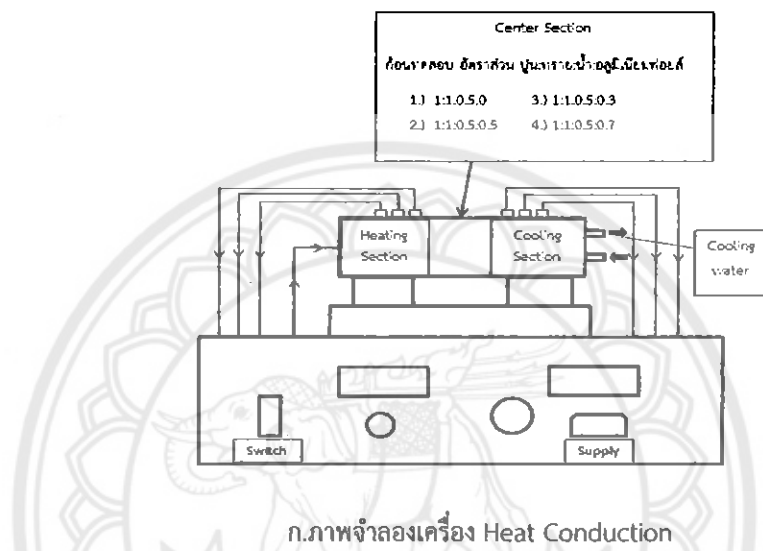
5. นำก้อนทดสอบที่แห้งแล้วมีสภาพสมบูรณ์มาทดสอบค่าการนำความร้อน

3.6 วิธีการทดสอบค่าการนำความร้อน

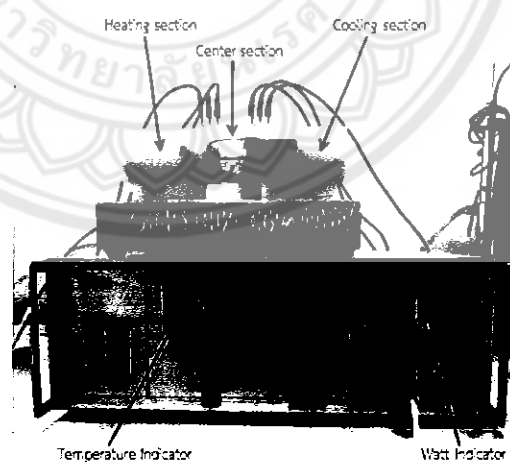
เมื่อสร้างก้อนทดสอบเสร็จเรียบร้อยแล้ว เลือกก้อนที่แห้งและมีสภาพสมบูรณ์นำไปทดสอบค่าการนำความร้อน

การติดตั้งอุปกรณ์การทดสอบและขั้นตอนการทดสอบ

1. ติดตั้งอุปกรณ์ทดสอบตามรูปที่ 3.13 โดยใช้ชุดทดสอบการนำความร้อนตามแนวแกนและจะต้องแน่ใจว่าสวิตซ์ไฟอยู่ในตำแหน่งที่ปิดอยู่



ก.ภาพจำลองเครื่อง Heat Conduction



ข. เครื่อง Heat Conduction Unit

รูปที่ 3.13 การติดตั้งชุดทดสอบการนำความร้อนตามแนวแกน

2. เปิดชุดน้ำหล่อเย็น ก่อนที่จะเปิดเครื่องกำเนิดความร้อน
3. เปิดสวิทซ์จ่ายไฟของเครื่องกำเนิดความร้อน
4. ค่อยๆปรับค่าเครื่องกำเนิดความร้อนไปในทิศทางตามเข็มนาฬิกา เพื่อเพิ่มพลังงานไฟฟ้าจนกระหึ่มมีค่าเท่ากับ 10 และ 20 วัตต์ จากนั้นให้ปล่อยทิ้งไว้เป็นเวลา 20 นาทีเพื่อรอให้ระบบความร้อนเข้าสู่สภาวะคงที่ เมื่อระบบความร้อนเข้าสู่สภาวะที่ค่าต่างๆ คงที่แล้ว จึงบันทึกค่าของอุณหภูมิที่อ่านได้จากตำแหน่งต่างๆ ของตัววัดอุณหภูมิ และบันทึกค่าของพลังงานไฟฟ้าที่ไหลผ่านวัตถุที่ใช้ในการทดสอบที่อ่านได้จากวัตต์มิเตอร์
5. เปลี่ยนค่าพลังงานไฟฟ้าที่ไหลผ่านวัตถุที่ใช้ทดสอบเป็นค่าใหม่ แล้วทำการบันทึกอุณหภูมิที่อ่านได้จากตำแหน่งต่างๆ ของตัววัดอุณหภูมิและพลังงานไฟฟ้าจากวัตต์มิเตอร์เมื่อสภาวะต่างๆ คงที่แล้ว

ตารางที่ 3.2 ข้อมูลดิบตัวอย่างที่ได้จากการทดลองคอนกรีตผสมถุงขยายพลาสติกเคลือบอลูมิเนียม 0 โดยปริมาตร ก้อนที่ 1

No.	Heat Power (w)	Temperature					
		T ₁	T ₂	T ₃	T ₄	T ₅	T ₆
1	10	36.9	36.7	35.5	15.1	13.7	13.1
2	15	66.5	62.9	62.6	14.8	14.6	12.4
3	20	96.1	89.3	87.2	23.1	22.8	22.6
4	25	107.8	107.4	96.7	18.3	14.6	12.4
5	30	117.1	115.2	107.3	18.8	13.7	13.4

ตารางที่ 3.3 ข้อมูลดิบตัวอย่างที่ได้จากการทดสอบคอนกรีตผสมถุงขยายพลาสติกเคลือบอลูมิเนียม 0 โดยปริมาตร ก้อนที่ 2

No.	Heat Power (w)	Temperature					
		T ₁	T ₂	T ₃	T ₄	T ₅	T ₆
1	10	39.6	37.1	37.1	13.6	11.1	10.5
2	15	74.3	69.7	67.5	19.1	18.2	17.5
3	20	97.2	96.5	90.1	16.1	16	13.3
4	25	105.8	105.5	95.5	18.3	18.1	16.1
5	30	113.1	113.1	103.4	20.2	19.8	17.2

6. เปลี่ยนชั้นทดสอบชั้นใหม่จนครบทุกก้อน และทำการวิธีการข้างต้น

3.7 ทิศทางของแสงอาทิตย์ตลอดทั้งวัน (เดือนธันวาคม)



รูปที่ 3.14 ทิศทางแสงแดด เวลา 6.00 น.



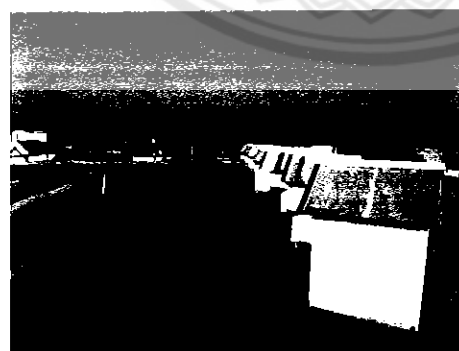
รูปที่ 3.15 ทิศทางแสงแดด เวลา 6.30 น.



รูปที่ 3.16 ทิศทางแสงแดด เวลา 7.00 น.



รูปที่ 3.17 ทิศทางแสงแดด เวลา 7.30 น.



รูปที่ 3.18 ทิศทางแสงแดด เวลา 8.00 น.



รูปที่ 3.19 ทิศทางแสงแดด เวลา 8.30 น.



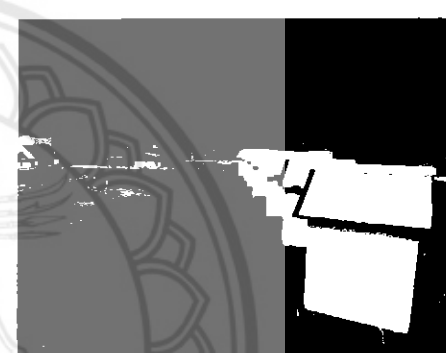
รูปที่ 3.20 ทิศทางแสงแดด เวลา 9.00 น.



รูปที่ 3.21 ทิศทางแสงแดด เวลา 9.30 น.



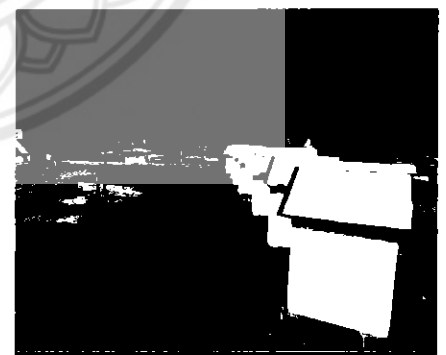
รูปที่ 3.22 ทิศทางแสงแดด เวลา 10.00 น.



รูปที่ 3.23 ทิศทางแสงแดด เวลา 10.30 น.



รูปที่ 3.24 ทิศทางแสงแดด เวลา 11.00 น.



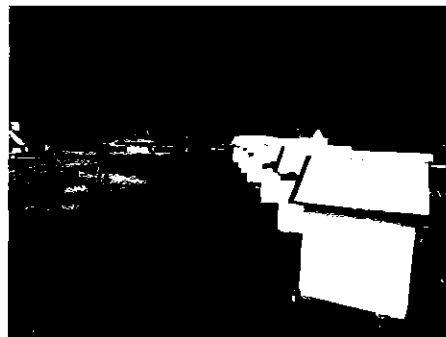
รูปที่ 3.25 ทิศทางแสงแดด เวลา 11.30 น.

เจกุกุกุกุก

กส

๘๕๔๑๙

๒๖๖



รูปที่ 3.26 ทิศทางแสงแดด เวลา 12.00 น.



รูปที่ 3.27 ทิศทางแสงแดด เวลา 12.00 น.



รูปที่ 3.28 ทิศทางแสงแดด เวลา 12.30 น.



รูปที่ 3.29 ทิศทางแสงแดด เวลา 13.00 น.



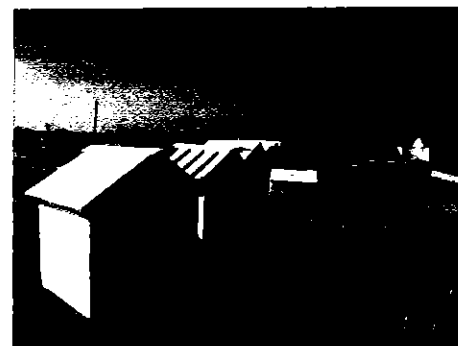
รูปที่ 3.30 ทิศทางแสงแดด เวลา 13.30 น.



รูปที่ 3.31 ทิศทางแสงแดด เวลา 14.00 น.



รูปที่ 3.32 ทิศทางแสงแดด เวลา 14.30 น.



รูปที่ 3.33 ทิศทางแสงแดด เวลา 15.00 น.



รูปที่ 3.34 ทิศทางแสงแดด เวลา 15.30 น.



รูปที่ 3.35 ทิศทางแสงแดด เวลา 16.00 น.



รูปที่ 3.36 ทิศทางแสงแดด เวลา 16.30 น.



รูปที่ 3.37 ทิศทางแสงแดด เวลา 17.00 น.



รูปที่ 3.38 ทิศทางแสงแดด เวลา 17.30 น.



รูปที่ 3.39 ทิศทางแสงแดด เวลา 18.00 น.



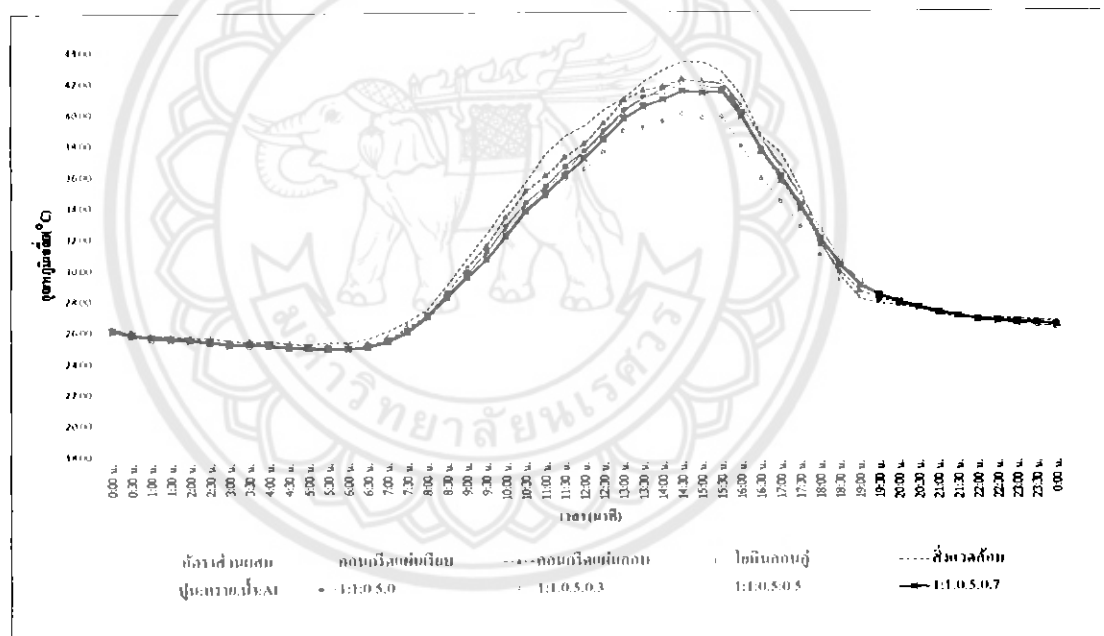
บทที่ 4

ผลการทดสอบและวิเคราะห์

4.1 ผลการทดสอบการวัดอุณหภูมิภายในบ้านจำลอง

จากการทดลองเพื่อศึกษาการถ่ายเทความร้อนของวัสดุมุงหลังคาทั้ง 7 ชนิด ได้แก่ กระเบื้องหลังคาคอนกรีตแผ่นลอน แผ่นลอน กระเบื้องหลังคาซีเมนต์ไทยทินลอนคู่ กระเบื้องหลังคาคอนกรีตผสมถุงขยะพลาสติกเคลือบอุดมเนียมโดยปริมาตรในอัตราส่วน ปูน:ทราย:น้ำ 1:1:0.5 ซึ่งผสมถุงขยะพลาสติกเคลือบอุดมเนียม 0, 0.3, 0.5, 0.7 โดยปริมาตรตามลำดับ ทำการทดสอบวัดค่าอุณหภูมิอากาศในบ้านจำลองเป็นเวลา 6 เดือนพบว่าค่าอุณหภูมิของอาคารที่ได้แสดงดังนี้

4.1.1 ผลการวัดอุณหภูมิของอากาศภายในบ้านจำลองในสภาวะแวดล้อมจริงเดือนกันยายน 2554

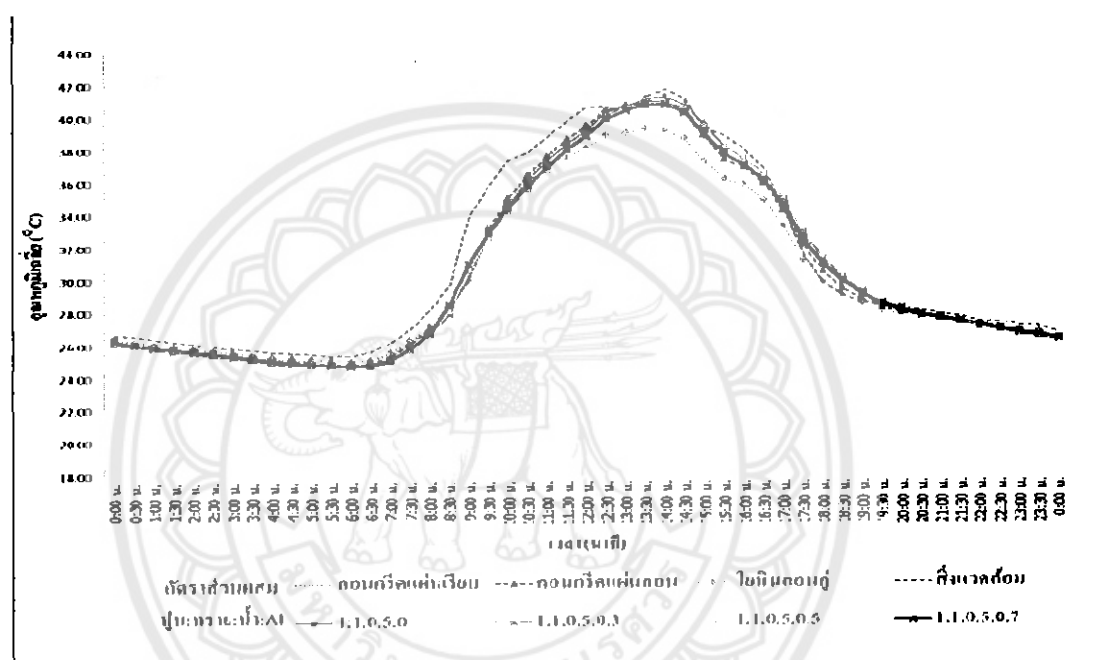


กราฟที่ 4.1 อุณหภูมิเฉลี่ยของอากาศภายในบ้านจำลองในสภาวะแวดล้อมจริงเดือนกันยายน 2554

จากการที่ 4.1 การวัดอุณหภูมิอากาศในบ้านจำลองในสภาวะแวดล้อมจริงเดือนกันยายน พบร้าเวลาประมาณ 0.00 น.-6.00 น.อุณหภูมิเฉลี่ยภายในบ้านจำลองของกระเบื้องคอนกรีตพอสมถุ่ง ขณะพลาสติกเคลือบอุลูมีเนียม 0.3 และ 0.5 มีอุณหภูมิเฉลี่ยต่ำที่สุดและอุณหภูมิต่ำกว่ากระเบื้อง ทั่วไป หลังจากนั้นเวลาประมาณ 6.00 น.-14.30 น.อุณหภูมิของอากาศภายในบ้านจำลองแต่ละหลัง เพิ่มขึ้น เพราะว่ามีการสะสมความร้อน ซึ่งอุณหภูมิเฉลี่ยภายในบ้านจำลองของกระเบื้องชิเม็นต์ใหญ่ที่สุด ลอนคู่จะต่ำที่สุดและคอนกรีตแผ่นลอนมีอุณหภูมิเฉลี่ยภายในบ้านสูงที่สุด ส่วนคอนกรีตพอสมถุ่งขณะพลาสติกเคลือบอุลูมีเนียม 0.7 มีอุณหภูมิเฉลี่ยภายในบ้านจำลองต่ำที่สุด เพราะว่ามีการป้องกันความ

ร้อนได้ดีกว่า หลังจากนั้นเวลาประมาณ 14.30 น.-19.30 น. อุณหภูมิเฉลี่ยภายในบ้านจำลองลดลง เพราะว่ามีการคายความร้อนของกระเบื้องหลังคาซึ่งกระเบื้องซีเมนต์ที่หินลอนคู่มีการคายความร้อนได้ดีที่สุด ส่วนกระเบื้องหลังคาดผสมถุงขยายพลาสติกเคลือบอลูมิเนียม 0.7 มีการคายความร้อนได้ดีที่สุดเมื่อเปรียบเทียบกับกระเบื้องชนิดเดียวกัน หลังจากนั้นเวลาประมาณ 19.00 น.-0.00 น. อุณหภูมิเฉลี่ยภายในบ้านจำลองมีค่าใกล้เคียงกันมาก เพราะว่าช่วงนี้เป็นช่วงที่หลังคาไม่ได้รับแสงอาทิตย์

4.1.2 ผลการวัดอุณหภูมิของอากาศภายในบ้านจำลองในสภาวะแวดล้อมจริงเดือน
ตุลาคม 2554

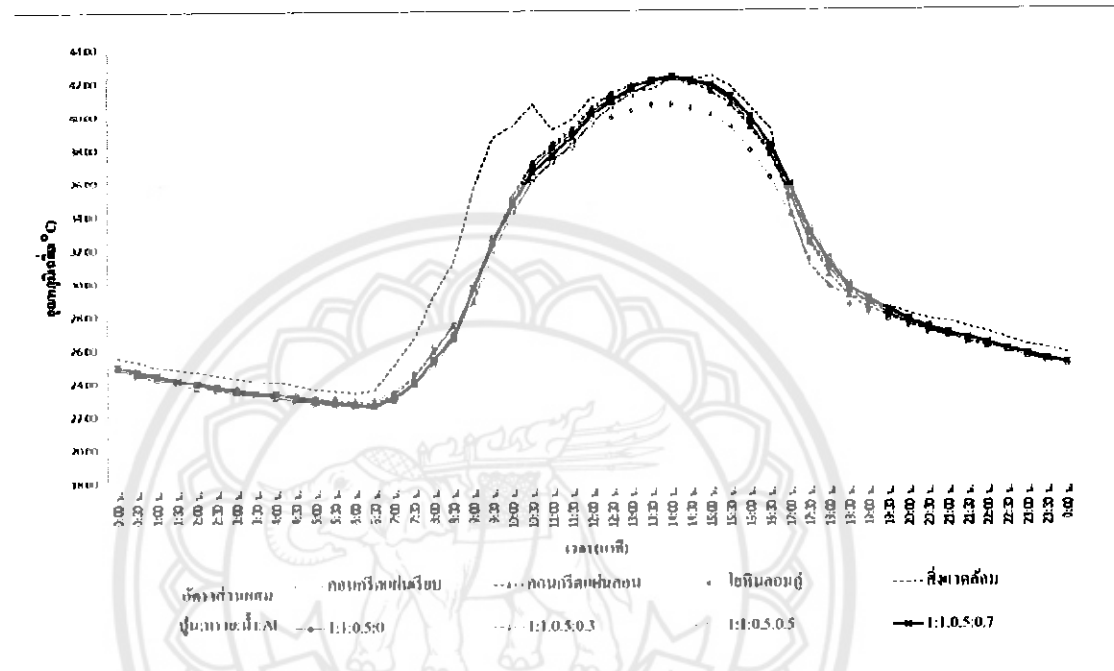


กราฟที่ 4.2 อัตราหักภาษีของอากรภาษีในบ้านจำลองในสภาวะแวดล้อมจริงเดือนตุลาคม 2554

จากการภาพที่ 4.2 การวัดอุณหภูมิอากาศในบ้านจำลองในสภาวะแวดล้อมจริงเดือนตุลาคม 2554 พบว่าช่วงเวลาประมาณ 0.00n.-6.30n. อุณหภูมิเฉลี่ยภายในบ้านจำลองแต่ละหลังมีอุณหภูมิใกล้เคียงกัน เพราะว่าในช่วงกลางคืนไม่มีการรับแสงแดด หลังจากนั้นเวลาประมาณ 6.30 n.-11.00n. อุณหภูมิเฉลี่ยภายในบ้านจำลองของกระเบื้องหลังคาแต่ละหลังสูงขึ้นและใกล้เคียงกัน เพราะว่ามีการสะสมความร้อนไว้ของกระเบื้องหลังคา หลังจากนั้นเวลาประมาณ 11.00 n.-14.00 n. อุณหภูมิเฉลี่ยภายในบ้านจำลองของกระเบื้องหลังคาซีเมนต์ไยหินลอนคู่มีอุณหภูมิเฉลี่ยต่ำที่สุด เพราะว่ามีการต้านทานความร้อนได้ดีกว่า ส่วนกระเบื้องหลังคาคอนกรีตผสมถุงขยะพลาสติกเคลือบอลูมิเนียม 0.7 มีอุณหภูมิเฉลี่ยภายในบ้านจำลองต่ำกว่ากระเบื้องประเภทเดียวกันและมีอุณหภูมิเฉลี่ยภายในบ้านจำลองเฉลี่ยต่ำกว่ากระเบื้องกลังคาดคอนกรีตแผ่นเรียบและคอนกรีตแผ่นลอน หลังจากนั้นเวลาประมาณ 14.00 n.-19.30 n. อุณหภูมิเฉลี่ยภายในบ้านจำลองแต่หลังมีอุณหภูมิลดลง เพราะว่ากระเบื้องเริ่มมีการหายความร้อน ซึ่งกระเบื้องหลังคาซีเมนต์ไยหินลอนคู่มีอุณหภูมิเฉลี่ยภายในบ้านจำลองต่ำที่สุด ส่วนกระเบื้องหลังคาคอนกรีตผสมถุงขยะพลาสติกเคลือบอลูมิเนียม 0.5 มีการหาย

ความความร้อนที่ที่สุดเมื่อเปรียบเทียบกระเบื้องหลังคาผสมถุนขยะพลาสติกเคลือบอลูมิเนียม หลังจากเวลาประมาณ 19.30 น.-0.00 น.อุณหภูมิเฉลี่ยภายในบ้านจำลองแต่ละหลังลดลงอย่างช้าๆ และใกล้เคียงกันเนื่องจากเป็นช่วงกลางคืนซึ่งหลังคามีไดร์รับแสงแดดดังแสดงในกราฟที่ 4.2

4.1.3 ผลการวัดอุณหภูมิของอากาศภายในบ้านจำลองในสภาวะแวดล้อมจริงเดือน พฤศจิกายน 2554

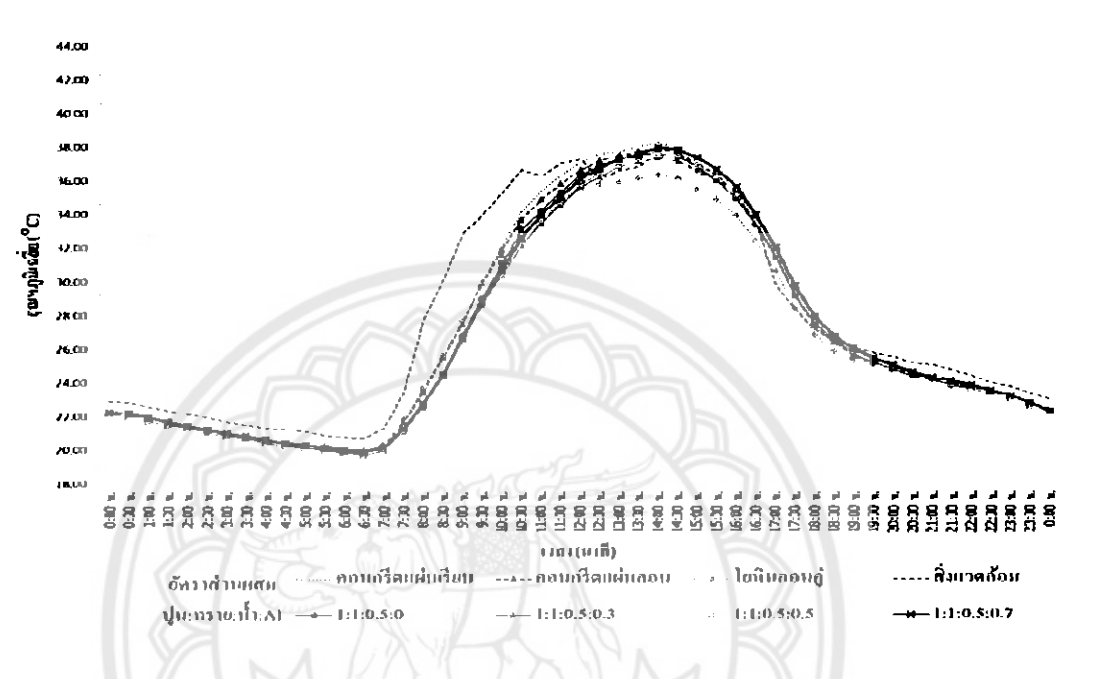


กราฟที่ 4.3 อุณหภูมิเฉลี่ยของอากาศภายในบ้านจำลองในสภาวะแวดล้อมจริงเดือนพฤษจิกายน 2554

จากการที่ 4.3 การวัดอุณหภูมิอากาศในบ้านจำลองในสภาวะแวดล้อมจริงเดือน พฤศจิกายน 2554 ในช่วงเวลาประมาณ 0.00n.-6.30n. อุณหภูมิเฉลี่ยภายในบ้านจำลองของ กระเบื้องคอนกรีตผสมถุนขยะพลาสติกเคลือบอลูมิเนียม 0.5 และ 0.3 มีอุณหภูมิเฉลี่ยต่ำที่สุด หลังจากนั้นเวลาประมาณ 6.00 n.-12.00n. อุณหภูมิเฉลี่ยภายในบ้านจำลองของกระเบื้องหลังคานั้นจะเพิ่มขึ้นและใกล้เคียงกัน เพราะว่ามีการสะสมความร้อนไว้ของกระเบื้องหลังคานี้อุณหภูมิเฉลี่ย ภายในบ้านจำลองของกระเบื้องคอนกรีตผสมถุนขยะพลาสติกเคลือบอลูมิเนียม 0.3 มีอุณหภูมิเฉลี่ย ต่ำที่สุด หลังจากนั้นเวลาประมาณ 12.00 n.-14.00 n. อุณหภูมิเฉลี่ยภายในบ้านจำลองของหลังคานี้ เมนติไทรินลอนคุ์มีอุณหภูมิเฉลี่ยต่ำสุด เพราะว่ามีการต้านทานความร้อนได้ดี ส่วนกระเบื้องหลังคากอนกรีตแผ่นลอนมีอุณหภูมิสูงที่สุด หลังจากนั้นเวลาประมาณ 14.00 n.-20.00 n. อุณหภูมิของอากาศภายในบ้านจำลองลดลงอย่างรวดเร็ว เพราะมีการหายความร้อนซึ่งกระเบื้องหลังคานี้ เมนติไทรินลอนคุ์มีการหายความร้อนได้ดีที่สุดและอุณหภูมิเฉลี่ยต่ำสุด รองลงมาคือคอนกรีตแผ่นลอน และ กอนกรีตผสมถุนขยะพลาสติกเคลือบอลูมิเนียม 0 หลังจากเวลาประมาณ 20.00 n.- 0.00 n. อุณหภูมิ

เฉลี่ยภายในบ้านจำลองแต่ละหลังลดลง และใกล้เคียงกันเนื่องจากเป็นช่วงกลางคืนซึ่งเป็นช่วงที่หลังคาไม่ได้รับแสงแดดดังแสดงในกราฟที่ 4.3

4.1.4 ผลการวัดอุณหภูมิของอากาศภายในบ้านจำลองในสภาวะแวดล้อมจริงเดือนธันวาคม 2554

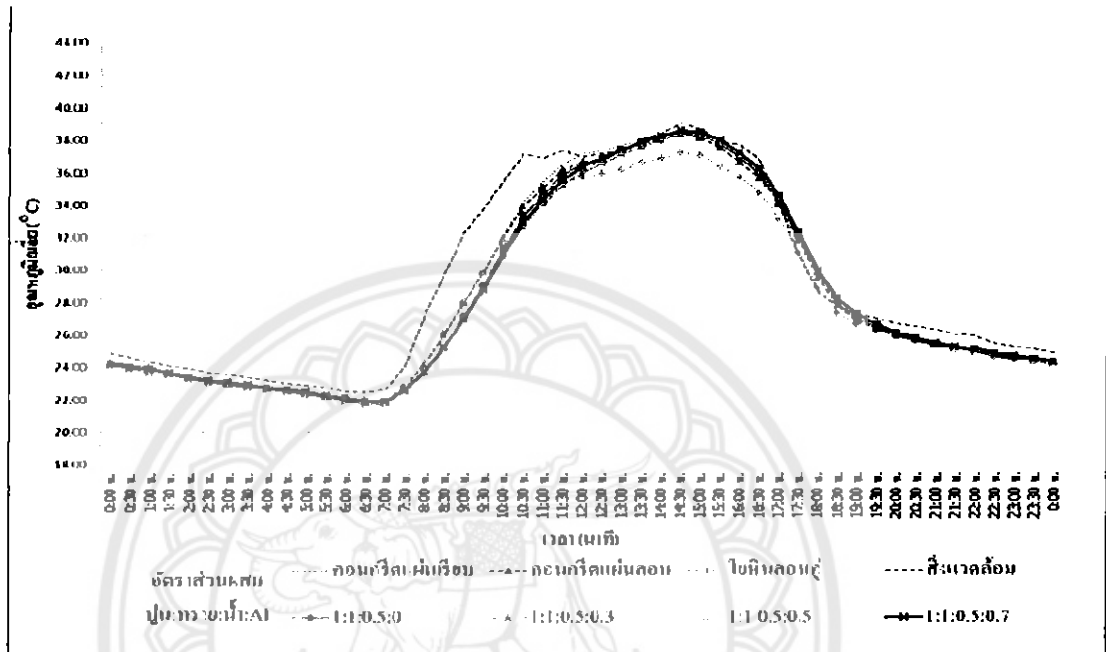


กราฟที่ 4.4 อุณหภูมิเฉลี่ยของอากาศภายในบ้านจำลองในสภาวะแวดล้อมจริงเดือนธันวาคม 2554

จากราฟที่ 4.4 แสดงอุณหภูมิเฉลี่ยของอากาศภายในบ้านจำลองในสภาวะแวดล้อมจริงเดือนธันวาคม 2554 ในช่วงเวลาประมาณ 0.00n.-7.00n. อุณหภูมิเฉลี่ยของอากาศภายในบ้านจำลองแต่ละหลังมีอุณหภูมิลดลงและใกล้เคียงกัน เพราะว่าในช่วงกลางคืนไม่มีการรับแสงแดดดังที่ระบุไว้ในกราฟ ค่อนกรีตผสมถุงขยะพลาสติกเคลือบอลูมิเนียม 0 มีอุณหภูมิเฉลี่ยต่ำที่สุด หลังจากนั้นเวลาประมาณ 7.00 n.-14.00n. อุณหภูมิเฉลี่ยภายในบ้านจำลองของกระเบื้องหลังคาแต่ละหลังสูงขึ้น เพราะว่ามีการสะสมความร้อนไว้ของกระเบื้องหลังคาส่างผลให้อุณหภูมิของหลังคาสูงขึ้นซึ่งอุณหภูมิเฉลี่ยภายในบ้านจำลองที่มุ่งด้วยกระเบื้องไยทินมีอุณหภูมิสูงสุด รองลงมาคือค่อนกรีตแผ่นเรียบและค่อนกรีตแผ่นลอน ส่วนอุณหภูมิภายในบ้านจำลองต่ำที่สุด หลังจากนั้นเวลาประมาณ 14.00 n.-19.30 n. อุณหภูมิเฉลี่ยภายในบ้านจำลองที่มุ่งด้วยกระเบื้องหลังคาแต่ละชนิดมีอุณหภูมิลดลง เพราะว่ากระเบื้องเริ่มมีการขยายความร้อน ซึ่งบ้านจำลองที่มุ่งด้วยกระเบื้องหลังคาซึ่มนต์ไยทินлонคู่มีอุณหภูมิเฉลี่ยภายในบ้านจำลองต่ำที่สุด และอุณหภูมิเฉลี่ยภายในบ้านจำลองของกระเบื้องหลังคาค่อนกรีตผสมถุงขยะพลาสติกเคลือบอลูมิเนียม 0.3 มีอุณหภูมิเฉลี่ยภายในบ้านจำลองต่ำที่สุด หลังจากนั้นเวลาประมาณ 19.30 n.-0.00 n. อุณหภูมิเฉลี่ยภายในบ้านจำลองที่มุ่งด้วยกระเบื้องหลังคาแต่ละชนิดมีอุณหภูมิลดลง เพราะว่ากระเบื้องเริ่มมีการขยายความร้อน ซึ่งบ้านจำลองที่มุ่งด้วยกระเบื้องหลังคาซึ่มนต์ไยทินلونคู่มีอุณหภูมิเฉลี่ยภายในบ้านจำลองต่ำที่สุด และอุณหภูมิเฉลี่ยภายในบ้านจำลองของกระเบื้องหลังคาค่อนกรีตผสมถุงขยะพลาสติกเคลือบอลูมิเนียม 0.7 มีอุณหภูมิเฉลี่ยสูงที่สุด หลังจากเวลาประมาณ 19.30 n.-0.00 n.

อุณหภูมิเฉลี่ยภายในบ้านจำลองแต่ละหลังมีค่าใกล้เคียงกัน เพราะว่าเป็นช่วงกลางคืนซึ่งหลังคามาได้รับแสงแดด

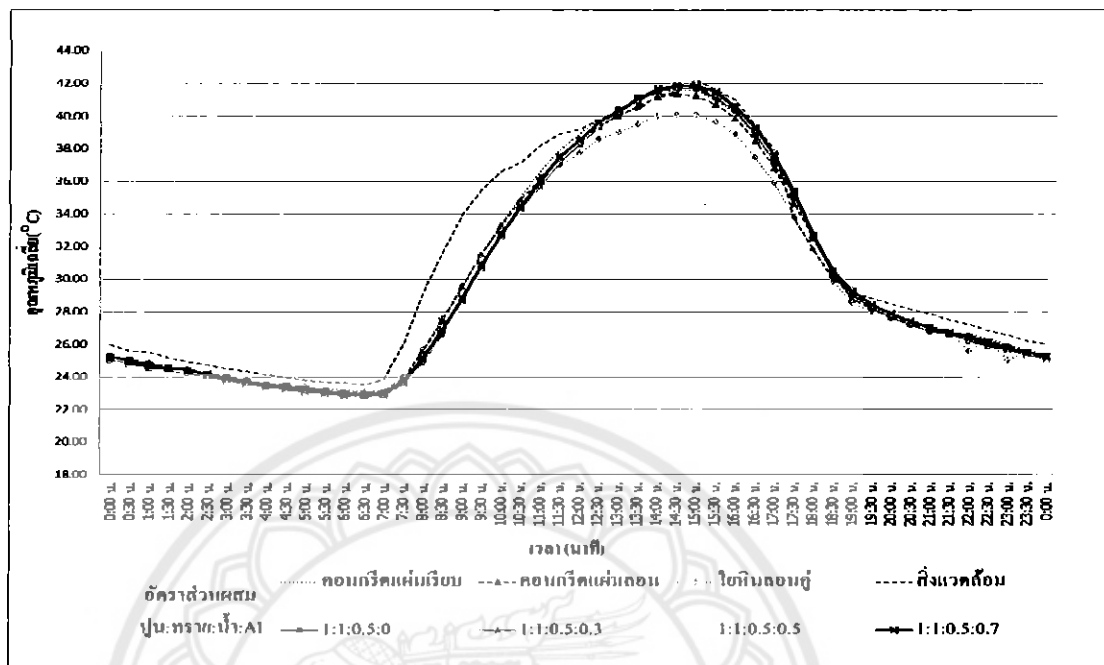
4.1.5 ผลการวัดอุณหภูมิของอากาศภายในบ้านจำลองในสภาวะแวดล้อมจริงเดือนมกราคม 2555



กราฟที่ 4.5 อุณหภูมิเฉลี่ยของอากาศภายในบ้านจำลองในสภาวะแวดล้อมจริงเดือนมกราคม 2555

จากราฟที่ 4.5 ในเดือนมกราคม 2555 การวัดอุณหภูมิอากาศในสภาวะแวดล้อมจริงพบว่า ในช่วงเวลาประมาณ 0.00n.-7.00n. อุณหภูมิเฉลี่ยของอากาศภายในบ้านจำลองของระเบื้อง ค่อนกรีตผสมถุงขยะพลาสติกเคลือบอลูมิเนียม 0.5 มีอุณหภูมิเฉลี่ยต่ำที่สุด หลังจากนั้นเวลาประมาณ 7.00 n.-11.30n. อุณหภูมิเฉลี่ยภายในบ้านจำลองที่มุ่งด้วยกระเบื้องหลังคาซีเมนต์ไนท์ลอนคู่มี อุณหภูมิเฉลี่ยสูงที่สุด เพราะว่ามีการสะสมความร้อนไว้ของกระเบื้องหลังคาส่างผลให้อุณหภูมิของ หลังคาสูงขึ้น รองลงมาคือค่อนกรีตแผ่นเรียบและค่อนกรีตแผ่นลอน ส่วนอุณหภูมิภายในบ้านจำลองที่ มุ่งด้วยกระเบื้องค่อนกรีตผสมถุงขยะพลาสติกเคลือบอลูมิเนียม 0.3 มีอุณหภูมิเฉลี่ยภายในบ้าน จำลองต่ำที่สุด เพราะว่ามีการป้องกันความร้อนได้ดีหลังจากนั้นเวลาประมาณ 11.00n.-14.30n. เป็น ช่วงเวลาที่อุณหภูมิภายในบ้านจำลองสูงที่สุดซึ่งกระเบื้องหลังคาซีเมนต์ไนท์ลอนคู่มีอุณหภูมิภายใน บ้านจำลองต่ำที่สุดหลังจากนั้นเวลาประมาณ 14.30 n.-19.30 n. อุณหภูมิเฉลี่ยภายในบ้านจำลองแต่ ละหลังลดลง เพราะว่ามีการขยายความร้อนออกของแผ่นกระเบื้อง ซึ่งอุณหภูมิเฉลี่ยภายในบ้าน จำลองที่มุ่งด้วยกระเบื้องหลังคาซีเมนต์ไนท์ลอนคู่มีอุณหภูมิต่ำที่สุดและบ้านจำลองที่มุ่งด้วย กระเบื้องหลังคาค่อนกรีตผสมถุงขยะพลาสติกเคลือบอลูมิเนียม 0.5 มีอุณหภูมิเฉลี่ยภายในบ้าน จำลองสูงที่สุดหลังจากเวลาประมาณ 19.30 n.-0.00 n. อุณหภูมิเฉลี่ยภายในบ้านจำลองแต่ละหลังมี ค่าใกล้เคียงกัน เพราะว่าเป็นช่วงกลางคืนซึ่งหลังคามาได้รับแสงแดดตั้งแต่ในกราฟที่ 4.5

4.1.6 ผลการวัดอุณหภูมิของอากาศภายในบ้านจำลองในสภาวะแวดล้อมจริงเดือนกุมภาพันธ์ 2555

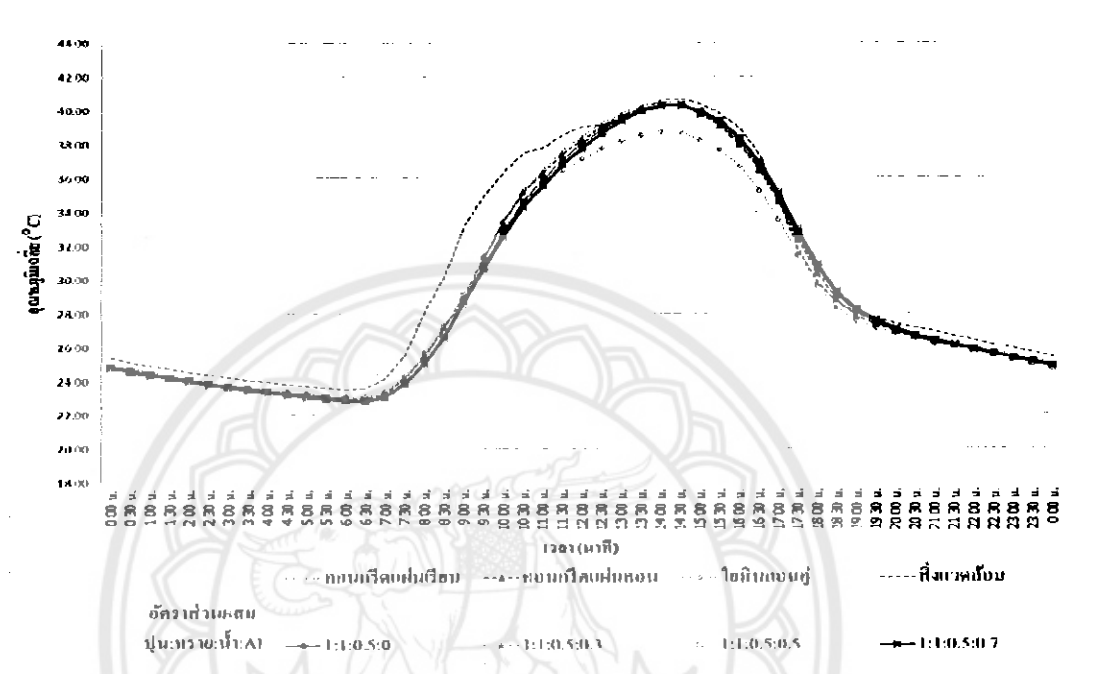


กราฟที่ 4.6 อุณหภูมิเฉลี่ยของอากาศภายในบ้านจำลองในสภาวะแวดล้อมจริงเดือนกุมภาพันธ์ 2555

จากราฟที่ 4.6 ในช่วงเวลาประมาณ 0.00น.-7.00น.อุณหภูมิเฉลี่ยของอากาศภายในบ้านจำลองในสภาวะแวดล้อมจริงเดือนกุมภาพันธ์ 2555 ดังแสดงในรูปที่ 4.6 กระเบื้องคอนกรีตผสมถุงขยายพลาสติกเคลือบอลูมิเนียม 0.3 มีอุณหภูมิเฉลี่ยต่ำที่สุด หลังจากนั้นเวลาประมาณ 7.00 น.-11.30 น.อุณหภูมิเฉลี่ยภายในบ้านจำลองที่มุ่งด้วยกระเบื้องหลังคาซีเมนต์ไนท์ลอนคู่มีอุณหภูมิเฉลี่ยสูงที่สุด รองลงมาคือคอนกรีตแผ่นเรียบ และคอนกรีตแผ่นลอน เพราะว่ามีการสะสมความร้อนไว้ของกระเบื้องหลังคาส่างผลให้อุณหภูมิของหลังคาสูงขึ้น ส่วนอุณหภูมิภายในบ้านจำลองที่มุ่งด้วยกระเบื้องคอนกรีตผสมถุงขยายพลาสติกเคลือบอลูมิเนียม 0.3 และคอนกรีตผสมเคลือบอลูมิเนียม 0.5 มีอุณหภูมิเฉลี่ยภายในบ้านจำลองต่ำที่สุด เพราะว่ามีการป้องกันความร้อนได้ดีหลังจากนั้นเวลาประมาณ 11.30น.-14.30น.เป็นช่วงเวลาที่อุณหภูมิภายในบ้านจำลองสูงที่สุดซึ่งกระเบื้องหลังคาซีเมนต์ไนท์ลอนคู่มีอุณหภูมิภายในบ้านจำลองต่ำที่สุด ส่วนกระเบื้องหลังคาคอนกรีตผสมอลูมิเนียม 0.5 มีอุณหภูมิเฉลี่ยภายในบ้านจำลองสูงที่สุดหลังจากนั้นเวลาประมาณ 14.30 น.-19.30 น.อุณหภูมิเฉลี่ยภายในบ้านจำลองแต่ละหลังลดลงลดลง เพราะว่ามีการหายใจความร้อนออกของแผ่นกระเบื้องซึ่งอุณหภูมิเฉลี่ยภายในบ้านจำลองที่มุ่งด้วยกระเบื้องหลังคาซีเมนต์ไนท์ลอนคู่มีอุณหภูมิต่ำที่สุดและบ้านจำลองที่มุ่งด้วยกระเบื้องหลังคาคอนกรีตผสมถุงขยายพลาสติกเคลือบอลูมิเนียม 0.7 มีอุณหภูมิเฉลี่ยภายในบ้านจำลองสูงที่สุดหลังจากเวลาประมาณ 19.30 น.-0.00 น.อุณหภูมิเฉลี่ยภายในบ้านจำลองที่มุ่งด้วยกระเบื้องหลังคาคอนกรีตผสมถุงขยายพลาสติกเคลือบอลูมิเนียม 0.5 มีอุณหภูมิต่ำที่สุด

ส่วนบ้านจำลองที่มุ่งด้วยกระแสเบื้องอื่นๆ มีค่าใกล้เคียงกัน เพราะว่าเป็นช่วงกลางคืนซึ่งหลังคามีได้รับแสงแดด

4.1.7 ผลการวัดอุณหภูมิภายในบ้านจำลองในสภาวะแวดล้อมจริง (กันยายน 2554-กุมภาพันธ์ 2555)

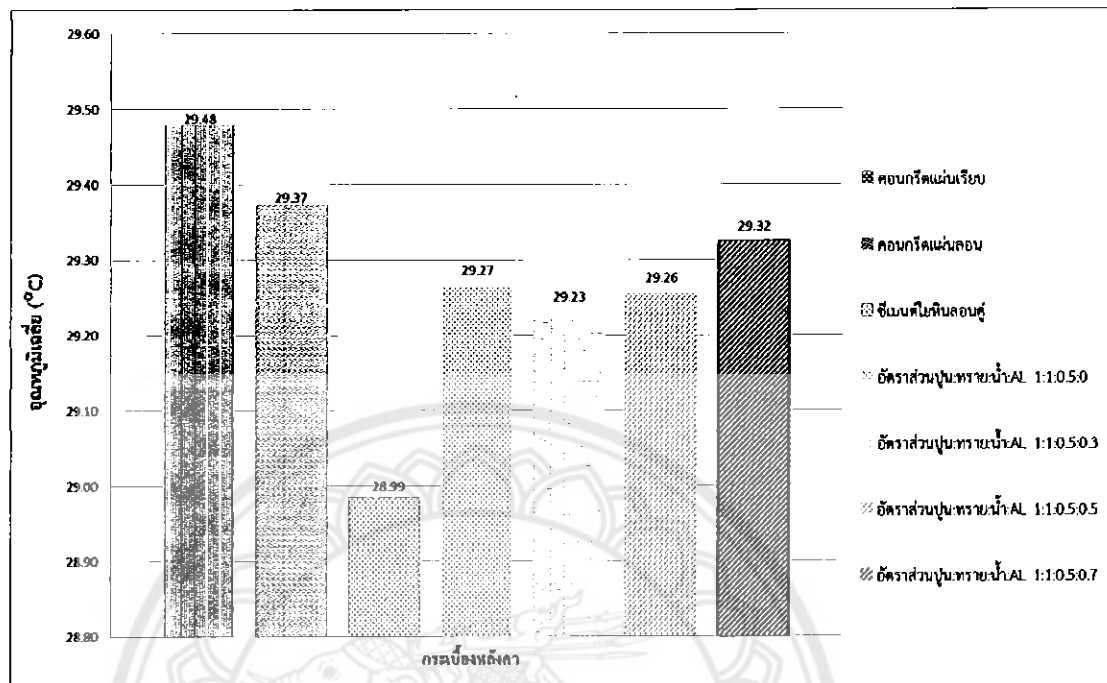


กราฟที่ 4.7 อุณหภูมิเฉลี่ยของอากาศภายในบ้านจำลองในสภาวะแวดล้อมจริงเดือนกันยายน 2554-เดือนกุมภาพันธ์ 2555

จากราฟที่ 4.7 การพิจารณาอุณหภูมิของอากาศในบ้านจำลองตลอด 24 ชั่วโมง เมื่อนำมาทดสอบ เป็นเวลา 6 เดือนพบว่า ในช่วงกลางวัน (06.00 น.-18.00 น.) บ้านจำลองที่มุ่งด้วยกระแสเบื้องค่อนกรีตใหญ่นอนคู่มีอุณหภูมิต่ำที่สุด รองลงมาคือบ้านที่มุ่งด้วยกระแสเบื้องหลังคาก้อนกรีตผสมถุงขยะพลาสติกเคลือบอลูมิเนียมอัตราส่วน 0.3, 0.5, 0.7 และ 0 โดยปริมาตรตามลำดับ และตามด้วยกระแสเบื้องค่อนกรีตแผ่นลอน และกระแสเบื้องค่อนกรีตแผ่นเรียบตามลำดับ

ส่วนในช่วงกลางคืน(18.00 น.-06.00น.) ความร้อนที่สะสมในเนื้อวัสดุจะหายความร้อนสู่สิ่งแวดล้อมภายนอก เมื่ออุณหภูมิภายนอกลดลงอุณหภูมิภายในบ้านจำลองซึ่งมุ่งด้วยกระแสเบื้องหลังคาก้อนกรีตผสมถุงขยะพลาสติกเคลือบอลูมิเนียมอัตราส่วนอลูมิเนียม 0 โดยปริมาตร รองลงมาก่อนเบื้องค่อนกรีตใหญ่นอนคู่ ตามด้วยกระแสเบื้องหลังคาก้อนกรีตผสมถุงขยะพลาสติกเคลือบอลูมิเนียม อัตราส่วนอลูมิเนียม 0.3 โดยปริมาตร ตามด้วยกระแสเบื้องค่อนกรีตแผ่นลอน กระแสเบื้องหลังคาก้อนกรีตผสมถุงขยะพลาสติกเคลือบอลูมิเนียมอัตราส่วนอลูมิเนียม 0.5, 0.7 โดยปริมาตร และ กระแสเบื้องค่อนกรีตแผ่นเรียบตามลำดับ ดังแสดงในกราฟที่ 4.7

4.1.8 ผลการเปรียบเทียบอุณหภูมิเฉลี่ยของอากาศภายในบ้านจำลองตลอด 6 เดือน (กันยายน 2554– กุมภาพันธ์ 2555)



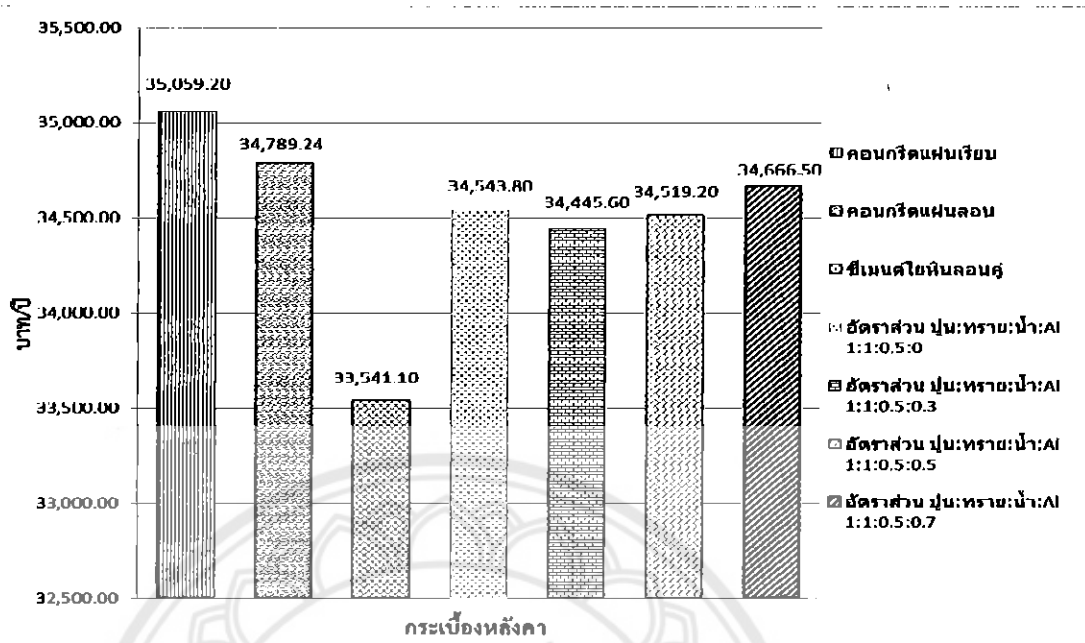
กราฟที่ 4.8 การเปรียบเทียบอุณหภูมิเฉลี่ยของอากาศภายในบ้านจำลองในสภาวะvacuum จังหวัดเชียงใหม่กันยายน 2554-เดือนกุมภาพันธ์ 2555

เพื่อความชัดเจนในการแสดงการทดสอบวัดค่าอุณหภูมิของอากาศในบ้านจำลอง จึงแสดงในรูปแบบข้อมูลแบบแท่ง ดังแสดงในกราฟที่ 4.8

4.2 ผลการทดลองการหาค่าการนำความร้อนของกระเบื้องหลังคอนกรีตผสมอุบลนีเมเนียมฟอยล์

ในการทดลองหาค่าการนำความร้อนนั้นได้มีการสอบเทียบการใช้อุปกรณ์ Heat Conduction โดยใช้แท่งทองเหลืองทำการทดลอง ซึ่งจากการทดลองพบว่าค่าการนำความร้อนของทองเหลืองมีค่าความคลาดเคลื่อนถึง 59% ทำให้ค่าการนำความร้อนที่ได้ไม่น่าเชื่อถือจึงไม่สามารถนำมาพิจารณาได้

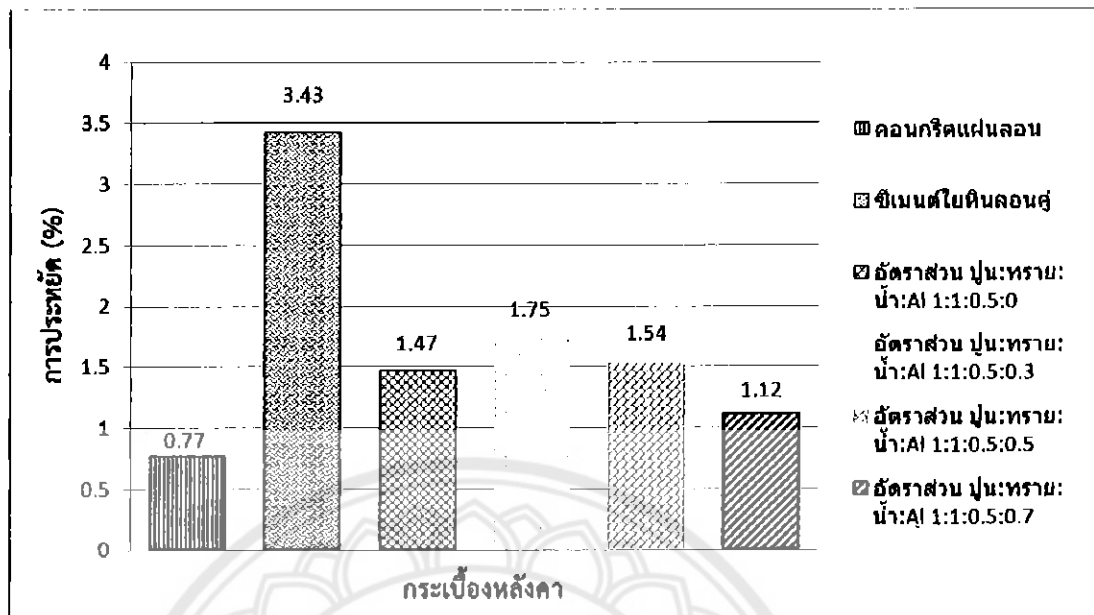
4.3 ค่าไฟฟ้าในการปรับอากาศ



กราฟที่ 4.9 ค่าใช้จ่ายด้านพลังงานไฟฟ้าในการปรับอากาศ

จากราฟที่ 4.9 เมื่อทำการเปรียบเทียบการใช้พลังงานในการปรับอากาศในอาคารสำนักงานโดยเทียบกับอาคารที่มุงด้วยหลังคาคอนกรีตแผ่นเรียบเป็นเกณฑ์ในการพิจารณาพบว่าอาคารที่มุงกระเบื้องหลังคาคอนกรีตแผ่นเรียบซึ่งใช้เป็นเกณฑ์ในการเปรียบเทียบ มีค่าใช้จ่าย 35,059 บาท/ปี กระเบื้องหลังคาคอนกรีตแผ่นลอนมีค่าใช้จ่าย 34,789 บาท/ปี, กระเบื้องหลังคาชิเมนต์ไนท์ลอนครุมีค่าใช้จ่าย 33,541 บาท/ปี, กระเบื้องหลังคาคอนกรีตผผลสมถุงขยะพลาสติกเคลือบอุฐมีเนียม 0 โดยปริมาตร มีค่าใช้จ่าย 34,543 บาท/ปี, กระเบื้องหลังคาคอนกรีตผผลสมถุงขยะพลาสติกเคลือบอุฐมีเนียม 0.3 โดยปริมาตร มีค่าใช้จ่าย 34,445 บาท/ปี, กระเบื้องหลังคาคอนกรีตผผลสมถุงขยะพลาสติกเคลือบอุฐมีเนียม 0.5 โดยปริมาตร มีค่าใช้จ่าย 34,519 บาท/ปี และกระเบื้องหลังคาคอนกรีตผผลสมถุงขยะพลาสติกเคลือบอุฐมีเนียม 0.7 โดยปริมาตร มีค่าใช้จ่าย 34,666 บาท/ปี ดังแสดงในกราฟที่ 4.10 ทั้งนี้ การเปลี่ยนแปลงของอุณหภูมิอากาศในบ้านลดลง 1°C สามารถประยัดการใช้พลังงานในการปรับอากาศได้ 7% (จังจิต หิรัญลักษณ์, 2551) ซึ่งค่าใช้จ่ายไฟฟ้ามาจากตารางที่ 1.

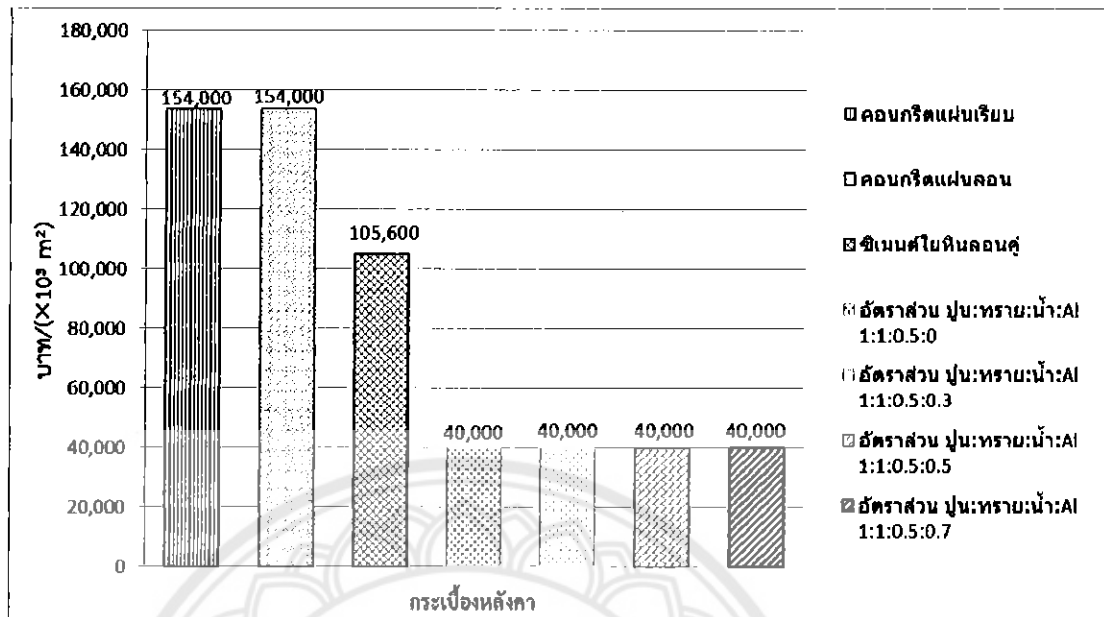
4.4 การประหยัดพลังงาน



กราฟที่ 4.10 การประหยัดพลังงานไฟฟ้าในการปรับอากาศเทียบกับกระเบื้องแผ่นเรียบ

จากราฟที่ 4.8 สามารถนำมารวบรวมข้อมูลการประหยัดพลังงาน โดยที่การเปลี่ยนแปลงของอุณหภูมิอากาศในบ้านลดลง 1°C สามารถประหยัดการใช้พลังงานในการปรับอากาศได้ 7% (จังจิตร์ หิรัญลักษณ์, 2551) พบว่า กระเบื้องหลังคาซีเมนต์ไบทินคลอนคู่ประหยัดมากที่สุดที่ 3.43 % รองลงมาเป็นกระเบื้องหลังคาคอนกรีตผสมถุงขยายพลาสติกเคลือบอยู่ในอุณหภูมิเนียม 0.3, 0.5, 0 และ 0.7 โดยประมาณ ตามลำดับ ซึ่งสามารถประหยัดได้ 1.75%, 1.54%, 1.47%, และ 1.12% ตามลำดับ สุดท้ายกระเบื้องที่ไม่เปอร์เซ็นต์การประหยัดต่ำที่สุดคือ กระเบื้องหลังคาคอนกรีตแผ่นลอนมีเปอร์เซ็นต์การประหยัดที่ 0.77%

4.5 ราคาต้นทุนของกระเบื้องหลังคา



กราฟที่ 4.11 ราคากระเบื้องแต่ละชนิดต่อพื้นที่มุงหลังคา 1000 ตารางเมตร

จากการที่ 4.11 เมื่อพิจารณาราคาของกระเบื้องมุงหลังคาประเภทต่างๆพบว่าหากมุงด้วยกระเบื้องหลังคาคอนกรีตผสมดung ขยะพลาสติกเคลือบอลูมิเนียม 0, 0.3, 0.5, 0.7 โดยปริมาตร คิดเป็นค่าใช้จ่ายเท่ากับ 40,000 บาท(ตารางที่ 2.) กระเบื้องหลังคาคอนกรีตแผ่นลอนและแผ่นเรียบคิดเป็นค่าใช้จ่ายเท่ากับ 154,000 บาท (ตารางที่ 2.) และกระเบื้องหลังคาซีเมนต์ไวนิลอนคู่คิดเป็นค่าใช้จ่ายเท่ากับ 105,600 บาท(ตารางที่ 2.) ดังแสดงในกราฟที่ 4.11 ซึ่งราคาของกระเบื้องทั่วไปทุกประเภทนี้รวมค่าใช้จ่ายด้านการขนส่งแต่ไม่รวมค่าแรงงานและอุปกรณ์สำหรับมุงหลังคา

บทที่ 5

สรุปและวิจารณ์ผลการทดลอง

ปัจจุบันในด้านการออกแบบอาคารให้ความสำคัญต่อการอนุรักษ์พลังงานในอาคารมากขึ้น ดังนั้น การออกแบบส่วนต่างๆของอาคารเพื่อการประหยัดพลังงานจึงเป็นสิ่งที่สำคัญยิ่ง วิธีการที่สำคัญอีกวิธีหนึ่งคือการลดอุณหภูมิซึ่งมาจากรังสีทางอาทิตย์ผ่านเข้าสู่หลังคา เนื่องจากหลังคาเป็นส่วนที่รับความร้อนโดยตรงมากที่สุด หากไม่มีการป้องกันในส่วนนี้แล้วความร้อนดังกล่าวจะย่องส่งผลโดยตรงต่ออาคารที่พักอาศัย และมีผลต่อการเพิ่มภาระการทำความเย็นของเครื่องปรับอากาศอีกด้วย ในการทดสอบอุณหภูมิของอาคารในบ้านจำลอง เพื่อศึกษาการถ่ายเทความร้อนเข้าสู่บ้านจำลอง มีการสรุปผลดังนี้

5.1 การวัดอุณหภูมิของอาคารในบ้านจำลอง

จากการทดสอบคุณสมบัติของวัสดุคงเหลืองบ้านพักอาศัยในปัจจุบัน โดยเปรียบเทียบวัสดุคงเหลือง 3 ชนิด คือ กระเบื้องคอนกรีตแผ่นเรียบ กระเบื้องคอนกรีตแผ่นลอน กระเบื้องเซเมนติไยหินลอนคู่กับกระเบื้องหลังคาคอนกรีตผสมถุงขยายพลาสติกเคลือบอลูมิเนียม โดยเปรียบเทียบกระเบื้องหลังคาที่ผสมถุงขยายพลาสติกเคลือบอลูมิเนียม 0,0.3, 0.5 และ 0.7 โดยปริมาตรเพื่อศึกษาการถ่ายเทความร้อนเป็นเวลา 6 เดือนคือตั้งแต่เดือนกันยายน 2554 ถึงเดือนกุมภาพันธ์ 2555

จากการทดสอบ 6 เดือนพบว่า ในช่วงกลางวัน (06.00 น.-18.00 น.) บ้านจำลองที่มุงด้วยกระเบื้องหลังคาเซเมนติไยหินลอนคู่มีอุณหภูมิต่ำที่สุด รองลงมาคือบ้านที่มุงด้วยกระเบื้องหลังคาคอนกรีตผสมถุงขยายพลาสติกเคลือบอลูมิเนียม 0.3, 0.5, 0.7 และ 0 โดยปริมาตรตามลำดับ และตามด้วยกระเบื้องหลังคาคอนกรีตแผ่นลอน และกระเบื้องหลังคาคอนกรีตแผ่นเรียบตามลำดับ

ส่วนในช่วงกลางคืน (18.00 น.-06.00 น.) ความร้อนที่สะสมในเนื้อวัสดุจะหายความร้อนสู่สิ่งแวดล้อมภายนอก เมื่ออุณหภูมิกายณอกลดลงอุณหภูมิกายในบ้านจำลองซึ่งมุงด้วยกระเบื้องหลังคาคอนกรีตผสมถุงขยายพลาสติกเคลือบอลูมิเนียม 0.3 โดยปริมาตรมีแนวโน้มต่ำที่สุด รองลงมากระเบื้องหลังคาเซเมนติไยหินลอนคู่ ตามด้วยกระเบื้องหลังคาคอนกรีตผสมถุงขยายพลาสติกเคลือบอลูมิเนียม 0.5 และ 0.7 โดยปริมาตร ตามด้วยกระเบื้องหลังคาคอนกรีตแผ่นลอน กระเบื้องหลังคาคอนกรีตผสมถุงขยายพลาสติกเคลือบอลูมิเนียม 0.0.3 และ 0.0.7 โดยปริมาตร และกระเบื้องหลังคาคอนกรีตแผ่นเรียบตามลำดับ

สำหรับอุณหภูมิอากาศภายในบ้านจำลองเมื่อนำมาพิจารณาทั้งวันคือ ตลอด 24 ชั่วโมงพบว่า อุณหภูมิของอากาศภายในบ้านจำลองที่มุงด้วยกระเบื้องหลังคาเซเมนติไยหินลอนคู่มีแนวโน้มต่ำที่สุด รองลงมาคือบ้านจำลองที่มุงด้วยกระเบื้องหลังคาคอนกรีตผสมถุงขยายพลาสติกเคลือบอลูมิเนียม 0.3,

0.5, 0.7 และ 0 โดยปริมาตรตามลำดับสำหรับบ้านจำลองที่มุ่งด้วยกระแสเบื้องหลังค่าคอนกรีตแผ่นลอน ถือว่ามีอุณหภูมิสูงแต่น้อยกว่ากระแสเบื้องหลังค่าคอนกรีตแผ่นเรียบ ส่วนบ้านจำลองที่มุ่งด้วยกระแสเบื้องหลังค่าคอนกรีตแผ่นเรียบมีอุณหภูมิอากาศภายในบ้านสูงที่สุด

ส่วนอุณหภูมิสิ่งแวดล้อมนั้นมีแนวโน้มสูงกว่าอุณหภูมิของอากาศภายในบ้านจำลองยกเว้นในช่วงเวลา 17.30 น. -19.30 น. เนื่องจากพระอาทิตย์ตกดินทำให้อุณหภูมิสิ่งแวดล้อมลดลงอย่างรวดเร็ว แต่อุณหภูมิภายในบ้านจำลองค่อยๆลดลงอย่างช้าๆ จนกระทั่งต่ำกว่าอุณหภูมิสิ่งแวดล้อมในช่วงเวลา 19.30 น. เป็นต้นไป

5.2 ค่าการนำความร้อน

จากการทดสอบค่าการนำความร้อนของกระแสเบื้องหลังค่าคอนกรีตพสมถุงขยะพลาสติกเคลือบอลูมิเนียมพบว่าค่าที่ได้จากการทดสอบขัดแย้งกับอุณหภูมิของอากาศที่วัดค่าได้ เพราะว่าเครื่องที่ใช้ในการทดลองให้ค่าการนำความร้อนมีความคลาดเคลื่อนเป็นอย่างมาก เนื่องจากอายุการใช้งานของอุปกรณ์ใช้งานนานาๆ ส่งผลให้เกิดความคลาดเคลื่อนในการวัด ดังนั้นค่าการนำความร้อนที่ได้จึงเชื่อถือไม่ได้ อย่างไรก็ตามข้อมูลค่าการนำความร้อนที่ได้แสดงให้เห็นว่าค่าการนำความร้อนมีแนวโน้มที่ใกล้เคียงกันมาก จึงอาจเป็นไปได้ว่าอุปกรณ์ที่ใช้ในการทดลองมีความคลาดเคลื่อน

5.3 การใช้พลังงานในการปรับอากาศ

เมื่อทำการเปรียบเทียบการใช้พลังงานในการปรับอากาศในอาคารสำนักงาน สมมติพื้นที่ใช้งานเท่ากับ 1000 m^2 โดยเทียบกับอาคารที่มุ่งด้วยหลังค่าคอนกรีตแผ่นเรียบเป็นเกณฑ์ในการพิจารณาจะได้ว่ากระแสเบื้องหลังค่าซีเมนต์ใหญhinlonคู่ประทัยดมากที่สุดที่ 3.43 % รองลงมาเป็นกระแสเบื้องหลังค่าคอนกรีตพสมถุงขยะพลาสติกเคลือบอลูมิเนียม 0.3, 0.5, 0 และ 0.7 โดยปริมาตรตามลำดับ ซึ่งสามารถประยัดได้ 1.75%, 1.54%, 1.47%, และ 1.12% ตามลำดับ สุดท้ายกระแสเบื้องที่มีเบอร์เซ็นต์การประยัดต่ำที่สุดคือกระแสเบื้องหลังค่าคอนกรีตแผ่นลอนมีเบอร์เซ็นต์การประยัดที่ 0.77%

5.4 ราคากระแสเบื้อง

สำหรับการมุ่งหลังค่าด้วยกระแสเบื้องหลังคามี่อนนำมายิดราคานั้นทุนกระแสเบื้องหลังค่าพบว่า หากมุ่งด้วยกระแสเบื้องหลังค่าคอนกรีตพสมถุงขยะพลาสติกเคลือบอลูมิเนียมในอัตราส่วนผสมอลูมิเนียม 0, 0.3, 0.5, 0.7 โดยปริมาตร มีต้นทุนของกระแสเบื้องหลังค่าเท่ากับ 40,000 บาท กระแสเบื้องหลังค่าคอนกรีตแผ่นลอนและแผ่นเรียบคิดเป็นต้นทุนของกระแสเบื้องหลังค่าเท่ากับ 154,000 บาท และกระแสเบื้องหลังค่าซีเมนต์ใหญhinlonคู่คิดเป็นต้นทุนของกระแสเบื้องหลังค่าเท่ากับ 105,600 บาท ซึ่งราคากระแสเบื้องทั่วไปเป็นราคาน้ำท้องตลาดไม่ใช่ราคากลาง

5.5 วิจารณ์การวัดค่าการนำความร้อน

จากการทดสอบค่าการนำความร้อนของกระเบื้องคอนกรีตผสมถุงขยายพลาสติกเคลือบอลูมิเนียมอัตราส่วนอลูมิเนียม 0, 0.3, 0.5 และ 0.7 โดยปริมาตร พบร่วมกับความคลาดเคลื่อน 59 % ซึ่งมีสาเหตุหนึ่งมาจากการเครื่องทดสอบการนำความร้อนมีอายุการใช้งานนานาหลายปี และหัววัดอุณหภูมิหัววัดที่ 2 มีสภาพหลวง ซึ่งต้องอยู่ขยับและปรับหัววัดอุณหภูมิทำให้อุณหภูมิที่ได้จากการวัดเกิดความคลาดเคลื่อน รวมทั้งค่าอุณหภูมิที่วัดได้จากหัววัดที่ 5 ไม่เป็นไปตามหลักการของการนำความร้อน ผลที่ได้จากการทดลองคืออุณหภูมิในหัววัดที่ 5 จะต่ำกว่าอุณหภูมิหัววัดที่ 6 จึงขัดแย้งกับหลักการที่อุณหภูมิในหัววัดที่ 5 จะต้องสูงกว่าอุณหภูมิหัววัดที่ 6 ซึ่งเป็นสาเหตุหนึ่งที่ทำให้การวัดค่าการนำความร้อนนี้เกิดความคลาดเคลื่อน ทำให้ค่าการนำความร้อนที่ได้จากการทดลองเชื่อถือไม่ได้

5.6 วิจารณ์และข้อเสนอแนะ

สำหรับแนวทางในการวิจัยเพื่อพัฒนาต่อไปในอนาคตให้เป็นระบบพานิชย์ที่สามารถนำไปปรับใช้จริงและผลลัพธ์มีความเชื่อถือมากยิ่งขึ้นจำเป็นอย่างยิ่งที่จะต้องมีการพิจารณาถึงสิ่งต่างๆ ต่อไปนี้ คือ

5.6.1 ออกแบบและสร้างกระเบื้องหลังคาคอนกรีตผสมถุงขยายพลาสติกเคลือบอลูมิเนียม ที่มีความหนาบางลงและมีความยืดหยุ่นมากขึ้น

5.6.2 ระหว่างกระบวนการกดอัดขึ้นรูปกระเบื้องการคำนึงถึงรูพรุนอากาศให้มีน้อยที่สุด และลักษณะพื้นผิวของกระเบื้องควรเรียบมากขึ้น

5.6.3 เก็บข้อมูลอุณหภูมิกายในบ้านจำลองช่วงฤดูร้อนเพิ่มเติม

5.6.4 มีการศึกษาแบบจำลองทางคณิตศาสตร์ควบคู่กับการทดสอบ

5.6.5 ควรมีการนำกระเบื้องหลังคาคอนกรีตผสมถุงขยายพลาสติกเคลือบอลูมิเนียมไปติดตั้งใช้งานจริงในอาคารเพื่อศึกษาถึงความสามารถในการลดอุณหภูมิกายในอาคาร รวมถึงอายุการใช้งานจริง

5.6.6 ควรศึกษาว่าถุงขยายพลาสติกประเภทใดที่ควรนำมาทำการทดลอง

5.6.7 มีการศึกษาการเปลี่ยนสภาพทางความร้อนของถุงขยายพลาสติกเคลือบอลูมิเนียม

บรรณานุกรม

กระทรวงพลังงาน. หลักเกณฑ์และวิธีการคำนวณในการออกแบบอาคารแต่ละระบบ. กรุงเทพฯ : กระทรวงพลังงาน, 2552.

กระทรวงวิทยาศาสตร์เทคโนโลยีและสิ่งแวดล้อม. คู่มือการอนุมัติพัฒนา. กรมพัฒนาและส่งเสริม พลังงาน กระทรวงวิทยาศาสตร์เทคโนโลยีและสิ่งแวดล้อม.

กิตติศักดิ์ วงศ์โก, รดา ลด อ่อนนิม และ พรม เย็นนที. (2553). ศึกษาความเป็นไปได้ในการสร้าง กระเบื้องหลังคาคอนกรีตผสมอุบมิเนียมฟอยล์จากถุงขยะพลาสติก. บริษัทวิทยาศาสตร์ จำกัด. ภาควิชากรรมเครื่องกล. คณะวิศวกรรมศาสตร์. มหาวิทยาลัยนเรศวร.

จุรีพร โสภាដอมร. (2550). เปรียบเทียบสมรรถนะของหลังคารูปแบบต่างๆ เชิงเทคนิคและ เศรษฐศาสตร์. วิทยานิพนธ์มหาบัณฑิต. สาขาวิชาเทคโนโลยีพลังงาน. คณะพลังงาน สิ่งแวดล้อมและวัสดุ. มหาวิทยาลัยเทคโนโลยีพระจอมเกล้าธนบุรี. กรุงเทพฯ: มหาวิทยาลัย เทคโนโลยีพระจอมเกล้าธนบุรี.

จงจิตร์ หิรัญลักษณ์. การออกแบบบ้านหลังคาเย็นพัลลังงานแสงอาทิตย์. [ออนไลน์]. เข้าถึงได้จาก : <http://www2.kmutt.ac.th/news/newsdetail.aspx?ref>. (วันที่ค้นข้อมูล : 21 กุมภาพันธ์ 2555).

พิกพ สุนทรสมัย. (2554). การประมาณราคาการก่อสร้าง. กรุงเทพฯ : สมาคมส่งเสริมเทคโนโลยี (ไทย-ญี่ปุ่น).

มหาวิทยาลัยนเรศวร. คู่มือปฏิบัติการวิศวกรรมเครื่องกล2. พิมุโลก : ภาควิชาชีวกรรมเครื่องกล. คณะวิศวกรรมศาสตร์. มหาวิทยาลัยนเรศวร, 2541.

ศิษร์ภัณฑ์ แคนลา. (2553). กระเบื้องหลังคาซีเมนต์ตันแบบผสมอุบมิเนียมฟอยล์จากถุงขยะพลาสติก. พิมุโลก : ภาควิชาชีวกรรมเครื่องกล คณะวิศวกรรมศาสตร์ มหาวิทยาลัยนเรศวร.

สุภาวดี รัตนมาศ. (2553). หลังคาและอุปกรณ์หลังคา. กรุงเทพฯ : ไทยวัฒนาพาณิชย์.



ภาคผนวก ก

วิธีการทดลองหาค่าการนำความร้อนของกระเบื้องคอนกรีตผสมถุงขยายพลาสติกเคลือบอลูมิเนียม

1. ตารางบันทึกผลการทดลอง

ตารางบันทึกผลการทดลองคอนกรีตทดสอบค่าการนำความร้อนคอนกรีตผสมถุงเคลือบอลูมิเนียม 0 โดยปริมาตร

ก้อนคอนกรีตทดสอบที่ 1

ตารางที่ 1 ก. ข้อมูลก้อนคอนกรีตผสมถุงขยายพลาสติกเคลือบอลูมิเนียม 0 โดยปริมาตร ก้อนที่ 1

No.	Heat Power (w)	Temperature					
		T ₁	T ₂	T ₃	T ₄	T ₅	T ₆
1	10	36.9	36.7	35.5	15.1	13.7	13.1
2	15	66.5	62.9	62.6	14.8	14.6	12.4
3	20	96.1	89.3	87.2	23.1	22.8	22.6
4	25	107.8	107.4	96.7	18.3	14.6	12.4
5	30	117.1	115.2	107.3	18.8	13.7	13.4

ก้อนคอนกรีตทดสอบที่ 2

ตารางที่ 2 ก. ข้อมูลก้อนคอนกรีตผสมถุงขยายพลาสติกเคลือบอลูมิเนียม 0 โดยปริมาตร ก้อนที่ 2

No.	Heat Power (w)	Temperature					
		T ₁	T ₂	T ₃	T ₄	T ₅	T ₆
1	10	39.6	37.1	37.1	13.6	11.1	10.5
2	15	74.3	69.7	67.5	19.1	18.2	17.5
3	20	97.2	96.5	90.1	16.1	16	13.3
4	25	105.8	105.5	95.5	18.3	18.1	16.1
5	30	113.1	113.1	103.4	20.2	19.8	17.2

ก้อนคอนกรีตทดสอบที่ 3

ตารางที่ 3 ก. ข้อมูลก้อนคอนกรีตผสมถุงขยายพลาสติกเคลือบอลูมิเนียม 0 โดยปริมาตร ก้อนที่ 3

No.	Heat Power (w)	Temperature					
		T ₁	T ₂	T ₃	T ₄	T ₅	T ₆
1	10	41.2	38.7	38.7	11.9	11.4	9.6
2	15	72.4	68.2	66.3	18.8	15.2	14.8
3	20	95.5	95	94.7	17.1	16.5	14.3
4	25	109.9	109.4	100.1	17.3	14.7	14.7
5	30	116.7	116.2	108.1	18.7	17.5	14.9

ค่าการนำความร้อนที่ได้ของก้อนคอนกรีตทดสอบที่ 1

ตารางที่ 4 ก. ข้อมูลค่าการนำความร้อนก้อนคอนกรีตผลสมถุงขยายพลาสติกเคลือบอลูมิเนียม 0 โดยปริมาตร ก้อนคอนกรีตทดสอบที่ 1

$Q(w)$	$A(m^2)$	$T_3(^{\circ}C)$	$T_4(^{\circ}C)$	$L(m)$	dT/dx	k ($W/m.^{\circ}C$)
10	0.000491	35.5	15.1	0.03	680	29.95
15	0.000491	62.6	14.8	0.03	1593.33	19.17
20	0.000491	87.2	23.1	0.03	2353.33	17.31
25	0.000491	96.7	18.3	0.03	2613.33	19.48
30	0.000491	107.3	18.8	0.03	3283.33	18.61

ค่าการนำความร้อนเฉลี่ยที่ได้ของก้อนคอนกรีตทดสอบ คือ $20.91 W/m.^{\circ}C$

ค่าการนำความร้อนที่ได้ของก้อนคอนกรีตทดสอบที่ 2

ตารางที่ 5 ก. ข้อมูลค่าการนำความร้อนก้อนคอนกรีตผลสมถุงขยายพลาสติกเคลือบอลูมิเนียม 0 โดยปริมาตร ก้อนคอนกรีตทดสอบที่ 2

$Q(w)$	$A(m^2)$	$T_3(^{\circ}C)$	$T_4(^{\circ}C)$	$L(m)$	dT/dx	k ($W/m.^{\circ}C$)
10	0.000491	37.1	13.6	0.03	783.33	25.99
15	0.000491	67.5	19.1	0.03	1613.33	18.94
20	0.000491	90.1	16.1	0.03	2466.67	16.51
25	0.000491	95.5	18.3	0.03	2640	19.28
30	0.000491	103.4	20.2	0.03	2773.33	22.03

ค่าการนำความร้อนเฉลี่ยที่ได้ของก้อนคอนกรีตทดสอบ คือ $20.55 W/m.^{\circ}C$

ค่าการนำความร้อนที่ได้ของก้อนคอนกรีตทดสอบที่ 3

ตารางที่ 6 ก. ข้อมูลค่าการนำความร้อนก้อนคอนกรีตผลสมถุงขยายพลาสติกเคลือบอลูมิเนียม 0 โดยปริมาตร ก้อนคอนกรีตทดสอบที่ 3

$Q(w)$	$A(m^2)$	$T_3(^{\circ}C)$	$T_4(^{\circ}C)$	$L(m)$	dT/dx	k ($W/m.^{\circ}C$)
10	0.000491	38.7	11.9	0.03	893.33	22.80
15	0.000491	66.3	18.8	0.03	1583.33	19.29
20	0.000491	94.7	17.1	0.03	2586.67	15.75
25	0.000491	100.1	17.3	0.03	2760	18.45
30	0.000491	108.1	18.7	0.03	2980	20.50

ค่าการนำความร้อนเฉลี่ยที่ได้ของก้อนคอนกรีตทดสอบ คือ $19.35 \text{ W/m.}^{\circ}\text{C}$

ค่าการนำความร้อนเฉลี่ยของคอนกรีตเท่ากับ $20.27 \text{ W/m.}^{\circ}\text{C}$

ตารางบันทึกผลการทดลองคอนกรีตทดสอบค่าการนำความร้อนคอนกรีตผสมถุงขยะพลาสติกเคลือบอลูมิเนียม 0.3 โดยปริมาตร

ก้อนคอนกรีตทดสอบที่ 1

ตารางที่ 7 ก. ข้อมูลก้อนคอนกรีตผสมถุงขยะพลาสติกเคลือบอลูมิเนียม 0.3 โดยปริมาตร ก้อนที่ 1

No.	Heat Power (w)	Temperature					
		T ₁	T ₂	T ₃	T ₄	T ₅	T ₆
1	10	36.9	36.7	35.5	15.1	13.7	13.1
2	15	73.2	68.6	66.8	18.2	12.8	10.4
3	20	84.2	83.9	73.4	20.8	20.4	16.4
4	25	116.7	116.2	105.3	17.4	13.6	11.4
5	30	132.3	131.2	117.9	19.8	14.2	12.5

ก้อนคอนกรีตทดสอบที่ 2

ตารางที่ 8 ก. ข้อมูลก้อนคอนกรีตผสมถุงขยะพลาสติกเคลือบอลูมิเนียม 0.3 โดยปริมาตร ก้อนที่ 2

No.	Heat Power (w)	Temperature					
		T ₁	T ₂	T ₃	T ₄	T ₅	T ₆
1	10	34	32.5	31.4	16	16	15.3
2	15	76.6	73.4	71.7	17.7	13.6	13.3
3	20	81.4	79.1	76.6	15.6	13.3	12.5
4	25	119.5	116.2	114.3	19.3	13.6	12.3
5	30	130.2	129.2	118.9	17.5	13.7	12.6

ก้อนคอนกรีตทดสอบที่ 3

ตารางที่ 9 ก. ข้อมูลก้อนคอนกรีตผสมถุงขยะพลาสติกเคลือบอลูมิเนียม 0.3 โดยปริมาตร ก้อนที่ 3

No.	Heat Power (w)	Temperature					
		T ₁	T ₂	T ₃	T ₄	T ₅	T ₆
1	10	34.2	34	33.7	12.8	12.2	11.9
2	15	75.7	74.9	72.1	18.3	14.8	13.2
3	20	87.4	86.2	81.3	14.2	13.8	13.3
4	25	117.8	117.2	109.5	19.3	13.9	13.6
5	30	130.7	129.8	117.9	18.2	13.7	12.9

ค่าการนำความร้อนที่ได้ของก้อนคอนกรีตทดสอบที่ 1

ตารางที่ 10 ก. ข้อมูลค่าการนำความร้อนก้อนคอนกรีตผสมถุงขยะพลาสติกเคลือบอลูมิเนียม 0.3 โดยปริมาตรก้อนคอนกรีตทดสอบที่ 1

$Q(w)$	$A(m^2)$	$T_3(^{\circ}C)$	$T_4(^{\circ}C)$	$L(m)$	dT/dx	k (W/m. $^{\circ}C$)
10	0.000491	35.5	16	0.03	680	29.95
15	0.000491	66.8	17.7	0.03	1620	18.86
20	0.000491	73.4	15.6	0.03	1753.33	23.23
25	0.000491	105.3	19.3	0.03	2930	17.38
30	0.000491	117.9	17.5	0.03	3270	18.68

ค่าการนำความร้อนเฉลี่ยที่ได้ของก้อนคอนกรีตทดสอบ คือ $21.62 \text{ W/m.}^{\circ}\text{C}$

ค่าการนำความร้อนที่ได้ของก้อนคอนกรีตทดสอบที่ 2

ตารางที่ 11 ก. ข้อมูลค่าการนำความร้อนก้อนคอนกรีตผสมถุงขยะพลาสติกเคลือบอลูมิเนียม 0.3 โดยปริมาตรก้อนคอนกรีตทดสอบที่ 2

$Q(w)$	$A(m^2)$	$T_3(^{\circ}C)$	$T_4(^{\circ}C)$	$L(m)$	dT/dx	k (W/m. $^{\circ}C$)
10	0.000491	31.4	12.8	0.03	513.33	39.68
15	0.000491	71.7	18.3	0.03	1800	16.97
20	0.000491	76.6	14.2	0.03	2033.33	20.03
25	0.000491	114.3	19.3	0.03	3166.67	16.08
30	0.000491	118.9	18.2	0.03	3380	18.07

ค่าการนำความร้อนเฉลี่ยที่ได้ของก้อนคอนกรีตทดสอบ คือ $22.18 \text{ W/m.}^{\circ}\text{C}$

ค่าการนำความร้อนที่ได้ของก้อนคอนกรีตทดสอบที่ 2

ตารางที่ 12 ก. ข้อมูลค่าการนำความร้อนก้อนคอนกรีตผสมถุงขยะพลาสติกเคลือบอลูมิเนียม 0.3 โดยปริมาตรก้อนคอนกรีตทดสอบที่ 3

$Q(w)$	$A(m^2)$	$T_3(^{\circ}C)$	$T_4(^{\circ}C)$	$L(m)$	dT/dx	k (W/m. $^{\circ}C$)
10	0.000491	33.7	12.8	0.03	696.67	29.23
15	0.000491	72.1	18.3	0.03	1793.33	17.04
20	0.000491	81.3	14.2	0.03	2236.67	18.21
25	0.000491	109.5	19.3	0.03	3006.67	16.93
30	0.000491	117.9	18.2	0.03	3323.33	18.39

ค่าการนำความร้อนเฉลี่ยที่ได้ของก้อนคอนกรีตทดสอบ คือ $19.96 \text{ W/m.}^{\circ}\text{C}$

ค่าการนำความร้อนเฉลี่ยก้อนกรีตผสมอลูมิเนียม 0.3 เท่ากับ $21.25 \text{ W/m.}^{\circ}\text{C}$

ตารางบันทึกผลการทดลองค่อนกรีตทดสอบค่าการนำความร้อนค่อนกรีตผสมถุงขยะพลาสติกเคลือบอลูมิเนียม 0.5 โดยปริมาตร

ก้อนค่อนกรีตทดสอบที่ 1

ตารางที่ 13 ก. ข้อมูลก้อนค่อนกรีตผสมถุงขยะพลาสติกเคลือบอลูมิเนียม 0.5 โดยปริมาตร ก้อนที่ 1

No.	Heat Power (w)	Temperature					
		T ₁	T ₂	T ₃	T ₄	T ₅	T ₆
1	10	54.4	54.1	53.5	16.1	15.6	15.6
2	15	73.9	71.8	71.6	19.9	19.4	18.3
3	20	97.8	96.5	94.3	18.7	18.6	17.4
4	25	115.6	111.3	104.2	19.2	18.5	17.4
5	30	128.3	126.1	114.6	17.5	17.3	16.1

ก้อนค่อนกรีตทดสอบที่ 2

ตารางที่ 14 ก. ข้อมูลก้อนค่อนกรีตผสมถุงขยะพลาสติกเคลือบอลูมิเนียม 0.5 โดยปริมาตร ก้อนที่ 2

No.	Heat Power (w)	Temperature					
		T ₁	T ₂	T ₃	T ₄	T ₅	T ₆
1	10	36	35.9	33.6	13.3	12.1	10.8
2	15	70.1	67.2	69.2	13.8	12.7	11.7
3	20	85.5	81.5	75.3	16.2	15.8	12.7
4	25	115.5	113.7	105.3	13.8	12	11.7
5	30	131.8	129.9	115.1	13.7	13.4	13

ก้อนค่อนกรีตทดสอบที่ 3

ตารางที่ 15 ก. ข้อมูลก้อนค่อนกรีตผสมถุงขยะพลาสติกเคลือบอลูมิเนียม 0.5 โดยปริมาตร ก้อนที่ 3

No.	Heat Power (w)	Temperature					
		T ₁	T ₂	T ₃	T ₄	T ₅	T ₆
1	10	38.9	38.7	38.1	15.2	14.2	13.3
2	15	69.2	68.7	67.3	14.7	13.8	12.9
3	20	76.1	72.4	70.7	18.9	18.8	18.1
4	25	112.1	110.3	105.5	15.9	14.8	13.2
5	30	130.3	126.5	114.7	15.3	15.2	14.6

ค่าการนำความร้อนที่ได้ของก้อนคอนกรีตทดสอบที่ 1

ตารางที่ 16 ก. ข้อมูลค่าการนำความร้อนก้อนคอนกรีตผสมดุงขยะพลาสติกเคลือบอลูมิเนียม 0.5 โดยปริมาตรก้อนที่ 1

$Q(w)$	$A(m^2)$	$T_3(^{\circ}C)$	$T_4(^{\circ}C)$	$L(m)$	dT/dx	k (W/m. $^{\circ}C$)
10	0.000491	53.5	16.1	0.03	1246.67	16.34
15	0.000491	71.6	19.9	0.03	1723.33	17.73
20	0.000491	94.3	18.7	0.03	2520	16.16
25	0.000491	104.2	19.2	0.03	2833.33	17.97
30	0.000491	114.6	17.5	0.03	3236.67	18.88

ค่าการนำความร้อนเฉลี่ยที่ได้ของก้อนคอนกรีตทดสอบ คือ $17.42 \text{ W/m. } ^{\circ}\text{C}$

ค่าการนำความร้อนที่ได้ของก้อนคอนกรีตทดสอบที่ 2

ตารางที่ 17 ก. ข้อมูลค่าการนำความร้อนก้อนคอนกรีตผสมดุงขยะพลาสติกเคลือบอลูมิเนียม 0.5 โดยปริมาตรก้อนที่ 2

$Q(w)$	$A(m^2)$	$T_3(^{\circ}C)$	$T_4(^{\circ}C)$	$L(m)$	dT/dx	k (W/m. $^{\circ}C$)
10	0.000491	33.6	13.3	0.03	676.67	30.09
15	0.000491	69.2	13.8	0.03	1846.67	16.54
20	0.000491	75.3	16.2	0.03	1970	20.68
25	0.000491	105.3	13.8	0.03	3050	16.69
30	0.000491	115.1	13.7	0.03	3380	18.08

ค่าการนำความร้อนเฉลี่ยที่ได้ของก้อนคอนกรีตทดสอบ คือ $20.42 \text{ W/m. } ^{\circ}\text{C}$

ค่าการนำความร้อนที่ได้ของก้อนคอนกรีตทดสอบที่ 2

ตารางที่ 18 ก. ข้อมูลค่าการนำความร้อนก้อนคอนกรีตผสมดุงขยะพลาสติกเคลือบอลูมิเนียม 0.5 โดยปริมาตรก้อนที่ 3

$Q(w)$	$A(m^2)$	$T_3(^{\circ}C)$	$T_4(^{\circ}C)$	$L(m)$	dT/dx	k (W/m. $^{\circ}C$)
10	0.000491	38.1	15.2	0.03	763.33	26.68
15	0.000491	67.3	14.7	0.03	1753.33	17.42
20	0.000491	70.7	18.9	0.03	1726.67	23.59
25	0.000491	105.5	15.9	0.03	2986.67	17.05
30	0.000491	114.7	15.3	0.03	3313.33	18.44

ค่าการนำความร้อนเฉลี่ยที่ได้ของก้อนคอนกรีตทดสอบ คือ $20.64 \text{ W/m.}^{\circ}\text{C}$

ค่าการนำความร้อนเฉลี่ยของคอนกรีตผสมเคลือบอลูมิเนียม 0.5 เท่ากับ $19.49 \text{ W/m.}^{\circ}\text{C}$

ตารางบันทึกผลการทดลองคอนกรีตทดสอบค่าการนำความร้อนคอนกรีตผสมอลูมิเนียมฟอยล์ 0.7 โดยปริมาตร

ก้อนคอนกรีตทดสอบที่ 1

ตารางที่ 19 ก. ข้อมูลก้อนคอนกรีตผสมถุงขยายพลาสติกเคลือบอลูมิเนียม 0.7 โดยปริมาตร ก้อนที่ 1

No.	Heat Power (w)	Temperature					
		T ₁	T ₂	T ₃	T ₄	T ₅	T ₆
1	10	38.9	38.1	37.3	18.9	18.6	17.3
2	15	70.7	68.6	68.5	15.2	13.2	12.4
3	20	93.2	92	86.5	19.5	18.6	17.8
4	25	112.6	111.8	105.9	15.2	13.5	13.4
5	30	127.4	123.9	113.6	15.8	14.9	14.7

ก้อนคอนกรีตทดสอบที่ 2

ตารางที่ 20 ก. ข้อมูลก้อนคอนกรีตผสมถุงขยายพลาสติกเคลือบอลูมิเนียม 0.7 โดยปริมาตร ก้อนที่ 2

No.	Heat Power (w)	Temperature					
		T ₁	T ₂	T ₃	T ₄	T ₅	T ₆
1	10	41.3	40.2	38.8	13.6	13.8	12.8
2	15	74.7	73.5	66.9	13.6	13.4	10.6
3	20	89.7	87.9	81.4	12.8	12.4	11.3
4	25	117.6	117.8	108.9	12.4	13.8	12.8
5	30	129.2	122.7	116.5	13.5	12.2	10.7

ก้อนคอนกรีตทดสอบที่ 3

ตารางที่ 21 ก. ข้อมูลก้อนคอนกรีตผสมถุงขยายพลาสติกเคลือบอลูมิเนียม 0.7 โดยปริมาตร ก้อนที่ 3

No.	Heat Power (w)	Temperature					
		T ₁	T ₂	T ₃	T ₄	T ₅	T ₆
1	10	38.9	37.7	36.5	13.8	13.5	12.3
2	15	68.8	68.1	67.3	13.7	13.2	12.1
3	20	94.5	93.8	88.7	13.8	13.3	10.4
4	25	114.3	114.2	107.1	12.4	12.4	12
5	30	130.2	124.3	117.2	14.7	13.6	10.3

ค่าการนำความร้อนที่ได้ของก้อนคอนกรีตทดสอบที่ 1

ตารางที่ 22 ก. ข้อมูลค่าการนำความร้อนก้อนคอนกรีตผสมดุงขยะพลาสติกเคลือบอลูมิเนียม 0.7 โดยปริมาตรก้อนที่ 1

$Q(w)$	$A(m^2)$	$T_3(^{\circ}C)$	$T_4(^{\circ}C)$	$L(m)$	dT/dx	k ($W/m.^{\circ}C$)
10	0.000491	37.3	18.9	0.03	1246.67	16.34
15	0.000491	68.5	15.2	0.03	1723.33	17.73
20	0.000491	86.5	19.5	0.03	2520	16.16
25	0.000491	105.9	15.2	0.03	2833.33	17.97
30	0.000491	113.6	15.8	0.03	3236.67	18.88

ค่าการนำความร้อนเฉลี่ยที่ได้ของก้อนคอนกรีตทดสอบ คือ $17.42 W/m.^{\circ}C$

ค่าการนำความร้อนที่ได้ของก้อนคอนกรีตทดสอบที่ 2

ตารางที่ 23 ก. ข้อมูลค่าการนำความร้อนก้อนคอนกรีตผสมดุงขยะพลาสติกเคลือบอลูมิเนียม 0.7 โดยปริมาตรก้อนที่ 2

$Q(w)$	$A(m^2)$	$T_3(^{\circ}C)$	$T_4(^{\circ}C)$	$L(m)$	dT/dx	k ($W/m.^{\circ}C$)
10	0.000491	38.8	13.6	0.03	676.67	30.09
15	0.000491	66.9	13.6	0.03	1846.67	16.54
20	0.000491	81.4	12.8	0.03	1970	20.68
25	0.000491	108.9	12.4	0.03	3050	16.69
30	0.000491	116.5	13.5	0.03	3380	18.07

ค่าการนำความร้อนเฉลี่ยที่ได้ของก้อนคอนกรีตทดสอบ คือ $20.41 W/m.^{\circ}C$

ค่าการนำความร้อนที่ได้ของก้อนคอนกรีตทดสอบที่ 2

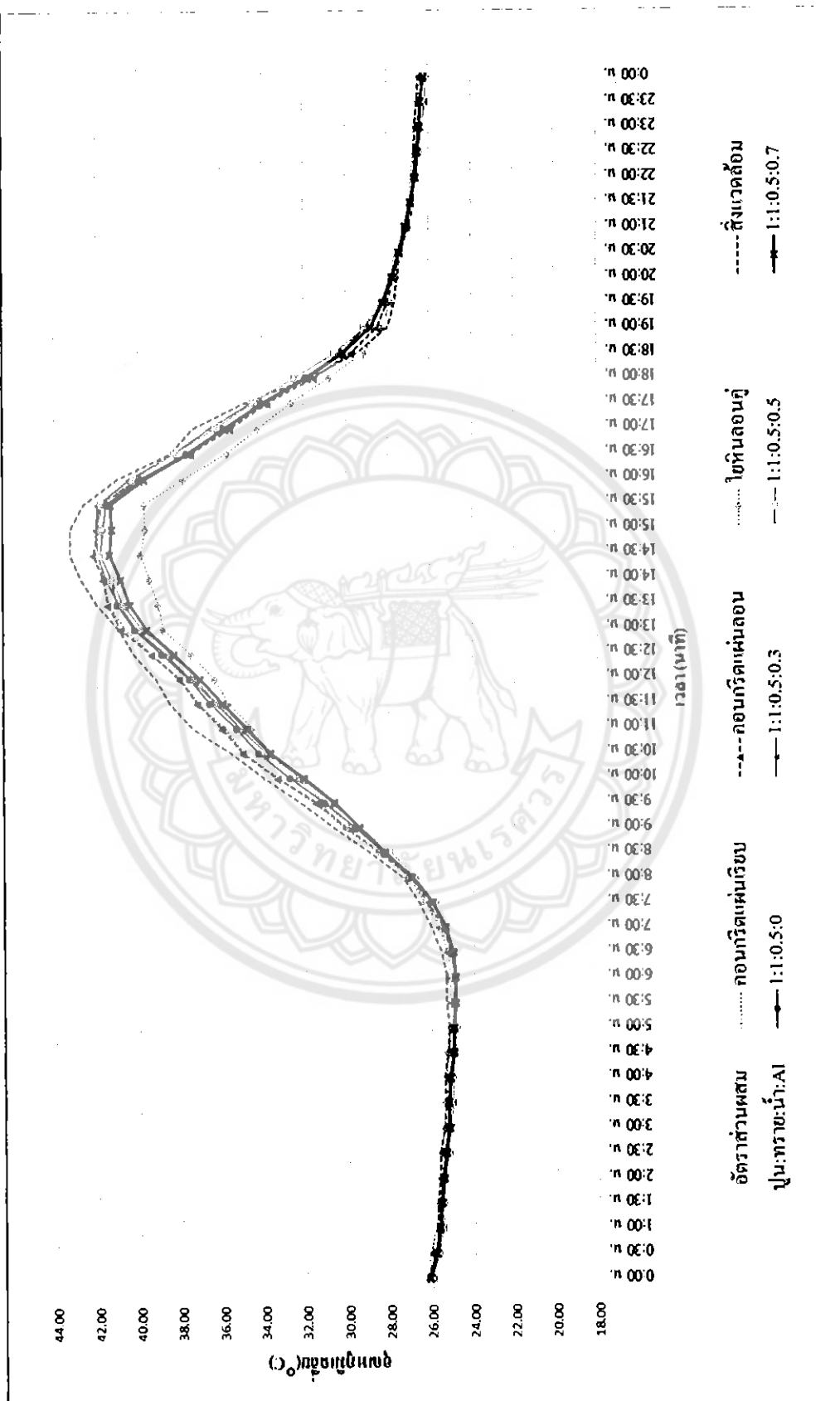
ตารางที่ 24 ก. ข้อมูลค่าการนำความร้อนก้อนคอนกรีตผสมดุงขยะพลาสติกเคลือบอลูมิเนียม 0.7 โดยปริมาตรก้อนที่ 3

$Q(w)$	$A(m^2)$	$T_3(^{\circ}C)$	$T_4(^{\circ}C)$	$L(m)$	dT/dx	k ($W/m.^{\circ}C$)
10	0.000491	36.5	13.8	0.03	763.33	26.68
15	0.000491	67.3	13.7	0.03	1753.33	17.42
20	0.000491	88.7	13.8	0.03	1726.67	23.59
25	0.000491	107.1	12.4	0.03	2986.67	17.05
30	0.000491	117.2	14.7	0.03	3313.33	18.44

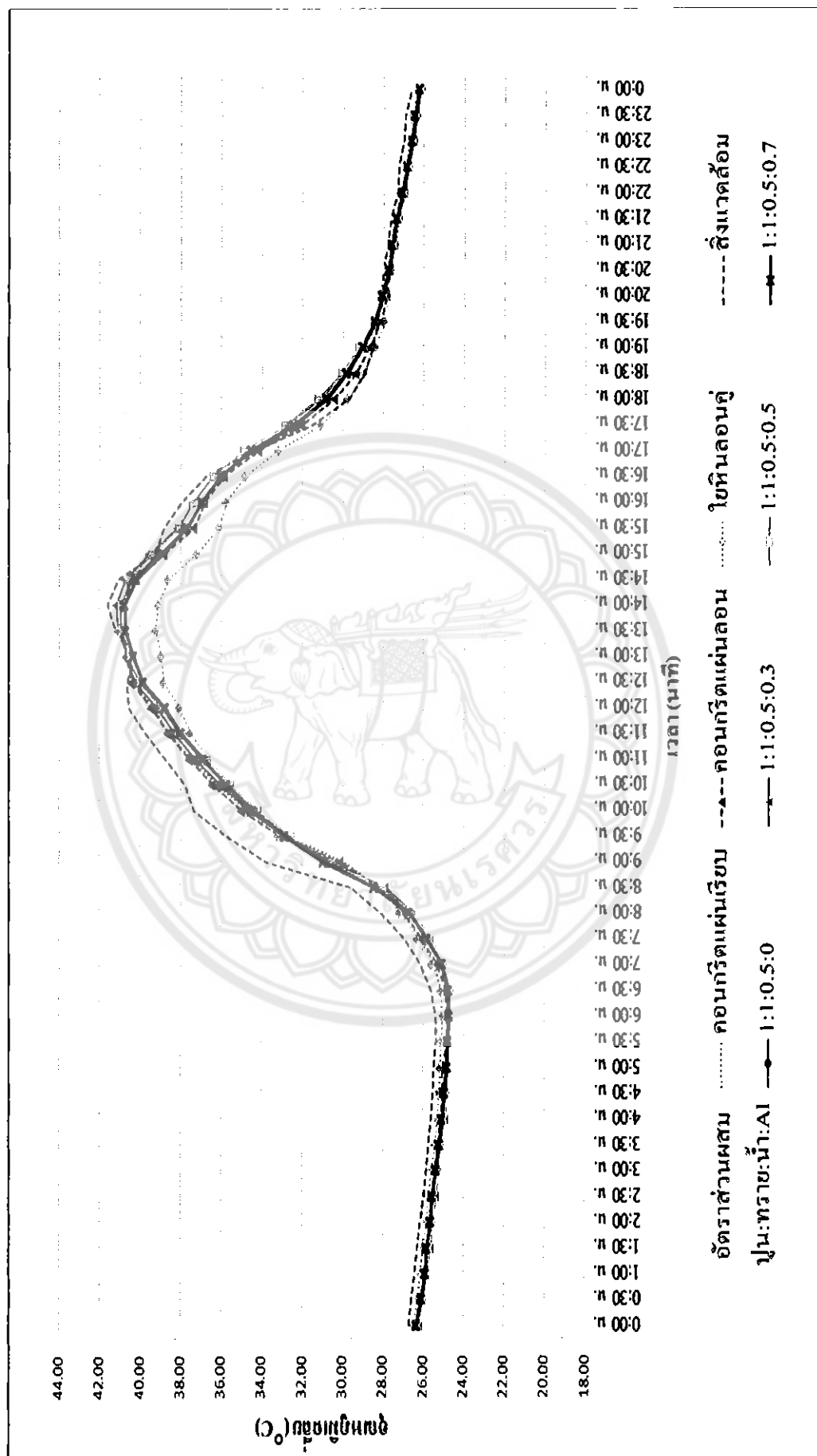
ค่าการนำความร้อนเฉลี่ยที่ได้ของก้อนคอนกรีตทดสอบ คือ $20.64 \text{ W/m.}^{\circ}\text{C}$
ค่าการนำความร้อนเฉลี่ยของคอนกรีตผสมถุงขยายพลาสติกเคลือบอลูมิเนียม 0.7 เท่ากับ $19.43 \text{ W/m.}^{\circ}\text{C}$



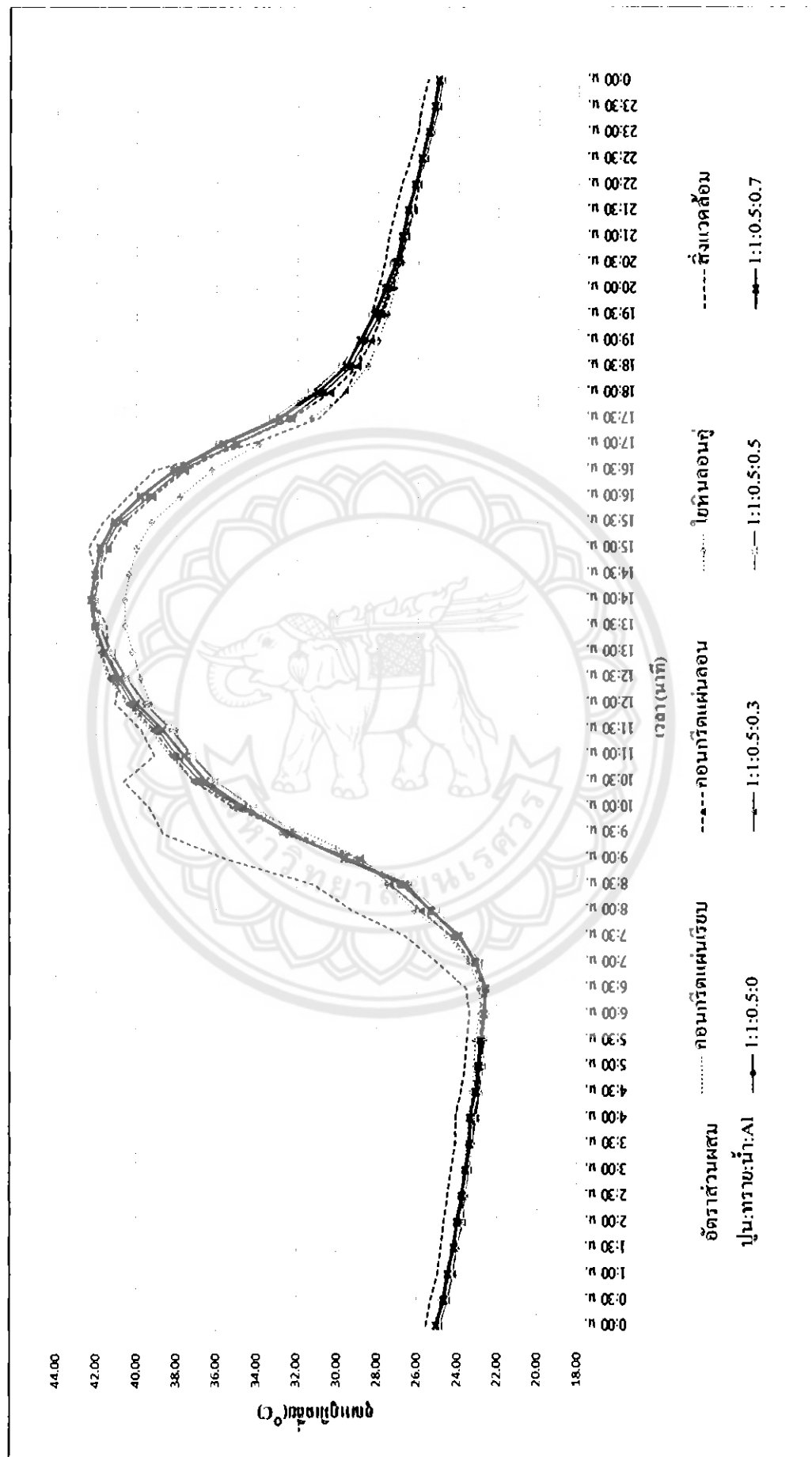
ການຄູມ

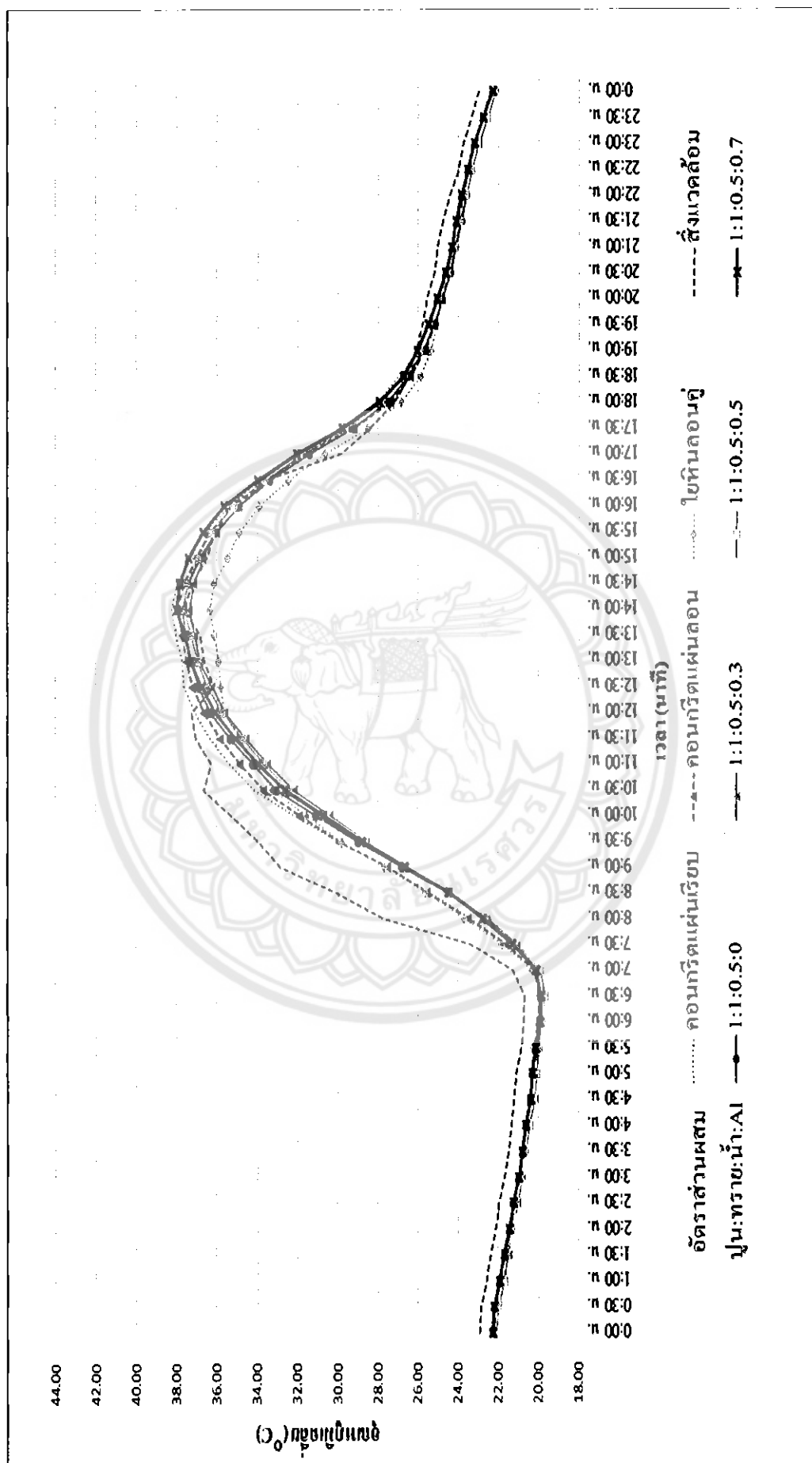


ການທີ 1 ບ. ອຸດທຸກມືຄືບໍ່ຂອງອາກາຫຍາໃນບ້ານຈຳຄອດເທືອນກັນຍາຍ 2554

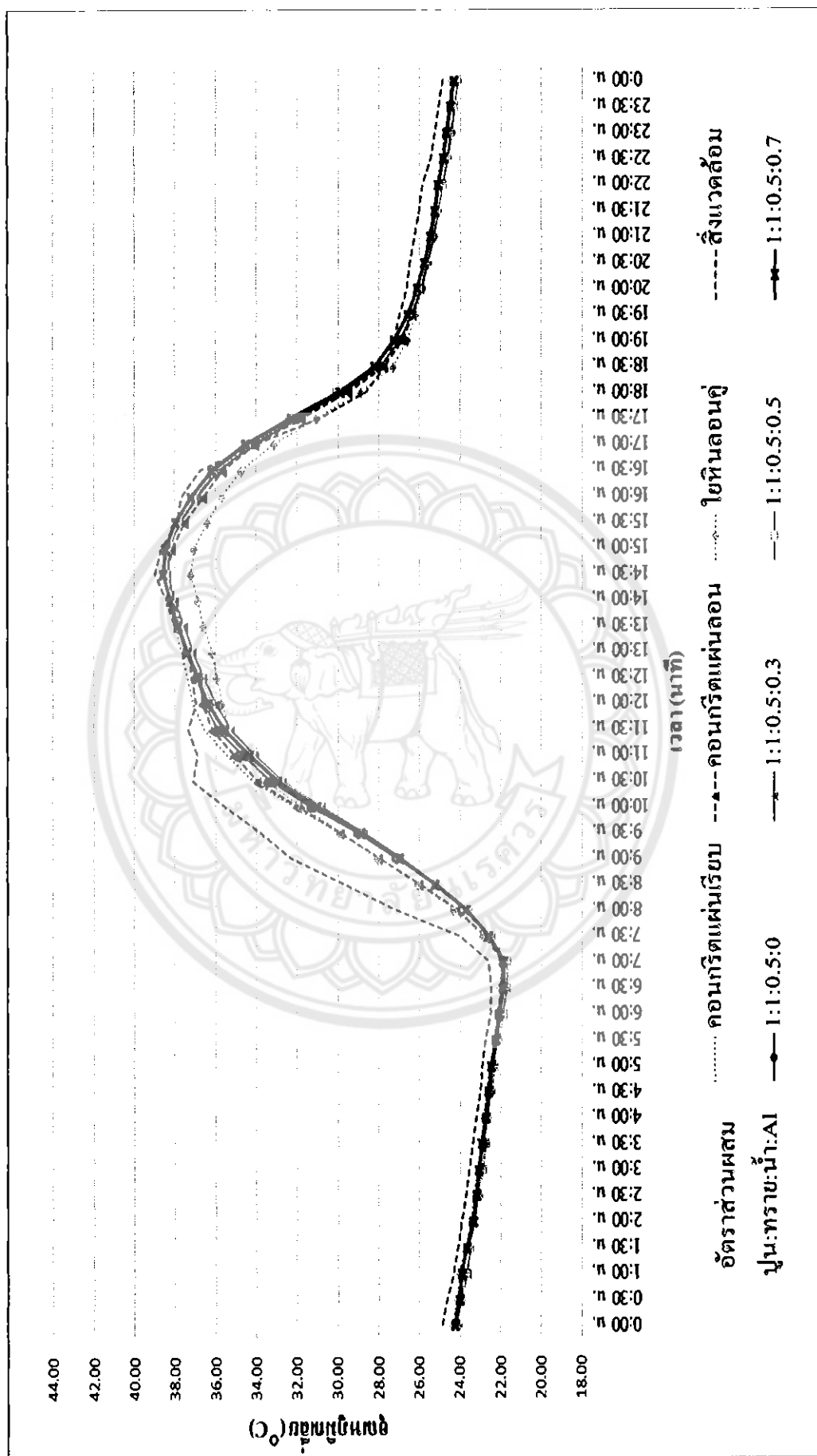


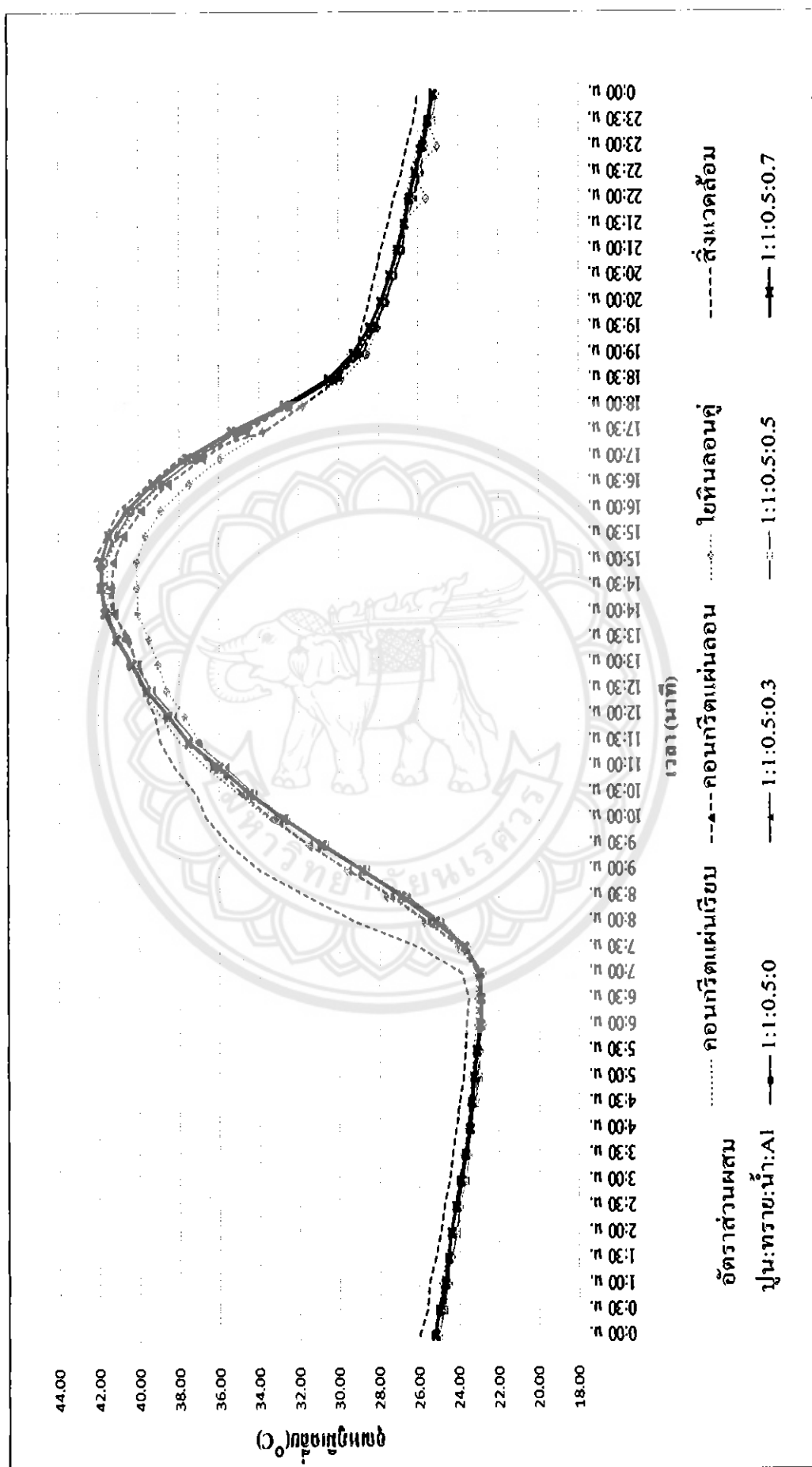
กราฟที่ 2 ข. อุณหภูมิจี้ส์ของอากาศภายในบ้านจำลองตู้อบตุ่น 2554

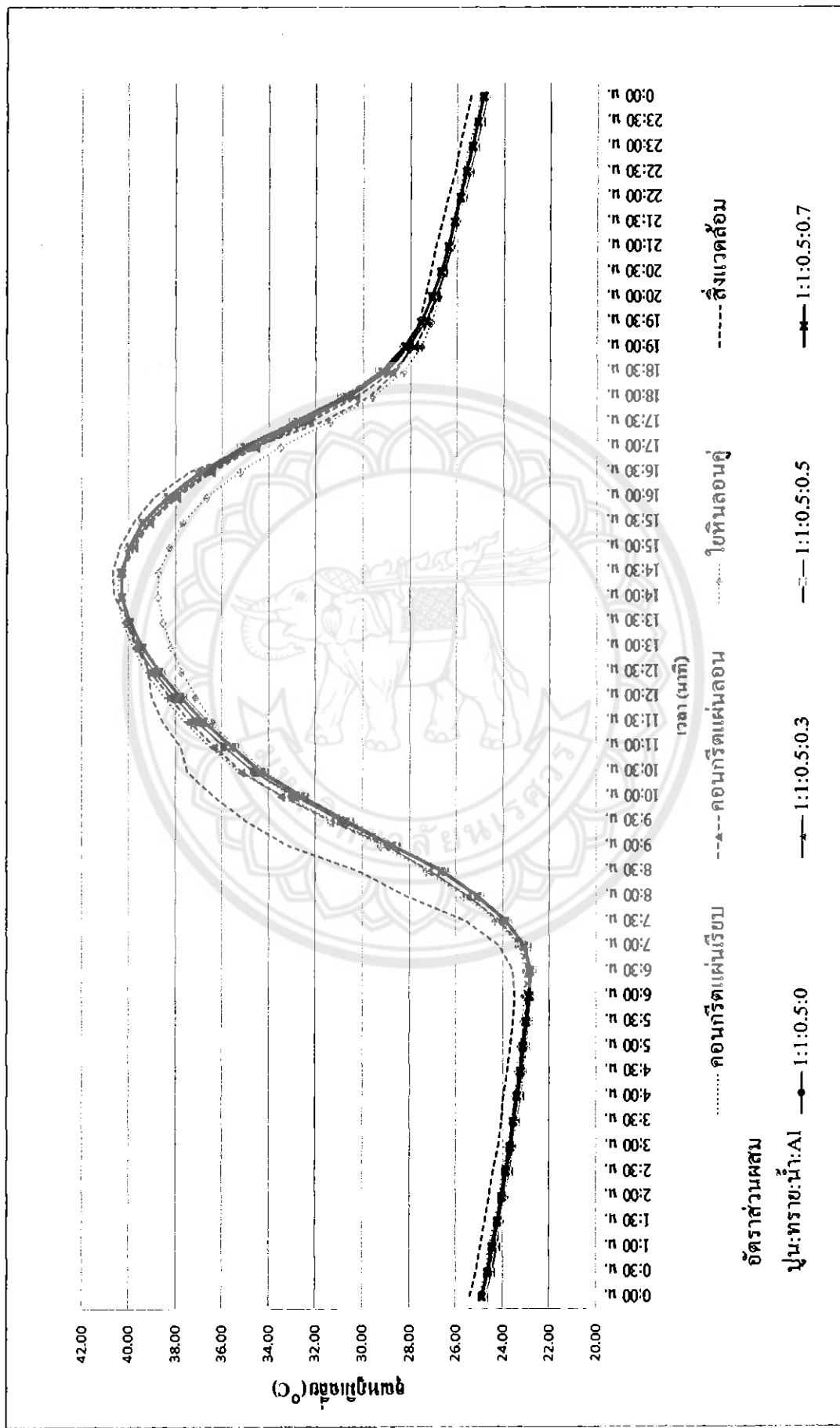




กราฟที่ 4 บ. อุดหนูมีอัตรายของอาการหายใจลำบากในบ้านจ้าวลดีอนรัตน์ราษฎร 2554







การศึกษาบ้านเย็น

The image is a composite of several elements. At the top left is a navigation bar with language options (Thai/Eng), a search icon, and a logo. Below this is a sidebar with links to various university departments. The main content area features a portrait of a man in academic regalia (gown and cap) on the right, and a large circular watermark of the university's seal in the center. The seal contains text in Thai and English, along with a central emblem. The overall layout suggests a formal educational institution's website.

กระบวนการนี้เกลากำลังถูกต้องตามที่คาดหวังไว้ แต่เมื่อเวลาผ่านไป ความต้องการของคนที่ได้รับการฝึกอบรมลดลง จนกระทั่งหายไปอย่างสิ้นเชิง ทำให้เกิดปัญหานักเรียนไม่สามารถนำไปใช้ในชีวิตประจำวันได้ สาเหตุที่ทำให้เกิดปัญหานี้คือ การสอนที่ขาดการสนับสนุนและการประเมินที่ไม่เหมาะสม ทำให้เด็กๆ ไม่รู้ว่าควรนำไปใช้ในชีวิตประจำวันอย่างไร จึงทำให้เกิดความไม่พอใจและไม่ต้องการเรียนต่อ下去

นอกจากนั้นแม้ผลประโยชน์ได้จากการเรียกใช้ผู้มีสิทธิ์สามารถกล่าวไปได้ในส่วนของการออกกฎหมาย
จะเป็นไปได้ยากที่สุด งานในรูปแบบเดิมๆ ก็ต้องได้รับการอนุมัติจากผู้มีสิทธิ์ แต่หากได้รับการอนุมัติแล้ว
จะเป็นไปได้ยากที่สุด แต่หากได้รับการอนุมัติแล้ว ก็จะสามารถดำเนินการได้โดยไม่ต้องคำนึงถึง
ความคุ้มค่าทางการเมือง แต่หากได้รับการอนุมัติแล้ว ก็จะสามารถดำเนินการได้โดยไม่ต้องคำนึงถึง
ความคุ้มค่าทางการเมือง แต่หากได้รับการอนุมัติแล้ว ก็จะสามารถดำเนินการได้โดยไม่ต้องคำนึงถึง
ความคุ้มค่าทางการเมือง แต่หากได้รับการอนุมัติแล้ว ก็จะสามารถดำเนินการได้โดยไม่ต้องคำนึงถึง
ความคุ้มค่าทางการเมือง แต่หากได้รับการอนุมัติแล้ว ก็จะสามารถดำเนินการได้โดยไม่ต้องคำนึงถึง

วัสดุประสงค์ในการออกแบบ

- ลักษณะภายนอกของอาคาร
 - เห็นว่าไม่ได้เกิดการระเบียบอาคารในเวลาราชทั่วไป
 - ให้ความส่วนในระดับที่พอเพียงโดยใช้แรงงานชาติ

87

- မှတ်ယာကရေးပြောင်းနောက်များအတွက် များသော လုပ်ငန်းများ ဖြစ်ပါသည်
 - များသော လုပ်ငန်းများ ဖြစ်ပါသည်
 - များသော လုပ်ငန်းများ ဖြစ်ပါသည်

អង្គភាពក្រសួង

- ในวิถีทางลัทธิพุทธศาสนาที่เป็นแบบอย่างสืบทอดกันมาต่อเนื่องมาตั้งแต่ในอดีต
 - ระบบอาณาจักรแบบธรรมชาติซึ่งจะช่วยลดการค้าขาย ความต้องการน้ำดื่ม
 - การใช้ชีวิตตามเรื่องมนุษย์ด้านบุญให้ความสร้างสรรค์เพิ่มเติม อุดหนุนต่อความต้องการสักษาให้มั่นคงกว่าเดิม
 - ในแนวทางศักดิ์สิทธิ์แห่งความเชื่อและการบูรณะ
 - อนุรักษ์ภิล็อกได้ให้สังฆารัตน์และวัสดุไม้ทำสำริดไว้ในโถงใหญ่ที่มีศักดิ์สิทธิ์สูงที่สุด
 - ความสร้างงานภายใต้ห้องใต้ดินในเดิมที่มีมาตรฐาน
 - ชัดเจนในเรื่องของการบูรณะที่สำคัญ

โดยไม่อนาคตมีการคาดการว่าจะมีสิ่นที่ปั้นมาสร้างบ้านเด็กแห่งแรกลดอุณหภูมิภายในให้น้ำเย็นกับเขื่อนน้ำใจราวกับปั้นมากำลังร้อน “หลังคายืนพื้นที่แห่งแสงสว่าง” ที่ดินทุกชุดเพิ่มขึ้นเพียง 2% ของราคากำลังเดิมเท่านั้นที่ให้คนหนึ่งในให้ความสำนึกและเพิ่มเติมศักดิ์สิทธิ์เดิมทุกการลงทุน “หลังคายืนพื้นที่แห่งแสงสว่าง” ในการสร้างน้ำมนต์หมายความว่า “ที่”

5/10/11

ที่มา: (จงจิตร์ ทิรรัณกลาง) <http://www2.kmutt.ac.th/news/newsdetail.aspx?ref=200807000311>

ภาคผนวก C

1. ตารางคุณสมบัติ

ตารางที่ 1 ค. ค่าสัมประสิทธิ์การนำความร้อน (k) ความหนาแน่น (ρ) และค่าความร้อนจำเพาะ(C_p) ของวัสดุมุงหลังคา

ลำดับ	วัสดุ	K (W/m.°C)	ρ (kg/m ³)	C_p (kJ/kg.°C)
1	วัสดุมุงหลังคา/ดาดฟ้า			
2	(ก) กระเบื้องหลังคาคอนกรีต	0.993	2400	0.79
3	(ข) กระเบื้องซีเมนต์ไยทินลอนเล็ก	0.384	1700	1.00
3	(ค) กระเบื้องซีเมนต์ไยทินลอนใหญ่	0.441	2000	1.00
5	(ง) กระเบื้องซีเมนต์ไยทินลอนคู่	0.395	2000	1.00
6	(จ) วัสดุหลังคาแอลฟิล์ต	0.421	1500	1.51
7	(ฉ) กระเบื้องปูด้าดฟ้ามวัลเบา	0.341	930	0.88
8	(ช) กระเบื้องไยแก้วโปร่งแสงเรียบ	0.213	1340	1.88
9	(ซ) กระเบื้องไยแก้วโปร่งแสงลอนใหญ่	0.181	1700	1.88
10	(ฌ) กระเบื้องลูกฟูกโปร่งแสง	0.160	1340	1.88
11	(ญ) กระเบื้องลอนคู่สีขาวญี่ปุ่น	0.208	1500	1.88

ที่มา: ประกาศกระทรวงพัฒนาเรื่อง หลักเกณฑ์และวิธีการคำนวณในการออกแบบอาคารแต่ละระบบ การใช้ พลังงานโดยรวมของอาคาร และการใช้พลังงานหมุนเวียนในระบบต่างๆ ของอาคาร พ.ศ.2552

ตารางที่ 2 ค. ค่าความต้านทานความร้อนของพิล์มอากาศสำหรับหลังคาอาคาร

ชนิดของผิววัสดุที่ทำ หลังคา	ค่าความต้านทานความร้อนของพิล์มอากาศ $((m^2 \cdot ^\circ C)/W)$				ที่ผิวหลังคา ด้านนอก (R_o) ที่มุนอีย় ไดๆ	
	ที่ผิวหลังคาด้านใน (R_i) ที่มุนอีย়ต่างๆ กันจากแนวระนาบ					
	0 องศา	22.5 องศา	45 องศา	60 องศา		
กรณีที่พื้นผิวหลังคา มี ค่าสัมประสิทธิ์ การแผ่รังสีสูง	0.162	0.148	0.133	0.126	0.055	
กรณีที่พื้นผิวหลังคา มี ค่าสัมประสิทธิ์การแผ่ รังสีต่ำ	0.801	0.595	0.391	0.249		

ที่มา: ประกาศกระทรวงพลังงานเรื่อง หลักเกณฑ์และวิธีการคำนวณในการออกแบบอาคารแต่ละระบบ การใช้ พลังงานโดยรวมของอาคาร และการใช้พลังงานหมุนเวียนในระบบต่างๆ ของอาคาร พ.ศ.2552

ในการนีหลังคาที่มุนอียงอยู่ระหว่าง 0 องศา ถึง 22.5 องศาและระหว่าง 22.5 องศาถึง 45 องศา ให้ใช้วิธีประมาณค่าในช่วงเชิงเส้น (linear interpolation) เพื่อหาความต้านทานความร้อน ของพิล์มอากาศ ในกรณีหลังคาที่มุนอียงมากกว่า 45 องศา ให้ใช้ค่าความต้านทานความร้อนของ พิล์มอากาศที่มุนอียง 45 องศา และสำหรับกรณีที่หัวไปให้ถือว่าพื้นผิวหลังคา มีค่าสัมประสิทธิ์การแผ่ รังสีสูง

ตารางที่ 3 ค่าความแตกต่างอุณหภูมิระหว่างภายในและภายนอกอาคารสำหรับอาคารแต่ละประเภท

ประเภทอาคาร	ค่าความแตกต่างอุณหภูมิภายในและภายนอกอาคาร $\Delta T(^{\circ}\text{C})$
สถานศึกษา สำนักงาน	5
โรงพยาบาล ศูนย์การค้า สถานบริการ ห้างสรรพสินค้า	5
โรงเรียน สถานพยาบาล อาคารชุด	3

ที่มา: ประกาศกรุงเทพมหานคร เรื่อง หลักเกณฑ์และวิธีการคำนวณในการออกแบบอาคารแต่ละระบบ การใช้ พลังงานโดยรวมของอาคาร และการใช้พลังงานหมุนเวียนในระบบต่างๆ ของอาคาร พ.ศ.2552

ค่าการนำความร้อนที่ได้จากการทดลอง

ตารางที่ 4 ค่าการนำความร้อนที่ได้จากการทดลอง

ประเภทหลังคา	K(W/m. $^{\circ}\text{C}$)
กระเบื้องหลังคาดอนกรีตอัตราส่วนผสมถุงขยะเคลือบผสมอลูมิเนียม 0	20.27
กระเบื้องหลังคาดอนกรีตอัตราส่วนผสมถุงขยะเคลือบผสมอลูมิเนียม 0.3	21.25
กระเบื้องหลังคาดอนกรีตอัตราส่วนผสมถุงขยะเคลือบผสมอลูมิเนียม 0.5	19.49
กระเบื้องหลังคาดอนกรีตอัตราส่วนผสมถุงขยะเคลือบผสมอลูมิเนียม 0.7	19.43

ตารางแสดงคุณสมบัติกันความร้อนของฉนวน

ตารางที่ 5 แสดงคุณสมบัติป้องกันความร้อนของฉนวน

Product	ρ (kg/m ³)	L(mm.)	Size(m ²)	k(W/m. $^{\circ}\text{C}$)	R(m ² .K/W)
จำนวนกันความร้อนตราห้างชนิดแบบปิดผิว 2 ด้าน	3225	25	1×15	0.033	0.758
	3250	50	1×15	0.033	1.515
	3250	50	1.22×2.44	0.033	1.515
	4825	25	1.22×2.44	0.032	0.781
	4850	50	1.22×2.44	0.032	1.563

ที่มา: บริษัทสยามไฟเบอร์กลาส จำกัด

ภาคผนวก ง

1.ค่าใช้จ่ายในด้านพลังงานไฟฟ้าของเครื่องปรับอากาศ

โดยใช้กราฟเบื้องหลังค่าคงรีตแผ่นเรียบเป็นเกณฑ์ในการพิจารณา
สมมติให้อาคารใช้เครื่องปรับอากาศขนาด 20,142 Btu/h จำนวน 5 เครื่อง แต่ละเครื่องมีค่า
ประสิทธิภาพการทำความเย็นเท่ากับ 12.12

$$\text{ค่ากำลังไฟฟ้าที่ต้องใช้ต่อเครื่อง} \quad \text{kw} = (\text{Btu/h})/12.12$$

$$= 20,142/12.12$$

$$= 1.66 \quad \text{kw}$$

$$\text{ถ้าอาคารใช้จำนวน 5 เครื่อง} \quad \text{kw} = 1.66*5$$

$$= 8.3 \quad \text{kw}$$

สมมติให้เครื่องไฟฟ้าทำงาน 80% ใช้งาน 8 ชั่วโมงต่อวัน

$$\begin{aligned} \text{การใช้พลังงานไฟฟ้าต่อปี} \quad \text{kw} &= (\text{กำลังไฟฟ้า})(\text{h}/\text{วัน})(\text{วัน}/\text{ปี})(\%\text{การทำงาน}) \\ &= (8.3\text{kw})*(8\text{h}/\text{วัน})(264\text{วัน}/\text{ปี})(0.8) \\ &= 14,023.68 \quad \text{kwh/ปี} \end{aligned}$$

ถ้ามีการเสียค่าไฟฟ้า kwh ละ 2.5 บาท

$$= (14,023.68 \text{ kwh/ปี})*(2.5 \text{ บาท/kwh})$$

$$= 35,059.2 \quad \text{บาท/ปี}$$

อุณหภูมิลดลง 1°C ประหยัดไฟฟ้าได้ 7% (ศ.ดร.จงจิตร หิรัญลักษ, 2551)

ขึ้นตอนในการหาการประหยัดไฟฟ้าของเครื่องปรับอากาศ

อุณหภูมิภายในบ้านจำลองของระบบเบื้องคงรีตแผ่นเรียบเท่ากับ 29.48 °C

อุณหภูมิภายในบ้านจำลองของระบบเบื้องคงรีตผสมถุงขยายพลาสติกเคลือบอุ่นนีบ 0.3 โดย^{บริมาตราเท่ากับ 29.23 1°C}

ความแตกต่างของอุณหภูมิเท่ากับ 0.11

$$1°C = 7\%, \text{ ถ้า } 0.25°C = 1.75\% = 0.0175$$

$$1 - 0.0175 = 0.9825$$

ดังนั้น ประหยัดไฟฟ้าได้

$$(35,059.2 \text{ บาท/ปี})*0.9825 = 34,445.6 \quad \text{บาท/ปี}$$

ส่วนระบบเบื้องประเภทอื่นใช้วิธีการคำนวณในลักษณะเดียวกันซึ่งได้ค่าประหยัดไฟฟ้าของ
เครื่องปรับอากาศดัง ตารางที่ 1 ง.

ตารางที่ 1-4. ค่าใช้จ่ายในด้านไฟฟ้าของเครื่องปรับอากาศ

ประเภทกระเบื้อง	อุณหภูมิ ($^{\circ}\text{C}$)	$\Delta T (^{\circ}\text{C})$	%ลดลง	% การใช้ไฟฟ้า	ประหยัดไฟฟ้า (บาท/ปี)
กระเบื้องแผ่น ลอน	29.37	0.11	0.0077	0.9923	34,789.24
กระเบื้องซีเมนต์ ไยหินลอนคู่	28.99	0.49	0.0343	0.9567	33,541.1
กระเบื้อง คอนกรีตผสมถุง ขยายพลาสติก เคลือบอลูมิเนียม 0 โดยปริมาตร	29.27	0.21	0.0147	0.9853	34,543.8
กระเบื้อง คอนกรีตผสมถุง ขยายพลาสติก เคลือบอลูมิเนียม 0.3 โดยปริมาตร	29.23	0.25	0.0175	0.9825	34,445.6
กระเบื้อง คอนกรีตผสมถุง ขยายพลาสติก เคลือบอลูมิเนียม 0.5 โดยปริมาตร	29.26	0.22	0.0154	0.9846	34,519.2
กระเบื้อง คอนกรีตผสมถุง ขยายพลาสติก เคลือบอลูมิเนียม 0.7 โดยปริมาตร	29.32	0.16	0.0112	0.9888	34,666.5

2. การประมาณราคากระเบื้องในงานหลังคา

ตารางที่ 2 ง. การประมาณราคากระเบื้องในงานหลังคา

ประเภทกระเบื้อง	A(m ²)	ราคา (บาท)/แผ่น	การใช้งาน (แผ่น/m ²)	ราคา (บาท)/m ²	คิดเป็นเงิน (บาท)/1000 m ²
กระเบื้องหลังคา คอนกรีตผสมถุงขยาย พลาสติกเคลือบ อลูมิเนียม 0 โดย ปริมาตร	1,000	-	-	40	40,000
กระเบื้องหลังคา คอนกรีตผสมถุงขยาย พลาสติกเคลือบ อลูมิเนียมฟอยล์ 0.3 โดยปริมาตร	1,000	-	-	40	40,000
กระเบื้องหลังคา คอนกรีตผสมถุงขยาย พลาสติกเคลือบ อลูมิเนียม 0.5 โดย ปริมาตร	1,000	-	-	40	40,000
กระเบื้องหลังคา คอนกรีตผสมถุงขยาย พลาสติกเคลือบ อลูมิเนียม 0.7 โดย ปริมาตร	1,000	-	-	40	40,000
แผ่นหลังคาเหล็กรีดลอน (Metal sheet)	1,000	-	-	250	250,000
กระเบื้องหลังคา คอนกรีตแผ่นเรียบ	1,000	14	11	154	154,000
กระเบื้องหลังคา คอนกรีตแผ่นลอน	1,000	14	11	154	154,000
กระเบื้องหลังคาซีเมนต์ ไนทันลอนคู่	1,000	48	2.2	105.6	105,600

3. การวิเคราะห์และการคำนวณการใช้กระเบื้อง

วิธีการคำนวณ

ขนาดกว้าง-ยาวเหลือสุทธิของกระเบื้องซีเมนต์ไบทินลอนคู่

กว้าง	50	ซม.
ยาว	120	ซม.
ระยะหัวซ้อนตามยาว	5	ซม.
ระยะซ้อนกันตามยาว	20	ซม.
ความกว้างเหลือสุทธิ	$50-5 = 45$	ซม.
ความยาวเหลือสุทธิ	$120-20 = 100$	ซม.
คิดเป็นพื้นที่	4,500	ซม. ²
1 m^2	=10,000	cm ²

พื้นที่ 1 ตารางเมตร เท่ากับ 10,000 ตารางเซนติเมตร พื้นที่กระเบื้อง 1 แผ่นเท่ากับ 4,500 ซม.² จำนวนกระเบื้องที่ใช้ต่อ 1 ตารางเมตร เท่ากับ $10,000/4500 = 2.2$ แผ่น

วิธีการคำนวณ

ขนาดกว้าง-ยาวเหลือสุทธิของกระเบื้องหลังคาคอนกรีต

ขนาด 33×42 ซม. ต่อ 1 แผ่น (โดยหักระยะซ้อนกันทั้งทางด้านซ้ายและทางด้านขวาแล้ว)

1. ขนาดกระเบื้องกว้าง	=	33	ซม.
ระยะร่องที่ให้ซ้อนพอดี	=	3.5	ซม.
ความกว้างเหลือสุทธิ	=	$33-3.5$	ซม.
	=	29.5	ซม.
2. ขนาดของกระเบื้องยาว	=	42	ซม.
ระยะซ้อนกันอย่างน้อย 7.5 ซม. แต่ไม่เกิน 10 ซม.			
ความยาวเหลือสุทธิ	=	$42-10$	
	=	32	ซม.

สรุปความกว้างและยาวสุทธิที่หักระยะซ้อนทั้งทางตรงและทางนอนออกแล้ว เพื่อหาพื้นที่

ความกว้าง	=	29.50	ซม.
ความยาว	=	32	ซม.
พื้นที่ต่อ 1 แผ่น	=	29.50×32	
	=	944	ซม. ²

พื้นที่ 1 ตารางเมตร เท่ากับ 10,000 ตารางเซนติเมตร พื้นที่กระเบื้อง 1 แผ่นเท่ากับ 4,500 ซม.² จำนวนกระเบื้องที่ใช้ต่อ 1 ตารางเมตร เท่ากับ $10,000/944 = 10.59$ แผ่น หรือ 11 แผ่น